

$\text{NO}^+$ ,  $\text{NO}^{++}$

$\text{NO}^-$

1930

A.P. ( NO<sup>+</sup> )

1930

Stueckelberg E.C.G., Smyth H.D.

Phys. Rev. 1930, 36, 478-81

"The ionization of nitrous  
oxide and nitrogen dioxide by  
electron impact"

C.A., 1930, 5610

10M

2630-III

A.P. ( NO<sup>++</sup> )

1935

Tate J.T., Smith P.T., Vaughan A.L.  
Phys. Rev. 1935, 48, 525-31  
"A mass-spectrum-analysis of  
the products of ionization by  
electron impact in nitrogen,  
acetylene, nitric oxide, cyanogen  
and carbon monoxide".

C.A., 1935, 7174

40

2630-III

A.P. ( NO<sup>+</sup> )

1935

Tate J.T., Smith P.T., Vaughan A.L.  
Phys. Rev. 1935, 48, 525-31

"A mass-spectrum analysis of  
the products of ionization by  
electron impact in nitrogen,  
acetylene, nitric oxide, cyanogen  
and carbon monoxide".

C.A., 1935, 7174

10

1942

Tanaka Y.

Hab.

Sci. Papers Inst. Phys.  
Chem. Res. Tokyo, 1942, 39, 456.

NO<sup>+</sup>

ell. n.

17

III-317-B9; BP-5230-III

NO (Te, We, WeKe), NO<sup>+</sup> (We, De), 1953.

N<sub>2</sub><sup>+</sup> (Te)

Baer P., Miescher F.

Helv.phys.acta 1953, 26, N.2, 91-110  
(Mem.)

NO<sup>-</sup>, NO<sup>±</sup> und N<sub>2</sub><sup>+</sup> - Emissions-  
spektren im Schumanngebiet.

HO

KONTAKT φ. H. ✓ φ

NO<sup>+</sup>

Margrave Y.L.,  
Sthapitanonda P.

1955

J. Phys. Chem., 59, N12, 1231

Do

расходжение кумаринов  
металлов. I. Meissner.  
раскрытие структуры гидро-  
кислицидных кумаринов.

II

(Cet. SIV) III

III - 339

1955

NO } / Te, Be, D, We, We Xe, Re /  
NO<sup>+</sup> }  
      

Miescher E.

Canad.J.Phys., 1955, 33, N 6, 355-  
356 ( ann. )

Fine structure of NO<sup>+</sup> and NO  
emission spectra in the Schumann region

PA., 1956, 18493



10

III-305

$\text{N}_2^+$ , NO,  $\text{NO}^+$  (We, We, We, 1953)

Miescher E.

Ném. Soc. roy. sci. Liège, 1953, 13,  
n° 1-2, 177-180 (Франц.)

Etudes des spectres de bandes  
de  $\text{N}_2^+$ , NO et  $\text{NO}^+$  dans la région  
de Schumann à l'aide de  $\text{N}^{15}$ .

PX., 1954, N 10,  
26679

HO

III - 368

1953

NO<sup>+</sup> (monocycl. nuc.)

Tanaka Y.

J. Chem. Phys., 1953, 21, 562-3

Miescher-Baer emission bands in the far-ultraviolet region

+2

W

C.A., 1953, 9145d

№+

III - 566

1956

Miescher E. Helv. Ph. Acta

Синт.

1956, 29, №2, 135

Образование  
рефлексов

Вращательный рефлекс  
и рефлексы А'И - Х'Э

Небольшие изменения рефлексов  
находятся, неизменены и рефлексы  
в вращении. Установлено.

$$x_2 \quad \omega_c = 2377,1$$

$$\omega_{ce} = 16,35$$

$$\beta_e = 2,002$$

$$\alpha = 0,0202$$

$$D = 6 \cdot 10^{-6}$$

1816

 $\text{NO}^+$ 

Singer K., Vampuw P. A. (miss)

Биография - J. Chem. Soc., 1856, oct., 3971.

my

Оксидение азотисою в азотной  
кислоте. Задача IV. Оксидование  
азота кальциевым натриевым  
ионом  $\text{NO}^+$  в азотисою кислоте  
в присутствии <sup>ионов</sup>  $\text{Na}^+$ .

1956

Инфузия сп. ил.,

Зарегистр. АН СССР, 1956, 106, 233.

Ноб.

№ + и. н.



24

1957

Mulliken R. S.,

The Threshold of

Space, London, 1957, p 169.

Not

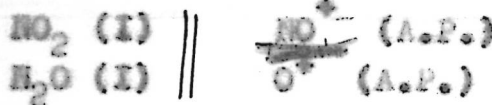


et n.

23

III-1180

1958



Collin J., Lossing F.P.

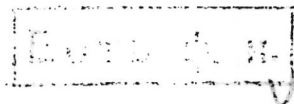
J.Chem.Phys., 1958, 28, N 5, 900-901 (англ.)

Ионизация и диссоциация  
электронным ударом.



РЖХ, 1959, N 4,  
10728.

10



90

$\text{NO}^+$

H. Hurnzeler, Mark F.

1958

Ingram; J.D. Morrison

1137

крист  
рентген.

"J. Chem. Phys"

1958; 28, N 1, 76-82.

1959

Brion H. Moser C.,  
Yamagaki M.,

J. Chem. Phys., 1959, 30, 673.

Hob.

NOT



etc. n.

22

NO<sup>+</sup> G. Herzberg, A. Manfils,  
B. Rosen.

1961

1231

Mémoires Soc. R. Sc. Liège,  
cinquième série, tome IV,  
fase. unique. Extrait.

P-146-178

1961

Hüber R. P.,

Helvetica Physica Acta, 1961,

34, 929.

Hob.

NO<sup>+</sup>

M.N.

18

1961

NO<sup>++</sup>

Hurley A.C., Maslen F.W.

J. Chem. Phys., 1931, 34, 1919.

изучен  
для газов. Наиболее простые кривые для  
однородных газов получены для  
однородных газов.

(дополнительно)



III-398

NO<sup>+</sup> ( A.P.)

1961

Kiser R.W., Hisatsune I.C.

J.Phys.Chem., 1961, 65, N8, 1444-1446  
( *ans* )

Electron impact spectroscopy of  
nitrogen dioxide

PX., 1962, 6683



H. S. W. H. K.

10M

90

$\text{NO}^{2+}$

Murley et. c.

1962

J. Molle. Spectrosc., 9, N1, 18

Красное потенциальное  
периодическое звукогармоническое  
излучение вибраторных звук-  
атомических мод. II. Прег-  
сраженное соединение и  
переходы из  $\text{N}_2^{++}$ ,  $\text{O}_2^{++}$  и  
 $\text{NO}^{++}$  в  $(\text{Cell. } \text{N}_2^{++})\overline{\text{II}}$

B9P-5240-III

1962

No<sup>2+</sup>

Hurley A.C.

J. W.  
Henry StephenProc. Intern. Symp. Mol. Structure.  
Spectra, Tokyo, 1962 (B210),  
4 pp.

Doubly ionized molecules.

(see  $N_2^{2+}$ )  
III

C.A. 1964.61.4

III-2245

1963

HO<sup>++</sup>

Hurley A.C.

Doubly ionized molecules.

"Internat. Sympos. Molec. Struct. and Spectrosc. Tokyo, 1962". S.I., S.A., B210/1 - B 210/4 (  $\text{amu}$  )

P.P., 1963, 3 D 59

HO

test op  
go. n.

NO<sup>+</sup>

Yamazaki Masatoshi 1963

Электронная  
структур

Sci. Repts Kanazawa  
Univ., 1963, 8, №2, 371-95.

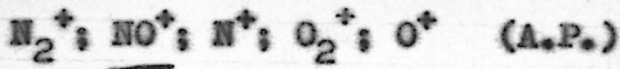
Электронная структура  
окиси алюма NO и его  
изом.



(см. NO)

1963

3920



Paulson F.I., Mosher R.L.  
Proc. Nat. Acad. Sci. India, 1963,  
A33, N 4, 522-529

Production of ...

J

$\text{NO}^+$   
-crown

D.W. Sharp, J.Thorley  
1963  
Up - crown ions undissociated.  
J. Chem. Soc., 1963, part, 3552

$\text{NO}^+$

Gilmore F.R.

1964

Krebs Contract AF49(638)-700.

noisy.

measured Potential energy curves for  
 $\text{N}_2$ ,  $\text{NO}$ ,  $\text{O}_2$ , and corresponding  
lows.

(Calc.  $\text{N}_2$ )

NO<sup>+</sup>, NO<sup>-</sup>, NO<sup>++</sup> Gilmore F.R.

1965

crustace  
nemat.  
molluscs

Y. Quant. Spectrosc.  
and Radiat. Transfer,  
1965, 5, N<sup>o</sup>. 369



(See N<sub>o</sub>) III

NO<sup>+</sup> Herring James E., Director 1966  
Kurt.

J. Chem. Phys., 45, N8, 3149.

Progressive more species were  
seen with increasing number reported  
by 63P-oxidation.

(in Hz) III

XIII 1666 1966

VO (E<sub>i</sub>, vi; no loss compensation  
proposed)

VO<sup>+</sup>(E<sub>i</sub>, vi; i)

Lefebvre-Brion H, Meister C.M.

J. Chem. Phys., 1966, 44, n° 8, 2957 - 2959 (sum)

Calculation of valence surfaces of  
VO and VO<sup>+</sup>.

Copier

Rugby, 1966, 9961

10

1966

Reese, R.M., Rosenstock H.M.,

J. Chem. Phys., 1966, 44, 2007.

Feb.

NOT

cll. n.

19

NO<sup>+</sup>

1987

8 Д233. Коэффициенты фотоионизации и поглощения NO в области 600—950 Å. Metzger P. H. Sok G. R., Ogawa M. Photoionization and absorption coefficients of NO in the 600 to 950 Å region. «Canad. J. Phys.», 1967, 45, № 1, 203—217 (англ.)

Измерены абс. значения коэф. фотоионизации и поглощения окиси азота в области 600—950 Å. Для получения спектров использован сканирующий вакуумный УФ-монохроматор. Источником служило сплошное излучение гелия. При облучении NO светом короче 677,4 Å наблюдалась слабая флуоресценция в области 1068—1600 Å. Это излучение предположительно отнесено к переходу  $A^1\Pi \rightarrow X^1\Sigma^+ NO^+$ . Библ. 14. А. Беляева

9. 1987. 8д

170<sup>+</sup>

Sprohr R.,  
Puttkamer 8.

1917

Z. Naturforsch., 22a, N 5, 405.

Публикация Киселёвской  
и её членов физиологической группы и  
факультета физиолого-химического  
кафедрального института.

переходов между атомами  
исследуемых ионов.

(а.с.  $M_2^+$ ) III

$N_2O$  (S.P. nominal:  $N_2O_2^+$  +  $NO^+$ )  
 $\Delta H_0^\circ(NO^+)$ ,  $\Delta H_0^\circ(N_2O^+)$   $X\bar{H} - 10$   
 $D(N-N)$ ,  $D(N-NO^+)$  13

Almester F.M.A.,  
Rev. portug. quim., 1968, 10, n.º 3, 168-172, III  
(ano 1968)  
mass spectrometric study of ionization and dissociation of  $N_2O$  by electron impact.

Phys., 1970, 102, 205 10 (6)

NO<sup>+</sup>

89-XII-16.67

1968

1 Д103. Электронные состояния иона NO<sup>+</sup>. Col-  
lin J. E., Natalis P. Electronic states of the nitric  
oxide ion. «Chem. Phys. Letters», 1968, 2, № 3, 194—196  
(англ.)

Подробное рассмотрение спектра фотоэлектронов  
NO, полученных при трех значениях длины волны,  
позволило идентифицировать 8 электронных состояний  
иона NO<sup>+</sup> с энергиями ниже 21, 21 эв.

(2i)

9 · 1969

· 19

89-XIII-1667

1968

NO<sup>+</sup>

4 Б135. Электронные состояния иона окиси азота  
Collin J. E., Natalis P. Electronic states of the nitric oxide ion. «Chem. Phys. Letters», 1968, 2, № 3, 194—196 (англ.)

спектр

(ЭД)

Исследованы фотоэлектронные спектры NO при использовании трех резонансных источников света (He 584, Ne 736—744 и Ar 1048—1067). Определено восемь электронных состояний NO<sup>+</sup>, семь из к-рых обладают колебательной структурой. Классификация электронных состояний проведена в соответствии с правилами Вигнера — Уитмера: 9,262 эв  $X^1\Sigma^+$ , 14,0 эв  $a^3\Sigma^+$ , 15,68 эв  ${}^3\Delta$ , 16,56 эв  ${}^3\Sigma^-$ , 17,172 эв  ${}^3\Pi$ , 17,315 эв  ${}^1\Sigma^-$ , 18,33 эв,  $A^1\Pi$ , 18,90 эв  ${}^1\Delta$ . Приведена диаграмма потенциальной энергии для NO<sup>+</sup>.

Ю. В. Киссин

9

4

X. 1968.

$\text{NO}^+$

B9-XIII-1687

1968

21. состоя

keis

915627 Electronic states of the nitric oxide ion. Collin, J. E.; Natalis, P. (Univ. Liege, Liege, Belg.). *Chem. Phys. Lett.* 1968, 2(3), 194-6 (Eng). The detailed anal. of the photoelectron spectrum of NO obtained with 3 different wavelengths leads to the identification of 8 ionic electronic states below 21.21 ev. Their assignment is given and a new potential energy diagram is proposed. The ionic electronic states of  $\text{NO}^+$  (in ev.) are: 9.262,  $X^1\Sigma^+$ ; 14.0,  $a^3\Sigma^+$ ; 15.68,  ${}^3\Delta$ ; 16.56,  ${}^3\Sigma^-$ ; 17.17,  ${}^3\Pi$ ; 17.31,  ${}^1\Sigma^-$ ; 18.33,  $A^1\Pi$ ; and 18.90,  ${}^1\Delta$ . JDJN

C. A. 1968. 69.22

31005.6738

Ch, Ph. TE

16+(3, нотен)  
экспр.) 96559

1968  
3654

Collin Jacques E., Natalis Paul.

Vibrational and electronic ionic states  
of nitric oxide. An accurate method for  
measuring ionization potentials by  
photoelectron spectroscopy. "Int. J.  
Mass Spectrom. and Ion Phys.", 1968,  
1, N 6, 483-499

(англ.)

0976 РИК

956 958 9 69

ВИНИТИ

XIII. 132 1959  
E; (NO<sup>+</sup>, N<sub>2</sub>O<sup>+</sup>, CO<sub>2</sub><sup>+</sup>, COS<sup>+</sup>; CS<sub>2</sub><sup>+</sup>)

Collin J. E., Natalis P., 13.14

Bull. cl. sci. Acad. roy. Belg., 1969, 55, n° 4,

352-371 (pp.)

Détermination des états électroniques  
et des niveaux de vibration des ions  
moléculaires par spectroscopie de  
photoélectrons.

○ 8 Cap -

PucPuy, 1970, 40372 60

№ +

Физика 3546 ОУ 1988

2 Д100. Возбужденные электронные состояния иона  
NO<sup>+</sup>. Huber K. P. The excited electronic states of the  
NO<sup>+</sup> ion. «Canad. J. Phys.», 1968, 46, № 15, 1691—1695  
(англ.)

В работе дается новая интерпретация фотоэлектронного спектра NO, полученного экспериментально (РЖФиз, 1967, 8Д177). Спектр интерпретируется с помощью электронных состояний NO<sup>+</sup>, принадлежащих конфигурациям  $(5\delta)^2(1\pi)^32\pi$  и  $5\delta(1\pi)^42\pi$ . Показана близкая аналогия с соответствующими состояниями N<sub>2</sub> и CO. Показано, что давно известная  $\beta$ -серия Ридберга полосы поглощения NO сходится к  $5\delta(1\pi)^42\pi$ ,  $^3\Pi$ , однако не получено никаких доказательств существования электронного состояния NO<sup>+</sup> в пределе сходимости  $\alpha$ -серии. Предполагавшийся ранее ридберговский характер этой серии вероятно ошибочен.

Г. К.

99. 1969

29

NO+

our much 3546 a) 1988

(Opus Singius)

B9 - 1111-39

63142t Excited electronic states of the NO<sup>+</sup> ion. Huber,  
K. P. (Nat. Res. Coun. Canada, Ottawa, Can.). *Can. J. Phys.*  
1968, 46(15), 1691-5 (Eng). The photoelectron spectrum of NC  
(Turner, *et al.*, 1966) is reinterpreted in terms of electronic states  
of NO<sup>+</sup> belonging to configurations...  $(5\sigma)^2(1\pi)^32\pi$  and ...  $5\sigma$ -  
 $(1\pi)^42\pi$ . The close analogy with corresponding states of N<sub>2</sub>  
and CO is pointed out. The long-known  $\beta$  Rydberg series of  
absorption bands of NO is shown to converge towards...  $5\sigma(1\pi)^4$ -  
 $2\pi$ ,  $^3\Pi$ , but no evidence can be found for the existence of an  
electronic state of NO<sup>+</sup> at the limit of the  $\alpha$  series. The pre-  
viously assumed Rydberg character of this series may be er-  
roneous.

RCCN

C.A. 1988

69.16

БР - XIII - 935

1868

NO<sup>+</sup>(γ)

ЗД111. О первом возбужденном состоянии NO<sup>+</sup>.  
Sjögren H., Szabo I. On the first excited of NO<sup>+</sup>.  
«Arkiv fys.», 1968, 37, № 6, 551—555 (англ.)

Используя эффект обмена заряда, с помощью двойного масс-спектрометра перпендикулярного типа, авторы провели изучение ионизационного потенциала первого возбужденного состояния NO<sup>+</sup>. Сделаны следующие выводы: 1) по-видимому, не существует состояния NO<sup>+</sup> при 14,2 эв, что согласуется с результатами изучения методами электронной спектроскопии, но противоречит результатам изучения спектров поглощения и фотоионизации (по литературным данным); 2) состояние при 15,65 эв является триплетным состоянием, а не синглетным, как предполагалось ранее.

В. А. Морозов

4.1969. ЗД

$\text{NO}^+$

89-XIII-935

1968

(91431e) First excited state of  $\text{NO}^+$ . Sjoergren, H.; Szabo, K. (Dep. Phys., Roy. Inst. Technol., Stockholm, Swed.). *Ark. Fys.* 1968, 37(34), 551-5 (Eng). The charge exchange properties of  $\text{NO}^+$  were studied in a tandem mass spectrometer of the perpendicular type described previously by E. Lindholm (1966).  $\text{NO}$  was bombarded with  $\text{Ar}^+$  and  $\text{Kr}^+$ . The relative cross sections for formation of  $\text{NO}^+$ , at 3- and 900-ev. ion kinetic energies, are 0.4 and 0.6, resp., for  $\text{Ar}^+$ , and 0.002 and 0.02, resp., for  $\text{Kr}^+$ . The charge exchange cross section and the recombination energy values detd. agreed with those obtained by photoelectron and ionization electron spectroscopy.  $\text{NO}^+$  may have no state at 14.2 ev. The state at 15.65 ev. may be a triplet and not a singlet, as suggested by D. W. Turner, *et al.* (1966). Comparison with the isoelectronic mols.  $\text{N}_2$  and  $\text{CO}$  indicated  ${}^3\Sigma^+$ . Possibly, a further state ( ${}^3\Delta$ ) exists near 18 ev. 20 references.

DYJN

*no prep  
I loss. coe.*

C.A. 1968-69-22

NOT

(AP)

Williams J.H., et al.

1968

J. Chem. Phys., 1968,  
49, n<sup>o</sup>10, 4467.

(Cet.  $\text{CH}_3^+$ ) I

$N_2O$	(Y)	13	1969
$NO^+$	(A.P.)	XIII 218	
$N_2O^+$	(ΔHf, $\Delta H_{N-NO}$ )	9	
$N_2O$	( $\Delta H_{N-NO}$ )		
Ferreira M.A.A.			
Rev. Port. Quim. 1968, 10(3), 168-72			
Mass spectrometric study of ionization and dissociation of nitrous oxide by electron impact.			
TO, II	⊕	CA, 1969, 71(N16), 7782	

Not

OTTER 4736

1969

Fungen etc.

Can. J Phys 1969

(a.u)

47

16 1969 -



1970

№+

8 Д401. Фотоэлектронная спектроскопия с недисперсированным УФ-излучением. Cairns R. B., Haggisson H., Schoen R. I. Photoelectron spectroscopy with undispersed ultraviolet radiation. «Appl. Opt.», 1970, 9, № 3, 605—608 (англ.)

фотоэлектр  
спектр  
( ошибки )

Исследованы спектры нескольких ламп, с наполнением благородными газами, приведен список наблюденных посторонних линий и отмечена необходимость производить очистку газов при использовании цеолитовых ловушек. Отмечено, что в фотоэлектронном спектре  $\text{NO}^+$  и  $\text{Hg}^+$  некоторые состояния установлены ошибочно.

Библ. 16.

А. Яковлева

+1

ф. 1970 · 88

☒

*No +*

*1870*

11 598. Криогенная масс-спектрометрия фторсодержащих частиц I. Масс-спектры гексафторида серы, трифторида хлора, фтористого нитрозила и четырехфтористого гидразина. Cristy S. S., Mamantov G. Cryogenic mass spectrometry of reactive fluorine-containing species. I. The mass spectra of sulfur hexafluoride, chlorine trifluoride, chlorine monofluoride, nitrosylfluoride and tetrafluorohydrazine. «Int. J. Mass Spectrom. and Ion Phys.», 1970, 5, № 3—4, 309—317 (англ.)

*A.P.*

Низкотемпературный ввод и охлаждаемая реакц. камера, смонтированные вместо системы прямого ввода тв. фазы в источник ионов масс-спектрометра Хитачи RMI-6E, использованы для изучения термически нестабильных или вызывающих коррозию фторсодержащих частиц. Приведены масс-спектры  $SF_6$  (I) (при  $T= -140^\circ$  и энергии ионизирующих электронов 70 эВ),  $ClF_3$  (II) ( $-57^\circ$ , 50 эВ) и  $N_2F_4$  (III) ( $-193^\circ$  и  $-160^\circ$ ), удовлетворительно совпадающие с опубликованными в лит-ре.

*X. 1971.*

*11*



*+d*

*(X)*

В спектре I молек. пик не наблюдался вплоть до  $-145^\circ$ . Для II отмечено повышенное относит. содержание  $\text{Cl}^+$  и  $\text{Cl}_2^+$ . Для III с уменьшением диссоциации при низких т-рах возрастает доля молек. иона. Получены не сообщавшиеся ранее масс-спектры  $\text{ClF}$  (IV) (т-ры системы напуска  $\sim 25^\circ$ , источника ионов  $\sim 50^\circ$ , энергия электронов 70 эв), обладающего сильно коррозирующим действием и  $\text{FNO}$  (V) (от  $-55$  до  $-160^\circ$ , 70 эв). Найдены потенциалы появления  $\text{NO}^+$  и  $\text{NO}$  из V, равные  $11,6 \pm 0,2$  эв и  $9,25 \pm 0,15$  эв соотв., и энергия связи  $\text{N}-\text{F}$ , ( $\text{F}-\text{NO}$ ) =  $= 53 \pm 6$  ккал/моль, совпадающая с термохим. расчетным значением.

М. Туркина

XIII-599

1940

NO }  
NO+ } (7.8i)

Edqvist O., Lindholm E.,  
Selius h. E., Sjögren H., Åström L.  
Ark. fys., 1920, 40, N5, 439-458

LCR 0.047

10

pacrem n.n. ( $C_2$ ,  $N_2$ ,  $N_2^+$ ,  $O_2$ ,  
11 13 14  $O_2^+$ ,  $CO_2$ ,  $CO^+$ ,  $NO$ ,  $NO^+$ ) 1970

Jain D.C., XI 1063

Int. J. Quant. Chem., 1970, 4, 46,  
579-586 (austr.)

A study of some potential energy  
functions for diatomic molecul-  
les.

Proc. X-III, 1971, 11566

(P)

10

153kg

NO<sup>+</sup>

Qureshi S. M.

1970

SubKe F.

J.

Can. J. Chem., 48 (20),  
3117.

(Acc.  $N_2F_3^+$ )  $\overline{III}$

NO(A)

XIII 2211

1970

NO<sup>-</sup>(el.n.)

Siegel M. W.

Diss. Abstr. Int., 1970, B31, N6, 3625  
(Am.)

Electron affinity of nitric oxide  
and the molecular constants  
of its negative ion, determined  
by laser photo-electron spectro-  
scopy. CA, 1972, 76, N2, 6922t

10

1971

 $\text{NO}^+$ 

1) 6 Б158. Поперечное сечение излучения из состояния  $A^1\Pi$  иона  $\text{NO}^+$ . Aarts J. F. M., De Heeg F. J. Emission cross sections of the  $A^1\Pi$  state of  $\text{NO}^+$ . «Physica», 1971, 54, № 4, 609—616 (англ.)

Измерены поперечные сечения возбуждения колебательных полос с  $v'=0$  и 1 и  $v''=0-7$  системы электронного перехода  $A^1\Pi - X^1\Sigma^+$  ионов  $\text{NO}^+$ , образованных при бомбардировке молекул  $\text{NO}$  электронами с энергией 0,1—3 кэв. Результаты измерений проанализированы в приближении Борна—Бете. Показано, что для всех полос, за исключением полос 1—3 и 1—4, отношение Бете не зависит от энергии электронов, а полное сечение возбуждения уровня  $A^1\Pi$  при энергиях электронов 0,1—1,0 кэв составляет  $\sim 2,6\%$  от полного сечения ионизации молекулы  $\text{NO}$ . Отмечено, что процесс ионизации  $\text{NO}$  можно рассматривать как индуцированный столкновениями дипольный переход.

М. Р. Алиев

РЖХ1972, № 6

1971

NO<sup>+</sup>

156472q Emission cross sections of the A<sup>1</sup>Π state of NO<sup>+</sup>.  
Aarts, J. F. M.; De Heer, F. J. (FOM-Inst. At. Molecuulfys.,  
Amsterdam/Wageningen, Neth.). *Physica (Utrecht)* 1971, 54-  
(4), 609-16 (Eng). The emission cross sections were measured  
for the A<sup>1</sup>Π-X<sup>1</sup>Σ<sup>+</sup> bands of NO<sup>+</sup> in the vacuum uv for 0.1-3-keV  
electrons incident on NO. The energy dependence of the cross  
sections was analyzed by means of the Bethe-Born approxn.  
The relevant ionization process was mainly due to collision-  
induced dipole transitions. The variation of the electronic  
transition moment  $R_*$  for the A<sup>1</sup>Π → X<sup>1</sup>Σ<sup>+</sup> transitions was  
dtd. from cross-section ratios and known Franck-Condon  
factors. The range of  $r$  centroids  $|R_*|^2$  varied as much as a  
factor of 2.

opgemaakt door

Op R.

O.A. 1971

75.26

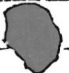
NO<sup>+</sup>

Bogart J.J.  
Hend C.W.

1971

A.P.

J. Phys. Chem. 1971  
J. 45, N 10, 1532-38'



*NO<sup>+</sup>*

*89-XIII-1488*

*1971*

24 Б22. Прямой расчет состояний  $\text{NO}^+$  с вакансией в  $1s$ -оболочках методом Хартри — Фока. B a g u s P a u l S., Schaefer Непту F., III. Direct near-Hartree-Fock calculations on the  $1s$  hole states of  $\text{NO}^+$ . «J. Chem. Phys.», 1971, 55, № 3, 1474—1475 (англ.)

*расчет*  
*J. Cai*

В рамках ограниченного метода Хартри — Фока рассчитаны энергии ионизации  $1s$ -электронов атомов О и N в молекуле NO. В качестве исходного базиса использован большой набор орбиталей слайтеровского типа. Энергии ионизации рассчитаны двумя способами: в приближении теоремы Купмэнса и как разность энергий конечного и начального состояния. Рассчитанная разность энергий  $^3\Pi$  и  $^1\Pi$ -состояний  $\text{NO}^+$  (вакансия в  $1s$ -оболочке О или N)

*X. 1971. 24*

в первом случае качественно, а во втором — количественно согласуется с экспериментом. Полученный результат показывает, что одноконфигурац. приближение метода Хартри — Фока достаточно для правильного описания обменного расщепления внутренних уровней при наличии неспаренных электронов в валентных оболочках.

В. И. Нефедов

*NO<sup>+</sup>*

*BP-XIII-1488*

*1971*

2 Д191. Прямые почти хартри-фоковские расчеты дырочных состояний 1s NO<sup>+</sup>. Bagus Paul S., Schaefer Henry F., III. Direct near-Hartree-Fock calculations on the 1s hole states of NO<sup>+</sup>. «J. Chem. Phys.», 1971, 55, № 3, 1474—1475 (англ.)

*расчет*

Неэмпирическим методом ССП МО ЛКАО рассчитаны энергии основного состояния радикала NO и состояний  $^1\Pi$  и  $^3\Pi$  катиона NO<sup>+</sup>, получающегося при удалении 1s-электронов атомов N и O. Расчеты выполнены с очень большим слэтеровским базисом (7s-, 6p-, 3d- и 2f-АО на каждом атоме), что обеспечило почти хартри-фоковскую точность. Результаты расчета использованы для оценки энергии связи 1s-электронов атомов N и O, кото-

*Ф. 1972-20*

рая производилась двумя способами. В первом случае энергии связи и величина обменного расщепления (разность энергий связи при переходе в состояния  $^1\Pi$  и  $^3\Pi$  кations) оценивались исходя из энергий кations, рассчитанных с использованием MO нейтрального радикала [приближение замороженных орбиталей (ПЗО)], во втором — исходя из энергий, полученных из самостоятельного хартри-фоковского расчета кations, [прямой расчет дырочных состояний (ПРДС)]. Результаты ПЗО качественно, а результаты ПРДС количественно согласуются с эксперим. потенциалами ионизации, полученными методом фотоэлектронной спектроскопии. А. Багатурьянц

NO<sup>+</sup>

8i

Б130. Энергетические уровни ионов NO<sup>+</sup> при фотозелектронной спектрометрии резонансными линиями He и Ar. Collin J. E., Delwiche J., Natalis P. Energy levels of NO<sup>+</sup> ion by He and Ar resonance lines photoelectron spectrometry. «Int. J. Mass Spectrom. and Ion Phys.», 1971, 7, № 1, 19—26 (англ.)

На фотозелектронном спектрометре высокого разрешения (30 мэв на полувысоте пика) со сферич. системой сеток определены энергетич. уровни и колебательные промежутки в спектре NO при облучении He 584 и Ar 1048—1067, отличающиеся от ранее полученных авторами на приборе с цилиндрич. системой сеток и низким разрешением. Результаты измерений восьми энергетич. уровней подтверждают данные др. исследователей. Нек-рые незначительные расхождения подробно обсуждаются. Измерены шесть основных колебательных частот. Наблюдаемое повышение основного колебательного состояния иона X<sup>1</sup>Σ<sup>+</sup> объясняется преононизацией возбужденной молекулы NO.

М. Туркина

РМХ

1942, №6

+1 NO



*NO<sup>+</sup>*

*1971*

7Б145. О фотоэлектронном спектре молекулы NO.  
Eaqvist O, Asbrink L, Lindholm E. On the

photoelectron spectrum of NO. «Z. Naturforsch.», 1971,  
26 a, № 9, 1407—1410 (англ.)

*61*  
Измерен возбужденный линиями He с  $\lambda=584$  и  $304\text{ \AA}$  фотоэлектронный спектр молекулы NO с разрешением 0,25 мэв. Идентифицирована колебательная структура прогрессии полос при 23 эв в спектре, возбужденном линией He  $304\text{ \AA}$ . Обнаружено спин-орбитальное расщепление уровней  $\text{NO}^+$ , к-рое для большинства уровней составляет 12—16 мэв. Определены энергии 11 электронных уровней иона  $\text{NO}^+$ . Показано, что слабая полоса при 20,4 эв, к-рую ранее относили к уровню  $C^3\Pi$ , является повторением от линии HeI с  $\lambda=3204\text{ \AA}$ .

*X. 1972. 7*

NO.+

Edqvist O., Åsbrukk.,  
Lindholm E.

1971

medv.,

avl. cem.

Z. Naturforschung

O ~~Yomosalzkomplexen medv/peno~~

Спектральная чувствительность NO боз-  
сигнальных линий в 7304 Å и 7584 Å и  
изменение при переходе из земли в космос. В  
KBr-ке спектральная чувствительность. Спек-  
трум  $^3\Pi$  и  $B^1\Pi$  имеет следующие значения  
E<sub>exc</sub> 21,7 eV. Разрешение кал. спектрометра  
сост.  $B^1\ ^1\Sigma^+$  E<sub>exc</sub> 22,5 eV. В спектре испы-  
туется вблизи линий  $\lambda = 7304$ ,  $\lambda = 7584$   
и  $\lambda = 7664$  Å.

NO +

XIII-785-B2

1971

105324q Emission from long-lived states in ion beams. New band systems of NO<sup>+</sup>. Maier, William B., II; Holland, Redus F. (Los Alamos Sci. Lab., Los Alamos, N. Mex.). *J. Chem. Phys.* 1971, 54(6), 2693-714 (Eng). A method for investigating radiation from long-lived, excited states of ions is described. Emission spectra, apparent lifetimes of the excited states, and electron impact cross sections for producing the radiation can be studied. The spectrum of emission from long-lived states of NO<sup>+</sup> in an ion beam has been obtained for wavelengths between 1250 and 2200 Å, but no NO<sup>+</sup> emissions have been obsd. in spectral scans of the 2200-3400-Å region. Some of the spectral features are produced by transitions to the X<sup>1</sup>Σ<sup>+</sup> state of NO<sup>+</sup> from the v' = 0 and 1 levels of a single electronic state having an internuclear distance  $1.157^{+0.02}_{-0.01}$  Å and an apparent life-

M.R.

(+1) III, 25y

C.d. 1971.4420



time  $135 \pm 35 \mu\text{sec}$ . These 2 vibrational levels are  $7.301 \pm 0.006$  and  $7.511 \pm 0.01 \text{ eV}$  above the ground state of  $\text{NO}^+$ . The other emissions obsd. can be characterized by 2 apparent lifetimes,  $10.8 \pm 2$  and  $160 \pm 50 \mu\text{sec}$ , and appear to be produced by transitions to the  $X^1\Sigma^+$  state from several upper states. Tentatively, the energies of the upper states are set at  $9.639 \pm 0.006$ ,  $9.437 \pm 0.009$ , and  $9.232 \pm 0.006 \text{ eV}$  above the ground state of  $\text{NO}^+$ . Other radiating levels may be at  $9.34$ ,  $9.07$ , and (or)  $8.79 \text{ eV}$ . Some of the obsd. radiation may be produced by the previously reported  $A^1\pi \rightarrow X^1\Sigma^+$  transitions, where the  $A^1\pi$  state would have to be populated by a slow cascade.

RCJQ

$NO^+$

XIII-785-89

1971

спектр  
спектр  
Ei, m.n.  
fmn

10 Д638. Испускание из долгоживущих состояний ионов. Новые системы полос  $NO^+$ . Maier William B., II, Holland R. F. Emission from long-lived states in ion beams. New-band systems of  $NO^+$ . «J. Chem. Phys.», 1971, 54, № 6, 2693—2714 (англ.)

Рассмотрена методика исследования излучения из долгоживущих возбужденных состояний ионов в парах (спектры испускания, наблюдаемые времена жизни возбужденных состояний ( $\tau$ ), поперечные сечения соударений). Спектр испускания из долгоживущих состояний ионов  $NO^+$  в лучке получен для интервала 1250—2200 Å; испускание  $NO^+$  в исследованной области 2200—3400 Å пол-

Ф. 1971.102



т/1



ностью отсутствует. Наблюдаемые спектральные особенности в значительной степени определяются участием переходов в состояние  $X^1\Sigma^+$  с уровней  $\vartheta' = 0$  и 1 электронного состояния, характеризующегося межъядерным расстоянием  $1,157_{-0,01}^{+0,02}$  Å и  $\tau = 135 \pm 35$  мксек. Эти колебательные уровни расположены выше основного состояния на  $7,301 \pm 0,006$  и  $7,511 \pm 0,01$  эв. Другие виды испусканий могут быть охарактеризованы  $\tau$ , равными  $10,8 \pm 2$  и  $160 \pm 50$  мксек, и, по-видимому, принадлежат переходам в состояние  $X^1\Sigma^+$  из нескольких верхних состояний, имеющих энергии  $9,639 \pm 0,006$ ;  $9,437 \pm 0,009$  и  $9,232 \pm 0,006$  эв. Некоторые из наблюдаемых видов испускания могут быть обусловлены переходами  $A'\pi - X\Sigma^+$ , причем исходное состояние должно заселяться путем медленной каскадной релаксации. Библ. 42.

Резюме

XIII - 785-89 1971

NO<sup>+</sup>

18 Б140. Испускание из долгоживущих состояний в ионных пучках. Системы новых полос NO<sup>+</sup>. Maier William B., II, Holland R. F. Emission from long-liver states in ion beams. New band systems of NO<sup>+</sup>. «J. Chem. Phys.», 1971, 54, № 6, 2693—2714 (англ.)

Описан метод для изучения испускания из долгоживущих возбужденных состояний ионов, с помощью к-рого можно исследовать спектры испускания, определять времена жизни возбужденных состояний и сечения электронных столкновений, приводящих к испусканию излучения. В области 1250—2200 Å наблюдался спектр испускания из долгоживущих состояний NO<sup>+</sup> (I) в ионном пучке; в области же 2200—3400 Å никакого испускания I не



+1 fm

X. 1971. 18



наблюдается. Ряд полос в области 1680—2050 Å отнесен переходам в основное электронное состояние I  $X^1\Sigma^+$  с уровнем  $v'=0$  и I одного электронного состояния с межъядерным расстоянием  $1,157(+0,02, -0,01)$  Å и временем жизни  $1,35 \pm 35$  мсек. Эти два колебательных уровня расположены на  $7,301 \pm 0,006$  и  $7,511 \pm 0,01$  эв выше основного состояния I. Другие испускания могут быть охарактеризованы двумя временами жизни  $10,8 \pm 2$  и  $160 \pm 50$  мсек, они, по-видимому, связаны с переходами в состояние  $X^1\Sigma^+$  с нескольких верхних возбужденных состояний, уровни к-рых расположены на  $9,639 \pm 0,006$ ,  $9,437 \pm 0,009$  и  $9,232 \pm 0,006$  эв выше основного состояния I  $X^1\Sigma^+$ ,  $v=0$ . Нек-рые испускания могут быть вызваны переходами I  $A^1\pi \rightarrow X^1\Sigma^+$ .

Резюме

NO, NO<sub>2</sub>

N<sub>2</sub>O<sub>2</sub>

Yi

Marilyn

C.H. 1971. 450

12400/C Matrix-isolation study of the interaction of electrons and alkali metal atoms with various nitrogen oxides. Infrared spectra of the species  $\text{NO}^-$ ,  $\text{NO}_2^-$ , and  $\text{N}_2\text{O}_2^-$ . Milligan, Dolphus E.; Jacox, Marilyn E. (Natl. Bur. Stand., Washington, D.C.).

J. Chem. Phys. 1971, 55(7), 3404-18 (Eng). The ir spectra which result when samples of  $\text{NO}_2$  are codeposited w/ the various alkali metals in an Ar matrix at 4 or at 14°K are consistent with the occurrence of strong charge-transfer interaction. In addn. to isolated  $\text{NO}_2^-$ , previously identified in this system, ion pairs of general formula  $\text{M}_x^+\text{NO}_2^-$  are stabilized. When NO is substituted for  $\text{NO}_2$ , the ir spectrum of the initial deposit shows an absorption at 1350-1375  $\text{cm}^{-1}$  which can be assigned to the  $\text{NO}^-$  stretching fundamental of  $\text{M}_x^+\text{NO}^-$  ion pairs, in good agreement with the vibrational spacing recently reported for ground-state  $\text{NO}^-$  in the gas phase. Weak charge-transfer interaction occurs between alkali-metal atoms and  $\text{N}_2\text{O}$  in an Ar matrix environment. Results of the expts. can be explained by postulating that the upper, predominantly ionic state of the charge-transfer complex decomp. producing  $\text{O}^-$ , which may diffuse through the matrix. A new absorption which appears at 1205  $\text{cm}^{-1}$  was tentatively assigned to  $\nu_4(b_1)$  of a planar  $\text{O}_2\text{N:N}^-$  anion. In studies of the interaction of Na atoms with Ar:NO:N<sub>2</sub>O mixts., Hg-arc irradn. of the sample leads to the appearance not only of the  $\text{N}_2\text{O}_2^-$  absorption, but also of absorptions due to isolated  $\text{NO}_2^-$  and to  $\text{Na}_x^+\text{NO}_2^-$ .

1971

1969

X

(+2)

№

XIII - 1969.

1971

2 Д552. Исследование взаимодействия электронов и атомов щелочных металлов с различными окислами азота методом матричной изоляции. ИК-спектры  $\text{NO}^-$ ,  $\text{NO}_2^-$  и  $\text{N}_2\text{O}_2^-$ . Milligan D., Dolphus E., Jacob Magill E. Matrix-isolation study of the interaction of electrons and alkali metal atoms with various nitrogen oxides. Infrared spectra of the species  $\text{NO}^-$ ,  $\text{NO}_2^-$ , and  $\text{N}_2\text{O}_2^-$ . J. Chem. Phys., 1971, 55, № 7, 3404—3418 (англ.)

Изучены ИК-спектры поглощения (600—1900  $\text{cm}^{-1}$ )  $\text{NO}_2$ ,  $\text{NO}$  и  $\text{N}_2\text{O}$ , соосажденных в матрицах из аргона при 4 или 14° К с различными щелочными металлами. Сделан вывод о наличии в матрицах стабилизированных образований типа  $M_x^+ \text{NO}_2^-$  (в случае  $\text{NO}_2$ ), где  $M$  — щелочной металл, которые образуются вследствие сильных взаимо-

+2

Ф. 1972. 20

действий с переносом заряда. Полосы в области 1200—1240 см<sup>-1</sup> отнесены к антисим. вал. кол.  $v_s$  NO<sub>2</sub><sup>-</sup> в ионных парах M<sub>x</sub><sup>+</sup>NO<sub>2</sub><sup>-</sup>. При исследовании NO обнаружено поглощение при 1350—1375 см<sup>-1</sup>, отождествленное с колебаниями  $v_s$  групп NO<sup>-</sup> в ионных парах M<sub>x</sub><sup>+</sup>NO<sup>-</sup>; полос изолированных ионов NO<sup>-</sup> не найдено. Наблюдалось также слабое взаимодействие с переносом заряда между атомами щелочных металлов и N<sub>2</sub>O в аргоновой матрице.

Предположено, что верхнее (в основном, ионного характера) состояние комплекса с переносом заряда распадается с образованием O<sup>-</sup>, диффундирующего в матрице. Новая полоса 1205 см<sup>-1</sup> отнесена к  $v_4$  ( $b_1$ ) плоского аниона N<sub>2</sub>O<sub>2</sub><sup>-</sup>. Показано, что образование фотоэлектронов при действии излучения ртутной дуги на матричные смеси Ag : NO : N<sub>2</sub>O + Na приводит к появлению полос O<sub>2</sub>N = N<sup>-</sup> и полос изолированных ионов NO<sub>2</sub><sup>-</sup> и ионных агрегатов Na<sub>x</sub><sup>+</sup>NO<sub>2</sub><sup>-</sup>. Библ. 48.

С. Ф. Б.

O<sub>2</sub><sup>-</sup>, NO<sup>-</sup> (серии Ридберга) 1113 1971

Sanchez Z., Schulz G. Y.; XI 2619

Phys. Rev. Lett., 1971, 27, N 20, 1333-6  
(анн.)

Vibrational progressions and  
Rydberg series of O<sub>2</sub><sup>-</sup> and NO<sup>-</sup>



CH, 1972, 76, N 2, 8371m

NO-

12897j Vibrational excitation and compound states in nitric oxide. Spence, David; Schulz, George J. (Mason Lab., Yale Univ., New Haven, Conn.). *Phys. Rev. A* 1971, [3]3(6), 1968-76 (Eng). The cross section for elastic scattering by electron impact on NO shows resonances in the energy range 0-2 eV. These resonances, with a spacing  $\sim 0.16$  eV ( $\omega_e = 0.17$  eV), are assocd. with vibrational levels of  $\text{NO}^-$ , and there is a near-coincidence in energy between the 4th vibrational state of NO and the 6th vibrational state of  $\text{NO}^-$ . The width of these resonances increases monotonically from 0.02 to 0.10 eV as the vibrational quantum no. of  $\text{NO}^-$  goes from 1 to 6. The energy dependence of the vibrational cross sections exhibits peaks at the positions of these resonances, and the magnitude of these peaks is measured. The vibrational states of  $\text{NO}^-$  can decay by the emission of an electron into various vibrational levels of NO. The branching ratio for a few of these decays is measured. A potential energy diagram of  $\text{NO}^-$  is drawn by using the exptl. evidence.

1971

C.A. 1971.752

No-

Spence D., Schulz G.J.

1974

Phys. Rev. A., Gen. Phys., 3, N6, 1968

$X^3\bar{\Sigma}^-$

$$Z_e = 1,286$$

$$D_0 = 41550 \text{ cm}^{-1}$$

$\text{NO}^+$

1972

22039g Photoionization mass spectrometric study of nitrogen oxide. Closer look at the threshold region. Killgoar, P. C., Jr.; Leroi, G. E.; Berkowitz, J.; Chupka, W. A. (Dep. Chem., Michigan State Univ., East Lansing, Mich.). *U.S. Nat. Tech. Inform. Serv., AD Rep.* 1972, No. 746463, 19 pp. (Eng). Avail. NTIS. From *Govt. Rep. Announce. (U.S.)* 1972, 72(18), 66. The photoionization efficiency curve of  $\text{NO}^+$  was obtained by using the Ar continuum in the energy range 9.25–10.00 eV. Considerable fine structure was obsd. superimposed on the vibrational steps of the  $\text{NO}^+$  ionization curve, which is attributed to vibrational autoionization. This structure was assigned to

Rydberg series converging to the excited vibrational levels of the ground  $\text{NO}^+$  ion ( ${}^1\Sigma^+$ ).

C. A. 1973. 78, v 4

NO<sup>+</sup>

Фотоэлектронная спектроскопия

XIII - 2131

1972

116 Б127. Исследование процессов автоионизации в окиси азота методом фотоэлектронной спектроскопии.

Клейменов В. И., Чижов Ю. В., Вилесов Ф. И.  
«Оптика и спектроскопия», 1972, 32, № 4, 702—708

Методом фотоэлектронной спектроскопии проведено исследование фотоионизации окиси азота в спектральной области 1280—900 Å. Получены энергетич. спектры электронов, освобождаемых при фотоионизации NO для 60 фиксированных энергий фотонов. Эти спектры использованы для определения спектральных зависимостей парц. сечений фотоионизаций переходов, приводящих к образованию колебательно возбужденных ионов

NO<sup>+</sup> в основном электронном состоянии. Проведен анализ парциальных сечений фотоионизации и показано, что процессы автоионизации приводят к сильному защелению как низких ( $v' \leq 4$ ), так и высоких ( $v' \leq 12$ ) колебательных уровней основного состояния иона NO<sup>+</sup>.

Резюме

X.1972.16

$O_2^-$  (ze); 8; ( $O_2^-$ ;  $CO_2^-$ ,  $NO^-$ ,  $NO_2^{19-72}$ )

Larkin I.W., Hasted J.B.,  $\bar{x} \bar{i}$  2844  
Z. Phys. B: Atom and Mol. Phys.,  
1972, 5, N1, 95-109

10

(62)

ppzfz

H<sub>2</sub>, He, Ne, H<sub>2</sub>, O, N<sub>2</sub>O<sub>2</sub>, N<sub>2</sub>O, N<sub>2</sub>S, C(H<sub>2</sub>) 1972.

RT 2985 NO<sub>3</sub>(Re-) 2 13 14

McFarland, H., Dunkin D.B.,  
Fehsenfeld F.C., Schmelzle Popp A.J.,

J. Chem. Phys., 1972, 56, 15, 2358-

2364 (continued)  
Collisional detachment  
studies of NO<sub>3</sub>

Bischoff, 1972, 18585B 10, 11 (IP)

$\text{NO}^+$

1972

132673w Ionization of the  $\sigma^*2s$  orbital of nitrogen monoxide and configuration interaction effects on the spin-split states arising from inner orbital ionization in paramagnetic molecules. Narayana, B.; Price, W. C. (Dep. Phys., King's Coll., London, Engl.). *J. Phys. B* 1972, 5(9), 1784-9 (Eng). Two Rydberg series of bands of NO which converge to a common limit at  $175,200 \pm 50 \text{ cm}^{-1}$  ( $21.721 \pm 0.006 \text{ eV}$ ) were found in absorption in the range 680-560 Å. The limit agrees with an ionization peak occurring at this energy in its photoelectron spectrum. The ionization is interpreted as leading to the formation of the  $(\sigma^*2s)^{-1}$ ,  $3\Pi$  state of  $\text{NO}^+$ . No comparable band systems were found which could be assigned as Rydberg bands approaching the corresponding singlet state. Similar situations in which apparently only the ionic states of highest multiplicity appear in uv and photoelectron spectroscopy are found in the analogous systems in  $\text{O}_2^+$  and  $\text{NO}_2^+$ . This phenomenon is attributed to con-

(M.n.)

C.A. 1972. 77.20

figuration interaction affecting preferentially the low multiplicity component of spin-split states. It appears to be a common feature of the inner valence orbitals of many paramagnetic mols. and their ions. The diffuseness and Fano-type profiles of many of the bands of NO show that the lifetimes of the states are very short due to predissocn. and autoionization. Obsd. quantum defects of -0.03 and 0.72/0.78 suggest that the Rydberg state orbitals are  $nd\pi$  and  $n\rho\sigma/n\rho\pi$ . Comparisons are made with the corresponding Rydberg bands in N<sub>2</sub> and O<sub>2</sub> and values of  $r_*$  = 1.117 Å and  $\Delta G_{1/2} = 1890 \text{ cm}^{-1}$  are estd. for the  $c^3\Pi$  state of NO<sup>+</sup>.

$\text{NO}^+$

Sandaram, Swaminatha

1972

"Spectrosc. Mol"

1972, 21 (245), 49-51.

"limiting rotational states..."

● (cav. CN; III)

NO-

[DM. 41275]

1972

cmr-pa,  
monica  
ceramic

Sanchez, Schultz f. y.,  
Phys. Rev. 1972, 6, N1,  
69-86.

Electron Transmission Spectro-

No -

(и.н.)

(Ae)

(см NO. III)

1 Д295. Фотоэлектронная спектрометрия отрицательных молекулярных ионов. Ч. I. Сродство к электрону NO и молекулярные константы  $\text{NO}^-$ . Siegel M. W., Cetotta R. J., Hall J. L., Levine J., Bennett R. A. Molecular photodetachment spectrometry. I. The electron affinity of nitric oxide and the molecular constants of  $\text{NO}^-$ . «Phys. Rev. A: Gen. Phys.», 1972, 6, № 2, 607—631 (англ.)

Для изучения молекулярных ионов впервые применен фотоотрыв под действием лазерного излучения и измерение спектра освобождаемых электронов. Селектируемый по массам пучок отрицат. ионов экстрагировался из положит. столба тлеющего разряда в  $\text{N}_2\text{O}$  и просвещивался сфокусированным линейно поляризованным излучением ионного аргонового лазера ( $\lambda=4880 \text{ \AA}$ ). С помощью электростатич. анализатора записывался спектр электронов, покидающих зону фотоотрыва перпендикулярно плоскости скрещенных луча и пучка ионов. Вращение плоскости поляризации луча осуществлялось по воротом полуволни. пластинки. В спектре энергий электронов четко проявляется колебательная структура, позволяющая рассчитать константы основного состояния  $\text{NO}^-$ :  $\omega_e'' = 1470 \pm 200 \text{ см}^{-1}$ ,  $r_e'' = 1,285 \pm 0,01 \text{ \AA}$ ,  $B_e'' = 1,427 \pm 0,02 \text{ см}^{-1}$ . Сродство к электрону для молекулы NO равно  $24_{-5}^{+10} \text{ Мэв}$ . Библ. 32. В. Александров

РЭМ.Ф.1873.1

NO, NO<sup>+</sup> ( $\delta_i$ ,  $\Phi_0$ , u.n., pacem). X 2057/1972

Thulstrup E. W., Öhren Y.

J. Chem. Phys., 1972, 57, N<sub>9</sub>, 3716 -  
- 3726 (and.)

Configuration interaction studies  
of NO and NO<sup>+</sup> with comparisons  
to photoelectron spectra.

See Phys, 1973, 38 154

$\text{NO}^{2+}$

1973

Appell J., Durup J. et al

Ei J. Phys. Atom. and Mol. Phys.  
1973, 6, N1, 194-205.

•  $(\text{CuO}_2^{2+})^{\text{III}}$

1973

NO<sup>+</sup>

4 Д210. Расчет абсолютных интенсивностей для инфракрасных колебательно-вращательных полос 0—1, 0—2 и 1—2 основного состояния NO<sup>+</sup>. Billingsley Frank P., I. I. Calculation of the absolute infrared intensities for the 0—1, 0—2 and 1—2 vibration-rotation transitions in the ground state of NO<sup>+</sup>. «Chem. Phys. Lett.», 1973, 23, № 2, 160—166 (англ.)

авсол.  
интенс.  
линий

В многоконфигурационном приближении с помощью метода самосогласованного поля (РЖФиз, 1972, 6Д133) вычислен электрич. дипольный момент иона NO<sup>+</sup> в основном электронном состоянии  ${}^1\Sigma^+$ . Полученные данные использованы для расчета вероятностей  $A(v, I \rightarrow v', I')$  спонтанных радиационных переходов между колебательно-вращательными уровнями и для определения интегр. коэф. поглощения при 273,16° К. Найдено, что  $A(v, I \rightarrow v', I')$  слабо зависят от вращательного квантового числа  $I$  и для переходов  $v \rightarrow v' = 1 \rightarrow 0; 2 \rightarrow 0; 2 \rightarrow 1$ , соответственно, равны (в сек<sup>-1</sup>): 13,63; 0,37 и 26,32.

Б. Ф. Гордиец

\* 45 - 3036

ф. 1974 № 4

*NO<sup>+</sup>*

*1973*

*расчеты*

9 Б129. Вычисление абсолютных интенсивностей инфракрасных полос для колебательно-вращательных переходов 0—1, 0—2 и 1—2 NO<sup>+</sup> в основном состоянии. Billingsley Frank P., I I. Calculation of the absolute infrared intensities for the 0—1, 0—2 and 1—2 vibration—rotation transitions in the ground state of NO<sup>+</sup>. «Chem. Phys. Lett.», 1973, 23, № 2, 160—166 (англ.)

Метод самосогласованного поля при учете многих конфигураций применен для расчета дипольного момента иона NO<sup>+</sup> вблизи равновесного значения Re для основного электронного состояния  $^1\Sigma^+$ . Вычислены абр. интенсивности ИК-полос поглощения, относящиеся к колебательно-вращательным переходам 0—1, 0—2 и 1—2. Полученные значения для основного перехода 0—1 ( $88,8 \text{ см}^{-2} \cdot \text{атм}^{-1}$ ) и обертона 0—2 ( $0,6 \text{ см}^{-3} \cdot \text{атм}^{-1}$ ) при  $213,16^\circ \text{K}$  хорошо согласуются с эксперим. результатами, полученными при исследовании верхних слоев атмосферы.

А. Бобров

*X. 1974*

*№ 9*

*5-3036*

XI-3274

1973

O<sup>+</sup>, NO<sup>+</sup>, N<sup>+</sup> (A.P.)

Döng P., Bizot M.

Int. J. Mass Spectrom. and Ion Phys.,

1973, 10, N3, 227-246

P.W.E.K., 1973, 95967



10

40129.9155

TE, Ch, Ph

*NO<sup>+</sup>*

*A.P.*

96559

1973

Х 4-3271

Eland J.H.D. Predissoociation of N<sub>2</sub>O<sup>+</sup>  
and COS<sup>+</sup> ions studied by photoelectron-  
photoion coincidence spectroscopy.

"Int. J. Mass Spectrom. and Ion Phys.",  
1973, 12, N 4, 389-395 (англ.)

ПДЗ2.00к

009 011

-0.25

ВИНИТИ

NO-

Efskini (?)

paper

Acta Chem. Scand., 1973,

27, n1, 71-78

(epoxy!)

(comes: Museum of  
Diseases of Mry).

*NO<sup>+</sup>*

*отмечена 1266*

*1973*

*Эксперименты*  
3 Б27. Валентные состояния иона NO<sup>+</sup>. Field Robert W. The valence states of NO<sup>+</sup>. «J. Mol. Spectrosc.», 1973, 47, № 2, 194—203 (англ.)

Пересмотрены эксперим. данные по оптич. и фотоэлектронным спектрам иона NO<sup>+</sup>. Выполнен анализ вращательной структуры ряда полос 8 электронных переходов и с учетом спин-орбитального взаимодействия между синглетными и триплетными состояниями вычислены «невозмущенные» значения молек. постоянных для 8 низколежащих электронных состояний NO<sup>+</sup>. Построены потенц. кривые Ридберга — Клейна — Риса для этих состояний NO<sup>+</sup>, по которым вычислены факторы Франка — Кондона и относит. интенсивности полос в оптич. и фотоэлектронном спектрах. Результаты расчета согласуются с эксперим. данными.

*М. Р. Алиев*

*Х-1974*

*№3*

NO<sup>+</sup>

1973

2 Д138. Валентные состояния молекулярного иона NO<sup>+</sup>. Field Robert W. The valence states of NO<sup>+</sup>. *J. Mol. Spectrosc.*, 1973, 47, № 2, 194—203 (англ.)

Для молекулярного иона NO<sup>+</sup> табулированы спектроподобные константы восьми нижних электронных состояний. Использованы имеющиеся данные по оптическим и фотоэлектронным спектрам, а также интерполяция по соответствующим состояниям изоэлектронных молекул CO и N<sub>2</sub>. Даётся интерпретация ранее изучавшихся спектров излучения для долгоживущих состояний иона NO<sup>+</sup>. Проводится сравнение интенсивностей переходов с ионизацией из состояния NO X<sup>2</sup>P, наблюдавшихся в фотоэлектронных спектрах, с вычисленными факторами Франка — Кондона.

Э. Р. А.

М. В.

Э.

РЕЗЮМЕ

1974

№ 2

(1) 17

1266  
Библиотека

31203.7367

Ch, TE

NO<sup>-</sup>

(A.P)41197

1973

1374

Gupta Satish K., Melton Charles E.  
A study of the formation of negative  
ions in nitric oxide and the interaction  
of NO with H- and O- from water.

"J. Phys. Chem.", 1973, 77, N 22, 2594-2598

(англ.)

1015 амк

1000 1002

11008

ВИНИТИ

$\text{NO}^+$

1973

6 Д196. Исследование фотонизации  $\text{NO}$  масс-спектрометрическим способом. Детальное излучение пороговой области. Killgoag P. C., Jr; Leroi G. E., Berkowitz J., Chupka W. A. Photoionization mass spectrometric study of NO. A closer look at the threshold region. «J. Chem. Phys.», 1973, 58, № 2, 803—806 (англ.)

Кривая эффективности фотонизации (КЭФ)  $\text{NO}^+$  получена для интервала энергий 9,25—10,00 эв. В качестве света использован газовый разряд в Ar (непрерывный спектр излучения в области 1100—1350 Å), причем выделение нужной длины волны обеспечивалось метровым УФ-монохроматором с дисперсией 8,3 Å/мм. Зарегистрирована тонкая структура КЭФ, которая наблюдается на фоне ступенчатых изменений, обусловленных колебательными уровнями NO. Тонкая структура КЭФ связывается с ридберговскими сериями, сходящимися к возбужденным колебательным уровням основного состояния ( ${}^1\Sigma^+$ ) иона  $\text{NO}^+$ . Г. А.

фото-  
иониз.

ф. 1973. № 6

$\text{NO}^+$

1973

77657n Photoionization mass spectrometric study of nitrogen nonoxide. Closer look at the threshold region. Killgoar, P. S., Jr.; Leroi, G. E.; Berkowitz, J.; Chupka, W. A. (Dep. Chem., Michigan State Univ., East Lansing, Mich.). *J. Chem. Phys.* 1973, 58(2), 803-6 (Eng). The photoionization efficiency curve of  $\text{NO}^+$  was obtained by using the Ar continuum in the energy range 9.25-10.00 eV. Considerable fine structure was obsd. superimposed on the vibrational steps of the  $\text{NO}^+$  ionization curve, which is attributed to vibrational autoionization. This structure has been assigned to Rydberg series converging to the excited vibrational levels of the ground  $\text{NO}^+$  ion ( ${}^1\Sigma^+$ ).

photo -  
nonoxide.

C.A. 1973. 78. N12

$\text{NO}^+$

1973

15 Б102. Изучение NO методом масс-спектрометрии с фотоионизацией. Детальное рассмотрение в припороговой области. Killgoar P. C., Jr, Leroi G. E., Bergkowitz J., Chupka W. A. Photoionization mass spectrometric study of NO. A closer look at the threshold region. «J. Chem. Phys.», 1973, 58, № 2, 803—806 (англ.)

$(\varepsilon_i)$

Кривая эффективности фотоионизации (КЭФ)  $\text{NO}^+$  в припороговой области получена на масс-спектрометре с магнитным анализатором, соединенным с вакуумным УФ-монохроматором. В кач-ве источника излучения использован сплошной континуум Ag ( $\sim 1100$ — $1350$  Å), что позволило, в отличие от многолинейного псевдоконтинуума Н-лампы, уверенно регистрировать ТС, наложенную на первые 3 ступени КЭФ. Наблюдаемые линии принадлежат автоионизации с уровней Ридберга при колебательных возбуждениях из основного ( $X^1\Sigma^+$ ) состояния  $\text{NO}^+$ .

ж. 1973 N 15

Для 12 наблюдаемых пиков первой, 9 пиков второй и 5 пиков третьей ступеней КЭФ приведены значения измеренных длин волн и обозначения соответствующих автономных структур. Обсуждаются механизмы образования **отдельных переходов**.

М. Туркина

$\text{NO}^-$

$(g = 535)$

1973

Min.

Kb. deex.

parcours

166298p Nature of the resonant states of the nitrosyl ion.  
Lefebvre-Brion, H. (Cent. Mec. Ondul. Appl., Paris, Fr.).  
*Chem. Phys. Lett.* 1973, 19(3), 456-8 (Eng). The stabilization  
method of Taylor was used to calc. the nature of the states of  
 $\text{NO}^-$  corresponding to the lowest resonances obsd. recently by  
Sanche and Schulz. They consist of 2 Rydberg electrons in the  
core of the  $X^1\Sigma^+$  ground state of the ion. The proposed assign-  
ments are the  $(R_s\sigma)^2{}^1\Sigma^+$ ,  $(R_s\sigma)(R_p\pi){}^3\Pi$ ,  $(R_s\sigma)(R_p\sigma){}^3\Sigma^+$  states.  
The 4th resonance is attributed to an  $(R_p\pi){}^2{}^3\Sigma^-$  state. The  
Rydberg orbitals of these states of the neg. ion are more diffuse  
than the corresponding ones of the neutral mol.

C.A. 1973-78 n 26

*No* 17 Б11. Природа резонансных состояний иона  $\text{NO}^-$ .  
Lefebvre-Brion H. Nature of the resonant states of  
 $\text{NO}^-$ . «Chem. Phys. Lett.», 1973, 19, № 3, 456—458  
(англ.)

С целью исследования природы низких резонансных состояний иона  $\text{NO}^-$  (см. Sanche L., Schulz C. J., Phys. Rev. Lett., 1971, 27, 1333) проведено изучение зависимости результатов расчета неэмпирич. методом ССПМО ЛКАО (с учетом конфигурац. взаимодействия) энергий состояний  $^1\Sigma^+$ ,  $^3\Sigma^+$ ,  $^3\Sigma^-$ ,  $^3\pi$  от базисного набора АО слейтеровского типа. В расчете использованы три базисных набора, наибольший из к-рых содержал 21 АО об. и 9 АО  $\pi$ -типа. Найдено, что увеличение числа диффузных АО в базисе приводит к незначит. изменению энергии состояния  $^1\Sigma^+$  иона  $\text{NO}^-$  по сравнению с энергией  $\text{NO}(A^2\Sigma^+)$ , в то время, как изменение энергий остальных состояний значительно. Отмечается, что конфигурации, имеющие наибольший вес, для упомянутых состояний можно получить добавлением двух ридбергов.

4 -  
535

*X. 1973 N 17*

ских орбиталей к МО системы  $\text{NO}^+(X^1\Sigma^+)$ , причем они имеют более диффузный характер, чем ридберговские орбитали  $\text{NO}$ .

В. И. Пузышев

30523.8739  
TE,B,Ch

96201

NO<sup>-</sup>

\*

Lefebvre-Brion H.

Nature of the resonant states of NO<sup>+</sup>.

"Chem. Phys. Lett.", 1973, 19, N 3, 456-458

(англ.)

0272-0146

863 864

870

ВИНИТИ

*No +  
BO +  
O +*

*Электр.  
удар*

*1973*

11 Д394. Электронные состояния  $B^+$ , образующиеся в результате электронной бомбардировки молекул тригалогенидов бора: некоторые ионно-молекулярные реакции  $B^+$ . Lin K. C., Cotter R. J., Koski W. S. Electronic states of  $B^+$  produced by electron bombardment of the boron trihalides: some ion-molecule reactions of  $B^+$ . «Electron. and Atom. Collisions. Abstr. pap. 8 ICPEAC, Beograd, 1973. Vol. 1». Beograd, 1973, 103 (англ.)

Последовательность молекул  $BF_3 - BJ_3$  соответствует убыванию кол-ва ионов  $B^+$  в состоянии  $^3P$ , образующихся в результате электронного удара (70 эв). Так, доля  $^3P$ -состояний составляет 35% ( $^1S - 65\%$ ) для  $BF_3$ , тогда как для  $BJ_3$  выход  $^1S$ -состояний близок к 100%. Наблюдаются заметные различия выхода  $BD^+$  в резуль.

*ф. 1973 N 11.*

*(+2)*

$B^+ + D_2$  в зависимости от электронного состояния  $B^+$ : для основного состояния сечение растет с увеличением кинетич. энергии иона, для  ${}^3P$ -состояния наблюдается обратная зависимость. В случае взаимодействия  $B^+ - N_2O$  различия проявляются в порогах реакции, а увеличение кинетич. энергии влечет за собой возрастание се-

чения; в продуктах взаимодействия зафиксированы  $NO^+$ ,  $BO^+$ ,  $O^+$ .  
Г. А. Вомпе

$\text{NO}^-$

R. Marx, G. Mandelare 1973

$\text{N}_2\text{O}^-$

Fehsenfeld F.C.

$\text{NO}_2^-$

Dunkin D.B.

( $\delta p_{\text{sys}}$   
norm)

Ferguson E.E.

J. Chem. Phys. 1973, 58, N8

3267-73

NO<sup>+</sup>

Мартовенски лъч 1973

Бюро З.Р.

издадено "Пр. Чешк. астрон. обръз"  
обръз 1973, том 113, 33-44.

(акт NO) III

№-

Х-3823

1973

5 Д221) Электронное средство молекул, определяемое из столкновительной ионизации с цезием. I. NO, NO<sub>2</sub>, и N<sub>2</sub>O. Nalley S. J., Compton R. N., Schweinler H. C., Anderson V. E. Molecular electron affinities from collisional ionization of cesium I. NO, NO<sub>2</sub> and N<sub>2</sub>O. «J. Chem. Phys.», 1973, 59, № 8, 4125—4139 (англ.)

Измерены относительные величины сечений образования отрицательных ионов исходных молекул NO, NO<sub>2</sub> и N<sub>2</sub>O и осколочных ионов O, возникающих при столкновениях указанных молекул с атомами Cs в области энергий 0—40 эв. Нейтральные атомы Cs<sup>°</sup> требуемой энергии создавались в перезарядном источнике, затем анализировались по скоростям, детектировались методом иони-

(A<sup>-</sup>)

Ф. 1974 № 5

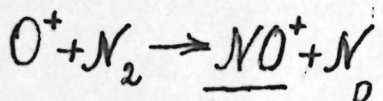
+3

+1 40 e.

☒

зации атомов на нагретой вольфрамовой проволоке и регистрировались электронным умножителем. Образуемые в области столкновения ионы идентифицировались по массам с помощью времязпролетного масс-спектрометра и регистрировались по методу счета отдельных ионов. Величины энергий электронного сродаства определялись из кривых зависимости сечений образования ионов от энергии атомов  $Cs^0$  по пороговым значениям энергий соударения и с использованием математич. процедуры анализа припороговых «хвостов» кривых, обусловленных доплеровским движением молекул мишени. Нижние пределы энергий сродаства оказались равными (в эв):  $0,1 \pm 0,1$  ( $NO^-$ );  $2,5 \pm 0,1$  ( $NO_2^-$ );  $-0,15 \pm 0,1$  ( $N_2O^-$ ). Для  $O^-$ , образуемого при столкновении  $Cs^0$  с  $N_2O$ , электронное сродаство оценивается величиной 11 эв.

И. Флакс



1973

R. H. Neynaber

G. D. Magnuson.

non-mol.

transcog. "J. Chem. Phys"

1973, 58, N10, 4586-98.

"Low-energy study of ... (peaky's)."

*No-*  
*O<sub>2</sub>-*  
*m.e.; ε;*

23 Б942. Образование коротко живущих отрицательных ионов в NO и O<sub>2</sub>. Виггоу Р. Д. Tempogagu negative ion formation in NO and O<sub>2</sub>. «Chem. Phys. Lett.», 1974, 26, № 2, 265—268 (англ.)

1974

Спектрометр энергии электронов использован для определения интенсивности рассеяния назад электронов с энергией от 0 до 2 эв на газовых мишенях NO и O<sub>2</sub>. Кривые зависимости интенсивности рассеянного тока электронов от энергии имеют ярко выраженную структуру с максимумами, соотв-щими колебательным уровням ионов O<sub>2</sub>- и NO- в состояниях X<sup>2</sup>P<sub>g</sub> и <sup>1</sup>Δ соответственно. Определены параметры состояния O<sub>2</sub>(X<sup>2</sup>P<sub>g</sub>)  $\hbar\omega_e = (137 \pm 4) \cdot 10^{-3}$  эв и  $\hbar\omega_e x_e = (1,1 \pm 0,2) \cdot 10^{-3}$  эв, что хорошо совпадает с лит. данными. Состояние NO-(<sup>1</sup>Δ) лежит на 0,65 эв выше основного состояния NO и на 0,68 эв выше состояния NO-(X<sup>3</sup>S-).  
Л. Ю. Русин

X/ - 11/6.7

(+) ⊗

Х.1974. № 23

NO-

XI-4164

1974

11 Д231. Образование неустойчивых отрицательных ионов в NO и O<sub>2</sub>. Wigutow R. D. Temporary negative ion formation in NO and O<sub>2</sub>. «Chem. Phys. Lett.» 1974, 26, № 2, 265—268 (англ.)

Сообщаются результаты изучения упругого обратного рассеяния электронов (угол рассеяния 180°) в NO и O<sub>2</sub>. Применение пучка электронов с энергией 0—

образование  
отриц. иона

Ф. 1974 № 11

+1 м.с.

2 эв позволило исследовать образуемые при этом отрицат. ионы, которые являются неустойчивыми. Обнаружена хорошо выраженная структура на измеренных зависимостях электронного тока от энергии электронов, которая связана с возбуждением колебательных уровней отрицат. ионов. Получены данные, свидетельствующие об образовании отрицат. иона  $\text{NO}^-$  ( $^1\Delta$ ).  
\_\_\_\_\_

А. П. Калинин

1974

№+

бесводородные химические ион-  
ции при фрагментации ионов;

ионы  $N_2O^+$ ;  $COS^+$  и  $CF_4^+$ .

(E)

Brehm B, Frey R, et al.

"Int. J. Mass. Spectrom. and  
 Ion Phys." 1974, 13, N 3, 251-  
 260 (авр)

(ав  $CF_3^+$ ; III)

Х 1974 N 19

40729.6711

Ph, Ch, MGU, TC

NO<sup>-</sup> 96201

1974

OKT 5-58A

Burrow\_P.D. Temporary negative ion  
formation in NO and O<sub>2</sub>. "Chem. Phys.  
Lett.", 1974, 26, N 2, 265-268

(англ.)

0164 am 1

132 133 156

ВИНИТИ

$\text{CO}$ ;  $\text{CO}^+$ ;  $\text{NO}^+$ ;  $\text{CF}^+$  ( $\text{Li}$ ,  $\text{paco}\ddot{\text{e}}\text{m}$ ) XIII 2831 1974

Cambary J., Gasteiger J., Streitwieser  
A., Jr., Bagus P. S.;

J. Amer. Chem. Soc., 1974, 96, N<sub>19</sub>, 5878-

-5984 (aw.)

Self-consistent field calculations  
of hole states of carbon monoxide.  
Electron density functions by  
computer graphics.

Bkfst, 1975, 3D200

10

$\text{NO}^+$

XIII-2890-89

1974

4-7524

9491m Electroionization spectrum of nitric oxide. Carboneau, R.; Marmet, P. (Dep. Phys., Univ. Laval, Quebec, Que.). *Can. J. Phys.* 1974, 52(19), 1885-90 (Eng). Neg. ion resonances having the  $\text{NO}^+ b\ ^3\Pi$ ,  $A\ ^1\Pi$ ,  $c\ ^3\Pi$ , and  $B\ ^1\Pi$  states as grandparents were obsd. for the 1st time in the electroionization spectrum of NO. The results are compared with those from electron transmission expts. Some Rydberg states from the series converging to the  $\text{NO}^+ b\ ^3\Pi$  state were analyzed.

Рядберг?  
сост.

C.A. 1975.

82

N2

4081919093  
Ph, Ch, TC

NO<sup>+</sup> Крик добоянту 1974  
96559  
nitrous. крик  
~~Х-4-598~~

Coppens P., Smets J., Fishel M.G.,  
Drowart J. Mass spectrometric study  
of the photoionization of nitrous  
oxide in the wavelength interval 1000-  
600Å. "Int. J. Mass Spectrom. and Ion  
Phys.", 1974, 14, N 1, 57-74

(англ.)

0173

884/2-340-490-080

138 142 отиск 3134

ВИНИТИ

1974

150

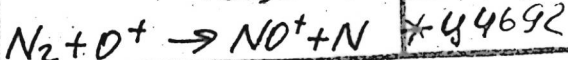
Бюллетень по научно-исследовательской работе УВГАН, отчет № 8  
"Периодизация и ассоциации с. в. в атоме, богоярда и их соединений".

40515.8762

TE, Ch, Ph, FGU

кинетика 40892

1974



\*44692

Smith Gregory P.K., Cross R.J., Jr.

Crossed beam study of the reaction  $O^+ + N_2 \rightarrow NO^+ + N$ .

"J.Chem. Phys.", 1974, 60, N 5, 2125-2131

(англ.)

0401 8003

083 091 - 093

ВИНИТИ

данные 2242

1974

№-

23 Б24. Расчет ряда наблюдаемых состояний молекул  $\text{NO}^-$ ,  $\text{NO}$ ,  $\text{NO}^+$ ,  $\text{NO}^{2+}$ , методом конфигурационного взаимодействия. Thulstrup P. W., Thulstrup E. W., Andersen A., Ohgn Y. Configuration interaction calculations of some observed states of  $\text{NO}^-$ ,  $\text{NO}$ ,  $\text{NO}^+$ , and  $\text{NO}^{3+}$ . «J. Chem. Phys.», 1974, 60, № 10, 3975—3980 (англ.)

В базисе слайтеровских функций проведен расчет потенциальных кривых молекул  $\text{NO}^-({}^3\Sigma)$ ,  $\text{NO}({}^{2,4}\Pi)$ ,  $\text{NO}^+({}^{1,3}\Sigma, {}^{1,3}\Pi, \Delta)$ ,  $\text{NO}^{2+}({}^2\Sigma, {}^2\Pi, {}^2\Delta)$  методом конфигурац. взаимодействия. Расчеты учитывают не более 269 конфигураций данного типа симметрии и возбуждения лишь валентных электронов. Подробно рассмотрены имеющиеся данные фотоэлектронной и электронной спектроскопии, к-рые сопоставлены с полученными потенциальными кривыми.

В. И. Пупышев

(f3)

х. 1974. № 3

документ 2242

1974

№ -

111 Д133. Расчет некоторых наблюдаемых состояний молекул  $\text{NO}^-$ ,  $\text{NO}$ ,  $\text{NO}^+$  и  $\text{NO}^{2+}$  с учетом конфигурационного взаимодействия. Thulstrup P. W., Thulstrup E. W., Andersen A., Öhrn Y. Configuration Interaction calculations of some observed states of  $\text{NO}^-$ ,  $\text{NO}$ ,  $\text{NO}^+$ , and  $\text{NO}^{2+}$ . «J. Chem. Phys.», 1974, 60, № 10, 3975—3980 (англ.)

( $E_i$ ; расчет)

Для молекулы  $\text{NO}$  и перечисленных в заглавии ее ионов вычислена зависимость энергии от межатомного расстояния  $r$  от 1 до 3 Å в основном и в нескольких низкоэнергетич. возбужденных состояниях. Этот неэмпирич. расчет выполнен в миним. базисе АО Слэтера, с оптимизацией показателей экспонент в этих АО, методом (РЖФиз, 1969, ЗД107), обеспечивающим правиль-

φ. 1974. № 11

73

☒

ную проекцию многоконфигурационной воли. ф-ции в-  
фиксированное спиновое состояние молекулы. Оптими-  
зация показателей экспонент заметно улучшила согла-  
сие с экспериментом по сравнению с предыдущим рас-  
четом (РЖФиз, 1973, ЗД154): разности между значе-  
ниями энергии при стационарных значениях  $r$  в воз-  
бужденном и в основном состояниях, как правило,  
отличаются от их эксперим. значений на десятые доли  
электронвольт, сами эти  $r$  — не более чем на  $0,05 \div 0,1 \text{ \AA}$ ,  
частоты — на  $10 \div 20\%$ , а энергии диссоциации — не бо-  
лее чем на 2 эв.

Ю. Е. Эйнер

лена

40724.7534

Ch, Ph, TC

40892

 $\text{NO}^+$ 

1974

2242

Thulstrup P.W., Thulstrup E.W., Andersen  
 A., Öhrn Y. Configuration interaction  
calculations of some observed states of  
 $\text{NO}^-$ ,  $\text{N}_2\text{O}$ ,  $\text{NO}^+$ , and  $\text{NO}^{2+}$ . "J. Chem. Phys.",  
 1974, 60, N10, 3975-3980 (англ.)

(ав.  $\text{NO}^-$ ; 10)

128 133

0150

ВИНИТИ

40724.7534

Ch, Ph, TC

40892

 $\text{NO}^{2+}$ 

1974

2242

Thulstrup P.W., Thulstrup E.W., Andersen  
 A., Öhrn Y. Configuration interaction  
calculations of some observed states of  
 $\text{NO}^-$ ,  $\text{N}\ddot{\text{o}}$ ,  $\text{NO}^+$ , and  $\text{NO}^{2+}$ . "J. Chem. Phys.",  
 1974, 60, NIO, 3975-3980 (англ.)

(see.  $\text{NO}^-$ ; III)

128 133

0150

ДАННИЕ

ВИНИТИ

*NO<sup>+</sup>*

ommited 3240  
attache 3251

1975

(u, n)

106081f Laboratory determination of the frequencies of possible interstellar lines of nitrogen monoxide(+). Alberti, F.; Douglas, A. E. (Div. Phys., Natl. Res. Counc. Canada, Ottawa, Ont.). *Can. J. Phys.* 1975, 53(12), 1179-81 (Eng). The  $A^1\Pi-X^1\Sigma$  emission bands of NO<sup>+</sup> were photographed at high dispersion and, from the measurements of these spectra, the frequencies of lines which are likely to be of astronomical significance were detd. The  $(J = 1)-(J = 0)$  transition of the lowest vibrational level of the  $X^1\Sigma$  state lies at  $119, 187 \pm 30$  MHz. The consts. of the  $A^1\Pi$  and  $X^1\Sigma$  states have been improved.

C.A. 1975. 83 N12

1975

*NO<sup>+</sup>*

185: 85024p Experimental measurement of nitric oxide(+) radiative lifetime. Bien, Fritz (Aerodyne Res. Inc., Bedford, Mass.). U. S. NTIS, AD Rep. 1975, AD-A022652, 46 pp. (Eng). Avail. NTIS. From Gov. Rep. Announce. Index (U. S.) 1976, 76(11), 9. The location and integrated absorption coeff. of the R-3 line for the  $v = 1$  to  $v = 2$  vibrational transition in NO<sup>+</sup> was exptl. measured. The location of the line center was 2327.20 + or -0.01/cm, 0.07/cm higher than the previously calcd. value. The line was Doppler broadened, giving an integrated absorption coeff. of 240 + or 1(+100, -75)/cm<sup>2</sup>-atm. This value would be consistant with a thermal equil. ground state integrated absorption coeff. of 280/cm<sup>2</sup>-atm one half the value of previous observations and a factor of 3 higher than theor. predictions, the accuracy in the ground state equil. value is + or - a factor of 2 due to the uncertainty in relative vibrational populations.

*Checkup*

C.A. 1976 85 N 12

\* 4-8359

1975

NO -

N<sub>2</sub> -

116487m Shape resonances in the nitrogen monoxide(-) and molecular nitrogen(-) ions. Campeanu, Radu I. (Fac. Phys., Univ. Cluj, Cluj, Rom.). *Chem. Phys. Lett.* 1975, 30(2), 245-8 (Eng). The method used by F. Koike and T. Watanabe (1973) to describe neg. mol. ion formation is generalized for multiwaves states of the extra electron. The structure of the shape resonances in NO<sup>-</sup> and N<sub>2</sub><sup>-</sup> is discussed. For the NO<sup>-</sup>-captured electron it is found that the *d*<sub>π</sub>-wave component increases with increasing resonance energy.

α<sup>5</sup> Ray. complex. nonob .

(+1) X

C. A. 1975. 82 n 18

*No +*

*1975*

*Check*

18567p Penning ionization optical spectroscopy. Metastable helium ( $\text{He } 2^3\text{S}$ ) with nitric oxide. Coxon, J. A.; Clyne, M. A.; Setser, D. W. (Queen Mary Coll., Univ. London, London, Engl.). *Chem. Phys.* 1975, 7(2), 255-66 (Eng). The interaction between  $\text{NO}(X^2\Pi)$  and metastable  $\text{He}(2^3\text{S})$  atoms was investigated by emission spectrometry. Several reaction channels were identified, leading to  $\text{NO}^+(A^1\text{II})$ , or to electronically excited N or O atoms. The  $\text{NO}^+(A^1\text{II}-X^1\Sigma^+)$  banded emission was obsd. in the range 123-190 nm, and it was analyzed for vibrational and rotational populations. The  $\text{NO}^+(A)$  state vibrational population distribution, detd. with a new set of Franck-Condon factors for  $\text{NO}^+(A-X)$ , is in approx. accord with the calcd.  $\text{NO}^+(A)-\text{NO}(X)$  Franck-Condon (FC) factors; however the  $v' = 2-5$  levels are overpopulated relative to the FC values. The  $\text{NO}^+(A)$  state rotational populations are shifted to high  $J$ -values than the precursor,  $\text{NO}(X)$ . Emission was obsd. from several excited states of O and N in both the vacuum uv and red regions of the spectrum. Comparison of total emission rates from excited at. fragments with emission from  $\text{NO}^+(A)$  showed that the cross-section for dissociative excitation was similar to that for Penning ionization giving  $\text{NO}^+(A)$ .

*C.A. 1975. 83 N2*

БР-XI-453

51128.3415  
Ch, Ph, TC

41125 (новая) 1975  
NO+ n(рабоче) 3540

Finlay J. Michael, Simons Gary. Capabilities and limitations of an analytic potential expansion for diatomic molecules.

"J. Mol. Spectrosc.", 1975, 57, N 1, 1-13. (Cu, Cd; III)  
(англ.) 023/К

0547

480 481

509

ВИНИТИ

*No*  
*O<sub>2</sub>*  
*(ii. n)*  
*+1*   
*X 1976 N 9*

9 Б32. Угловое распределение чисто резонансного рассеяния электронов двухатомными молекулами, описываемыми случаями Гунда «*a*» и «*b*». Fiquele-Fayard Florence. Angular distributions for pure resonant scattering of electrons by diatomic molecules in Hund's cases *a* and *b*. «J. Phys. B: Atom. and Mol. Phys.», 1975, 8, № 17, 2880—2897 (англ.). *1975*

Обобщен метод расчета сечений резонансного возбуждения и углового распределения рассеяния электронов, предложенный ранее (РЖХим, 1972, 2Б214). Допускается существование узких по сравнению с расстоянием между вращательными уровнями резонансных состояний, явно учтены спин и четность состояний, а также не вводится обычное упрощение локальной ширины резонансного состояния. Выбор базиса для описания двухатомных молекул проведен в предположении, что эти молекулы описываются случаями связи «*a*» и «*b*» по Гунду. В используемом методе предполагается, что рассеяние происходит за счет чисто резонансного возбуждения по всем неупругим каналам, однако при этом впервые исследовано и влияние потенциального рассеяния по неупругим каналам. Теоретические результаты применены к описанию резонансных  $^3\Sigma^-$ ,  $^1\Delta$ -составляющих  $\text{NO}^-$  и  $^2\Pi_g$ -составляющей  $\text{O}_2^-$ .

Б. И. Жилинский

$\text{NO}^+$

1975

Kinoshige et al.

reference  
nos. 6

J. Chem. Phys.,

1975, 62, N9, 3517 - 3522

(see  $\text{H}_3^+$ ; III)

51030.9057

Ph,Ch,TC,DB

96615

*NO<sup>+</sup>*

1975

\* 4-10427

Paoloni L., La Manna G.

The electronic structure of  $N_4N_6^{2+}$   
 and the bonding interaction of  $NO^+$   
 and  $NO_3^-$ . "J. Mol. Struct.", 1975,  
 28, N 2, 319-322

(англ.)

УДК 539.2

450 453

ВИНИТИ

NO +

Commex A-2948 1975

Página A F

cl. n, Do  
T, em. no 1)  
B C5., "Pereira religiosa"  
1975, foln 2, 3-61  
cl, Amorimsgam.

NO -

ommier A-2948 1975

Papuan A.A

(c.c.n., Do,  
♀, caw n.w.m)

B. cd., "Kauaii Paafee"  
1975, fin 2 3-61  
cl, / Amakiagam.

50701.8446

Ch, Ph, TC, MGU

NO - 30063

1975

\* 4-9441

Trong M., Huetz A., Laundaum M., Pichou F.,  
Reinhardt J. Resonant vibrational excita-  
tion of the NO ground state by electron  
impact in the 0.61-3 eV energy range.

"J. Phys. B: Atom. and Mol. Phys.", 1975, 8,  
N 7, 1160-1169.

(см. NO' III)  
(англ.) —

370 376

039401 ПЧ ВИНИТИ

$\text{NO}^+$

1976

86: 10213m Low-temperature vibrational spectra of some nitrosyl salts. Adams, David M.; Appleby, Roger (Dep. Chem., Univ. Leicester, Leicester, Engl.). *J. Inorg. Nucl. Chem.* 1976, 38(9), 1601-3 (Eng). Changes in the vibrational spectra of  $\text{NO}[\text{SbCl}_6]$ ,  $(\text{NO})_2[\text{SnCl}_6]$ , and  $(\text{NO})_2[\text{TiCl}_6]$  on cooling to liq. N temps. were interpreted in terms of phase changes to low symmetry structures with centrosym. space groups and  $z = 2, 4$ . Restriction of rotation of  $\text{NO}^+$  resulted in appearance of Raman and ir bands at  $\sim 235 \text{ cm}^{-1}$  due to  $\text{NO}^+$  libration and series of translatory lattice modes.

(1)

P.A. 1977 86 N2

NO -

1976

Abouaf R.

Painneau R.

(A.P.)

J. Phys B 1976, 9(2)  
303-14 (eng)

(au O - II)

1976

*No<sup>+</sup>*

8 Д399. Влияние преионизации на фотоэлектронные спектры: колебательное возбуждение  $\text{NO}^+(X^1\Sigma^+)$ . Sargace G., Delwiche J., Natalis P., Collin J. E., Preionization effects in photoelectron spectra: vibrational enhancement of  $\text{NO}^+, X^1\Sigma^+$ . «Chem. Phys.», 1976, 13, № 1, 43—49 (англ.)

*фотоэл.  
спектр*

Исследованы фотоэлектронные спектры NO, полученные при возбуждении излучением резонансных линий HeI (584 Å), NeI (736 Å), ArI (1048 Å), ArI (1067 Å) на 180° полусферическом электростатич. анализаторе. Показано, что колебательное распределение ионов  $\text{NO}^+(x^1\Sigma^+)$  при ионизации излучением 584 и 736 Å обусловлено прямой фотонионизацией. Обсуждается природа сверхвозбужденных состояний NO, преионизационный распад которых вызывает аномальное колебательное возбуждение  $\text{NO}(x^1\Sigma^+)$  при ионизации NO ли-

φ. 1976° № 8.

ниями 1048 Å и 1067 Å. Произведены расчеты коэф. Франка—Кондона для перехода преониционное состояние  $\rightarrow$  ионное состояние. Наилучшее согласие рассчитанных коэф. Франка—Кондона с эксперим. колебательным распределением ионов  $\text{NO}(x^1\Sigma^+)$  достигается при следующих значениях параметров потенц. кривой преониционного состояния:  $v=3, R_e=1,26 \text{ \AA}$  (1048 Å);  $v=1, R_e=1,25 \text{ \AA}$  (1067 Å). Показано, что доминирующим процессом при фотоионизации NO излучением 1048 Å и 1067 Å является преониизация сверхвозбужденных состояний NO. Библ. 30.

Ю. В. Чижов

*№*

1976

16 Б129. Эффекты преионизации в фотоэлектронных спектрах: колебательное усиление в  $\text{NO}^+$ ,  $X^1\Sigma^+$ . Саргасе Г., Делвиче Дж., Наттис Р., Коллин Дж. E. Preionization effects in photoelectron spectra: vibrational enhancement of  $\text{NO}^+$ ,  $X^1\Sigma^+$ . «Chem. Phys.», 1976, 13, № 1, 43—49 (англ.)

Изучены спектры фотопионизации NO, возникающие при возбуждении NO резонансными линиями He-I, Ne-I и Ar-I. Показано, что распределение интенсивностей колебательных линий в  $X^1\Sigma^+$ -состоянии  $\text{NO}^+$ , полученное при использовании излучения He-I и Ne-I, полностью определяется факторами Франка—Кондона. При использовании излучения Ar-I с длинами волн 104,8 и 106,7 нм обнаружены разные распределения интенсивностей, существенно отличающиеся от соответствующих факторов Франка—Кондона. Аномалии в распределении интенсивностей объяснены эффектами преионизации через некоторые супервозбужденные состоя-

Х. 1976 N16

+1

*NO (фотопиониз.)*

ния, расположенные значительно выше границы непрерывного спектра для состояния  $X^1\Sigma^+$ . Проведены расчеты распределения интенсивностей с учетом факторов Франка—Кондона как для прямой фотоионизации, так и для преионизации, на основании к-рых показано, что главный вклад в распределение интенсивностей колебательных переходов дают преионизац. состояния.

Б. И. Жилинский



NO<sup>+</sup>

1976

Carrington A., et al.

Mol. Phys. 1976, 32,  
N1, 297-300.

(naphH.  
pyromall)



(c.u. H<sub>2</sub><sup>+</sup>) III

1976

 $\text{NO}^+$  $\text{NO}^-$ 

(перезарядка  
на инерт.  
газах)

5 Д271. К перезарядке NO на ионах инертных газов. Collin J. E. On the charge-transfer reaction between no and raregas ions. «Int. J. Mass Spectrom. and Ion Phys.», 1976, 21, № 3—4, 415—416 (англ.)

Обсуждаются эксперим. данные по перезарядке ионов инертных газов на ряде двухатомных молекул. Указывается, что приведенная ранее интерпретация эксперим. данных для NO не согласуется с известной информацией об энергетич. уровнях иона  $\text{NO}^+$ . Из приведенного анализа следует, что ионы  $\text{NO}^+ (X^1\Sigma^+)$ , образованные резонансной перезарядкой на ионах  $\text{Kr}^+$ , должны быть с очень большим колебательным возбуждением в противоречии с ожидаемой малой вероятностью перехода из-за чрезвычайно малой величины соответствующих факторов Франка—Кондона. Если заключение корректно, то из него следует вывод о нарушении приближения Борна—Оппенгеймера в процессах перезарядки.

Г. К.

97. 1977 № 5



*NO<sup>+</sup>*

1976

6 Д239. Исследование перезарядки  $\text{Ar}^+$  на  $\text{NO}$  методом молекулярных пучков. Негман З., Ракак В., Хенча А. Ж., Футрелл Дж. Crossed beam study of charge transfer of  $\text{Ar}^+$  with  $\text{NO}$ . «Chem. Phys. Lett.», 1976, 37, № 2, 329—334 (англ.)

*с образованием основного состояния*

Методом молекулярных пучков в интервале энергий вблизи 1 эв исследована реакция перезарядки при столкновениях ионов  $\text{Ar}^+ ({}^2P_{3/2}, {}^2P_{1/2})$  с молекулами  $\text{NO}$ . Анализ углового распределения ионов  $\text{NO}^+$  указал на возможность как прямого механизма перезарядки, так и механизма через образование промежуточного комплекса. Анализ кинетич. энергии продуктов указал на то, что перезарядка сопровождается квазирезонансным переходом  $\text{NO}({}^2\Pi) \rightarrow \text{NO}({}^3\Sigma^+)$ . Образование основного  $X^1\Sigma^+$ - и возбужденных  $b^3\Pi$ ,  $w^3\Delta$ -состояний иона  $\text{NO}^+$  считается маловероятным вследствие необходимости значительного изменения длины N—O-связи, которое не может осуществляться в промежуточном комплексе.

А. Зембеков

Ф 1976 № 6

61228.7380

Ph, TC

41195

1976

Not

X 4-16108

Miescher E., Alberti F.

Atlas of the absorption spectrum  
of nitric oxide (NO) between 1420  
and 1250 Å.

"J.Phys. and Chem.Ref.Data", 1976, 5, N 2,  
309-317 (англ.)

709 724

0779 пмк

ВИНИТИ

61217.8859

Ch, Ph, TC

35247

1976

NOT

X

43-15777

Miescher E.

High resolution absorption spectrum of  
nitric oxide (NO) in the region of the  
first ionization limit.

"Can. J. Phys.", 1976, 54, N 20, 2074-2092

(АНГЛ., РЕЗ. ФРАНЦ.)

0770 ник

738 741 762

ВИНИТИ

613.191.37/7  
Ch., Ph., TCh., MGU

40892

NO<sup>+</sup>

1976

X 45-15299

NG C<sub>2</sub>Y<sub>2</sub>, Mahan B. H., Lee Y.T.

Photoionization with molecular beams. I.  
Autoionization structure of nitric  
oxide near the threshold.

"J. Chem. Phys.", 1976, 65, N 5, 1956-1961  
(англ.)

706 720 742

0250-333?

ВИНИТИ

70211.7227  
Ch, Ph, TC

$\text{NO}^+$  40892

1976

X4-16668

Squires Larry, Baer Thomas.  
Cross sections for symmetric charge transfer reactions of Xe<sup>+</sup> and NO<sup>+</sup> in selected internal and translational energy states.

"J.Chem.Phys.", 1976, 65, N 10, 4001-4006

0811 РИЖ (англ.)

761 770

ВИНИТИ

70325.1767

Ch., TC, Gph, MGU

10<sup>+</sup> / 40892  
1977  
Ajello J.M., Rayermann P. A photoionization study of the formation of NO<sub>2</sub><sup>+</sup> by reaction of excited O<sub>2</sub><sup>+</sup> ions with NO.  
"J. Chem. Phys.", 1977, 66, N3, 1372-1374  
(англ.)

1977

13-17656

0839 8:18

8II 822 830

ВИНИТИ

NO+

Bozhenko R.V.,  
Charkin D.P.

1977

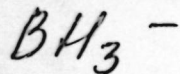
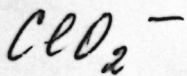
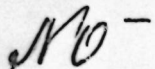
(кб. ссср. "Л.h. Strukt. Khim.",  
пачечн. 1977, 18(2), 219-34.  
т.)

Оиницк 6136

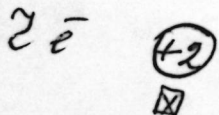
С.Н. 1977. 87. №4

(сср. БН) III

1974



88: 141972x Geometry changes on negative ion formation.  
Blustin, Peter H. (Dep. Chem., Univ. Sheffield, Sheffield,  
Engl.). *J. Chem. Soc., Chem. Commun.* 1977, (22), 797-8  
(Eng). Changes in bond length which accompany anion  
formation in small mols., e.g. NO, ClO<sub>2</sub>, BH<sub>3</sub>, were discussed in  
terms of a simple model.



C.A. 1974, 88, N20

Mo<sup>+</sup>

Ornstein 5948 1974

Brecher H.D., et al.

Si  
creek  
Braunschweig - Berlin, 21-24,  
June, 1974.

*NO<sup>+</sup>*

*1977*

*Mr. H.*

89: 171519t Perturbation of vibrational structure in the photoelectron spectra of small molecules. Collin, J. E.; Delwiche, J.; Natalis, P.; Caprace, G.; Praet, M. T. (Inst. Chim., Univ. Liege, Liege, Belg.). *Ext. Abstr. - Int. Conf. Vac. Ultraviolet Radiat. Phys.*, 5th 1977, 1, 139-41 (Eng). Edited by Castex, M. C.; Pouey, M.; Pouey, N. CNRS: Meudon, Fr. The nature i.e. discussed of perturbation effects produced in the UV (Net) photoelectron spectra of O<sub>2</sub> and NO as a result of electronic autoionization which occurs when the ionization radiation energy coincides with the energy of discrete mol. levels of the mol. For O<sub>2</sub>, vibrational enhancement of the X<sup>2</sup>I<sub>g</sub> ground ionic state occurs; the branching ratio increases, and the  $\alpha^4\Pi_u$  progression is obsd. only to  $v' = 5$  with a marked intensity drop in the  $v' = 4$  and 5 levels. For NO, the ground ionic NO<sup>+</sup> X' $\Sigma^+$  progression extends to  $v' = 32$  instead of  $v' = 6$  and shows 5 max.



*Q.A.1978, 89, VAC*

$NO^+$

paarzem  
senobuoro  
coemoco.

Darko T.

1977

"Chem. Phys. Lett."

1977, 45, N<sup>o</sup> 1, 188-190  
(alluvio)

(all  $NO_3^-$ , II)

$\text{Co}_3^{2-}$ ,  $\text{NO}_3^-$ ,  $\underline{\text{NO}_2^-}$ ,  $\text{SO}_4^{2-}$ ,  $\text{SO}_3^{2-}$ ,  
 $\text{SeO}_4^{2-}$ ,  $\text{SeO}_3^{2-}$ ,  $\text{TeO}_3^-$ ,  $\text{ClO}_4^-$ ,  $\text{ClO}_3^-$ ,  $\text{ClO}_2^-$ ,  $\text{BrO}_4^-$ ,  
 $\text{BrO}_3^-$ ,  $\text{JO}_4^-$ ,  $\text{JO}_3^-$ ,  $\text{CrO}_4^{2-}$ ,  $\text{MnO}_4^-$ ,  $\text{TcO}_4^-$ ,  $\text{ReO}_4^-$  ( $\text{D}^\circ$ )

Glidewell C. XI-5570a

Inorg. chim. acta, 1977, 24, N2, 149-157/austr,  
Bond energy terms in oxides and oxo-anions.

PSH-Niern, 1978

25782

M, 10 (P)

NO<sup>+</sup>

ann marcus 5471

1977

Huntress W.T., Jr.

Astrophys. J. Suppl. Ser.,  
1977, 33, (4), 495-514.

( $\Delta H^+, \gamma$ )

(cur.  $H^+, \bar{III}$ )

$N\bar{D}^+$

Kadota Kiyoshi 1977  
et al

образов.  
макрокр.  
ионов

"J. Phys. Soc. Jap."

1977, 42, N<sub>1</sub>, 250-254

(авт.)



(all  $N_2^+$ ; III)

NO+

Omnisearch 5569

1977

mol - mol.  
peachesas

$N^- + O_2$

$N_3^+ + O_2$

McCrum J. L.  
Wameck P.

J. Chem. Phys., 1977,

66 N 12, 5416-22

Product distributions

for the ion-molecule reactions

1977

11 Б127. О  $R_e$ -функции системы  $A-X\text{NO}^+$ . Мигу R. S. On the  $R_e$ -function of the  $A-X$  system of  $\text{NO}^+$ . «Phys. Lett.», 1977, A63, № 3, 405—406 (англ.)

Проведен расчет факторов Франка—Кондона и  $r$ -центроид для системы  $A^1\Pi(v'=0-5)-X^1\Sigma^+(v''=0-5)\text{NO}^+$ , основанный на результатах анализа электронно-колебательно-вращательного спектра измеренного с высоким разрешением Альберти и Дугласом. Значения  $r_{v''v'}$  и факторов Франка—Кондона равны:  $v''=0$ ,  $v'=0-5$  — 1,125, 1,111, 1,098, 1,086, 1,074, 1,062 Å, 0,025, 0,074, 0,123, 0,150, 0,151, 0,132;  $v''=1$ ,  $v'=0-5$  — 1,147, 1,132, 1,118, 1,105, 1,093, 1,081 Å, 0,106, 0,173, 0,132, 0,052, 0,005, 0,005;  $v''=2$ ,  $v'=0-5$  — 1,169, 1,154, 1,139, 1,125, 1,113, 1,100 Å, 0,208, 0,126, 0,007, 0,023, 0,075, 0,078;  $v''=3$ ,  $v'=0-5$  — 1,192, 1,176, 1,161, 1,146, 1,133, 1,120 Å, 0,251, 0,012, 0,055, 0,096, 0,033, 0,000;  $v''=4$ ,  $v'=0-5$  — 1,217, 1,199, 1,183, 1,168, 1,154, 1,140 Å, 0,207, 0,032, 0,15, 0,012, 0,025, 0,070;  $v''=5$ ,  $v'=0-5$  — 1,242, 1,224, 1,207, 1,191, 1,175, 1,161 Å, 0,124, 0,145, 0,030, 0,042, 0,078, 0,011.

В. М. Ковба

X. 1978  
n/11

*NO<sup>+</sup>*

1977

6 Д507. К вопросу об  $R_e$ -функции системы  $A-X$  иона  $\text{NO}^+$ . Murty P. S. On the  $R_e$ -function of the  $A-X$  system of  $\text{NO}$ . «Phys. Lett.», 1977, A63, № 3, 405—406 (англ.)

Проанализированы имеющиеся в настоящее время данные об  $R_e$ -ф-ции системы  $A-X$  иона  $\text{NO}^+$ , представляющего интерес с астрофизич. точки зрения. Отмечено несоответствие результатов различных авторов. С использованием наиболее точных значений спектр-скопич. постоянных состояний  $A^1\Pi$  и  $X^1\Sigma^+$  иона  $\text{NO}^+$  (Alberti F., Douglas A. E., «Can. J. Phys.», 1975, 53, 1179) рассчитаны коэф. Франка—Кондона и  $r$ -центроиды для полос  $v''=0 \div 5$ ,  $v'=0 \div 5$  системы  $A-X$ . При этом показано, что потенц. кривые состояний  $A$  и  $X$  в исследованной области межъядерных расстояний хорошо описываются ф-цией Морзе. Указана необходимость тщательного эксперим. исследования интенсивностей полос в системе  $A-X$ , анализ которых с использованием результатов настоящей работы позволил бы разрешить имеющиеся противоречия относительно зависимости момента перехода от межъядерного расстояния. Библ. 17.

В. С. Иванов

Ф. 1948, № 6

1977



88: 13964j On the  $R_e$ -function of the A-X system of the nitrosyl ion. Murty, P. S. (Indian Inst. Astrophys., Kodaikanal, India). *Phys. Lett. A* 1977, 63A(3), 405-6 (Eng). The band intensity factors, and  $r$ -centroids are reported, for bands of the A-X system of  $\text{NO}^+$ , a stable mol. ion of astrophys. and aeronomical interest. The need for further lab. band intensity measurements, is indicated, in order to resolve the existing ambiguity of the electronic transition moment  $R_e$  of the system.

$$(|R_e|^2)$$

C.A. 1977 22, v2

1977

NO<sup>+</sup>

23 Б139. Очень высокое колебательное возбуждение, вплоть до  $v'=32$ , состояния  $X^1\Sigma^+$  ионов NO<sup>+</sup>, наблюдавшееся с помощью фотоэлектронной спектроскопии при ультрафиолетовом облучении. Natalis P., Delwiche J., Colin J. E., Caprarese G., Raet M.-T. Very high vibrational excitation, up to  $v'=32$ , in NO<sup>+</sup>  $X^1\Sigma^+$  ions by UV irradiation, evidenced by photoelectron spectroscopy. «Chem. Phys. Lett.», 1977, 49, № 1, 177—179 (англ.)

При возбуждении излучением Ne-I измерен фотоэлектронный спектр (ФС) основного состояния  $X^1\Sigma^+$  иона NO<sup>+</sup>. ФС характеризуется очень длинной колебательной прогрессией с квантовыми числами  $v'$  от 0 до 32 и пятью основными максимумами в распределении интенсивности спектра. Из аппроксимации по методу наименьших квадратов зависимости наблюдаемых колебательных интервалов от колебательных квантовых

Ж. 1977 № 23

чисел  $v'$  в диапазоне от 0 до 26 для состояния  $X^1\Sigma^+$  получена положит. константа ангармоничности (0,71%), а также значения  $\omega_e$  и  $\omega_e \chi_e$ , составившие  $2380 \pm 170$  и  $17,0 \pm 1,2 \text{ см}^{-1}$ , соотв. Изученный ФС интерпретирован как результат суперпозиции 2-х процессов ионизации: а) прямая ионизация состояния  $X^1\Sigma^+$  ионов NO<sup>+</sup> в колебательные состояния с  $v'$  от 0 до 6 при прямых переходах Франка—Кондона, и б) автоионизация из сверхвозбужденного состояния, приводящая к основному состоянию NO<sup>+</sup> на колебательных уровнях с  $v'$  от 6 до 32. Отмечено, что сверхвозбужденным состоянием иона является, возможно, электронное состояние  $a^2\Sigma^-$  с неглубокой потенциальной кривой и большим равновесным межъядерным расстоянием  $\sim 1,4 \text{ \AA}$ . И. Тополь

ла

1977



12 Д313. Очень высокое колебательное возбуждение, до  $v'=32$ , иона  $\text{NO}^+(X^1\Sigma^+)$  при УФ-облучении, проявляющееся в фотоэлектронном спектре. Natalis P., Delwiche J., Colin J. E., Sargasse G., Pragel M.-T. Very-high vibrational excitation, up to  $v'=32$ ,

in  $\text{NO}^+X^1\Sigma^+$  ions by UV irradiation, evidenced by photo-electron spectroscopy. «Chem. Phys. Lett.», 1977, 49, № 1, 177–179 (англ.)

В фотоэлектронном спектре молекулы NO на линии Ne(I),  $\lambda=73,6$  нм, обнаружена чрезвычайно длинная колебательная прогрессия (от  $v=0$  до  $v=32$ ) в полосе, соответствующей переходу в основное состояние иона  $\text{NO}^+(X^1\Sigma^+)$ . Распределение интенсивности в этой полосе показывает наличие пяти максимумов. Наблюдаемый эффект приписан автономизации с уровня  $v=4$  состояния  $a^2\Sigma^-$  молекулы NO. Библ. 15. В. С. Иванов

9. 1977, N12

70113.3339

Ch, Gph, TC, MGU

$NO^+$  (продукт  
разложения  
 $N_2O^+$ )

1977

XU-1800Y

Orth Robert G., Dunbar Robert C.

Photodissociation of nitrous oxide cation.  
"J. Chem. Phys.", 1977, 66, N 4, 1616-1620

(англ.)

0855 ПМК

327 832

ВИНИТИ

0mm, 10504

1977

No +  
87: 44462c The 14-electron isoelectronic series. Some ab initio calculations on a series of related molecules. Summers, Neena L.; Tyrrell, James (Dep. Chem. Biochem., South. Illinois Univ., Carbondale, Ill.). *J. Am. Chem. Soc.* 1977, 99(12), 3960-5 (Eng). Ab initio calcns. on a no. of related 14-electron mols. were carried out using a 4-31 G basis set and

R.F. 11/18  
page 57

the equil. geometries and the electronic structure of the mols. in these geometries are presented. A primary purpose of this investigation was to detect patterns in the total energies, geometries, and ordering of the MO's for these related isoelectronic systems. Such patterns were obsd. and are discussed and where possible interpreted. In addn., the results of protonation are described and a preliminary result of the study of the potential energy surface for the protonation of NO<sup>+</sup> is given. The study also provides equil. geometries for a no. of previously uninvestigated mol. species which will hopefully be of assistance to experimentalists interested in detecting and identifying such species.

C. A. 1977. 87 n6

NO<sup>+</sup> обзор [omm. 5905] 1977  
(см. сборник в начале конференции)  
Sinner J.

(γ) Reactions of gas-phase ions studied by the charge transfer technique.

Lund, 1977, (Sweden)

IX-5506

1977

CH<sub>4</sub>, N<sub>2</sub>, O<sub>2</sub>, Ne, Ar, Kr, Si, Fe, H<sub>2</sub>,  
CO<sub>2</sub>, CO, N<sub>2</sub>O, NO, SO<sub>2</sub>, FeH  
(K<sub>P</sub>) C<sub>2</sub>H<sub>2</sub>, NO (concentrations).

Torrefilar s.p. OM. 24412

of ancient specimens. Radiat. Transfer.  
1977 14(4), 534-42.

Partition functions and equilibrium  
constants of some positive molecules  
C.A. 1977, 96, N24, 179857j 10125 NO.

No -

ommiee 5056 1977

..... 87: 58784w The nitric oxide monoanion  $^3\Sigma^-$  and  $^1\Delta$  resonances: theoretical analysis of electron scattering data. Teillet-Billy, D.; Fiquet-Fayard, F. (Lab. Collisions Electron., Univ. Paris Sud, Orsay, Fr.). *J. Phys. B* 1977, 10(4), L111-L117 (Eng). The model of G. Parlant and F. F. (1976) is used to analyze the data of M. Trone et al. (1975) for NO<sub>2</sub> vibrational excitation by electron impact and gives internuclear separis, 1.267 and 1.262 Å for the  $^3\Sigma^-$  and  $^1\Delta$  resonant states of NO<sub>2</sub>, resp. The term value difference is confirmed to be  $\approx 0.75$  eV. Autodetachment widths are calcd.

(u, n)

C.A. 1977, 87 n 8

NO<sup>-</sup>

отмечено 5056 1977

18 Б187.  $^3\Sigma^-$  и  $^1\Delta$  резонансы NO<sup>-</sup>: теоретический анализ данных электронного рассеяния. Teillet-Billy D., Fiquet-Fayard F. The NO<sup>-</sup>  $^3\Sigma^-$  and  $^1\Delta$  resonances: theoretical analysis of electron scattering data. «J. Phys. B: Atom. and Mol. Phys.», 1977, 10, № 4, L111—L117 (англ.)

Дан теор. анализ эксперим. данных Тронса и др. (см. РЖХим, 1975, 23Б172) по колебательному возбуждению NO<sup>-</sup> электронным ударом. С учетом резонансного взаимодействия  $^1\Delta$  и  $^3\Sigma^-$  состояний на основе модели Парланта и др. вычислены след. молек. постоянные NO<sup>-</sup>:  $R''_c(^3\Sigma^-) = 1,267 \text{ \AA} (+0,004, -0,025)$ ,  $R''_e(^1\Delta) = 1,262 \text{ \AA} (+0,008, -0,022)$  и  $T_c(^1\Delta) - T_e(^3\Sigma^-) = 0,75 \text{ эв}$ . При расчетах ширина резонанса принималась равной  $\Gamma(E) = CE^{1.5}(1+\alpha E)$ , где  $\alpha = +2.5 \text{ эв}^{-1}$ , а  $C = 0,07 \text{ эв}^{-0.5}$ .

А. М. Шаповалов

(M, n)

2. 1977 N 18

N.O. +

Tiedemann P. W. et al 1977

(D<sub>c</sub>)

"J. Chem Phys" 1977,  
66, N 9, 3985-3987 (auro)

(au (NO)<sub>2</sub>;  $\bar{v}$ )

Ed. Rocky Kestepes, 1977

NO -

O<sub>2</sub> -

NO<sub>2</sub> -

N<sub>2</sub>O -

CO<sub>3</sub> -

O<sub>3</sub> -

89: 66315a Thermodynamic properties of gas phase molecular ions. Wu, R. L. C.; Lifshitz, C.; Tiernan, T. O. (Dep. Chem., Wright State Univ., Dayton, Ohio). Argonne Natl. Lab., [Rep.] ANL 1977, ANL-77-21, Conf. High Temp. Sci. Open-Cycle, Coal-Fired MHD Syst. 49-53 (Eng). By using translational-energy thresholds for endoergic reactions which cause mol. anion formation, thermochem. properties (bond-dissocn. energies, heats of formation, and electron affinity) of gaseous mol. anions (NO<sup>-</sup>, O<sub>2</sub><sup>-</sup>, NO<sub>2</sub><sup>-</sup>, N<sub>2</sub>O<sup>-</sup>, CO<sub>3</sub><sup>-</sup>, O<sub>3</sub><sup>-</sup>, OH(H<sub>2</sub>O)) were calcd. The excitation functions for these reactions were obtained by using a tandem mass spectrometer. Three types of reactions were studied: charge transfer, particle transfer, and collision-induced dissociation.

OH(H<sub>2</sub>O)

(D<sub>0</sub>, A<sub>e</sub>)  
ΔH<sub>f</sub>

(#6)  
B  
~~(#7)~~ ΔH<sub>f</sub>

C.A. 1978, 89, N8

1979

*NO<sup>+</sup>*

б Д187. Кривые потенциальной энергии и энергия диссоциации молекулы NO<sup>+</sup>. Ramakrishna Rao T. V., Ramakrishna Reddy R. Potential energy curves and dissociation energy of the NO<sup>+</sup> molecule. «Physica», 1978, BC95, № 3, 412—417 (англ.)

Методом Ридберга — Клейна — Риса (в двух модификациях) с использованием литературных значений вращательных и колебательных констант вычислены ф-ции потенц. энергии для восьми электронных состояний иона NO<sup>+</sup> в области межъядерных расстояний 0,9—1,7 Å. Из сопоставления найденной эксперим. кривой с соответствующей пятипараметрической потенц. ф-цией Гульбурта — Гиршфельда оценена энергия диссоциации иона NO<sup>+</sup> в основном состоянии X'Σ<sup>+</sup>. Найденное значение 10,78 эв хорошо согласуется с данными других авторов. Определено значение потенциала ионизации NO (9,335 эв). О. В. Сизова

*Кривые  
диссоциации  
ионов NO<sup>+</sup>*

Ф. 1979 № 6

$\text{NO}^+$

December 7/51

1978

nomes  
K. Lubbock

Do, J

90: 92710r Potential energy curves and dissociation energy of the nitric oxide(-) ion molecule. Rao, T. V. Ramakrishna; Reddy, R. Ramakrishna (Dep. Phys., Post-Grad. Cent., Anantapur, India). *Physica B+C (Amsterdam)* 1978, 95(3), 412-17 (Eng). The potential energy curves of the  $X^1\Sigma^1$ ,  $a^3\Sigma^+$ ,  $b^3\Pi$ ,  $W^3\Delta$ ,  $b^3\Sigma^-$ ,  $A^1\Sigma^-$ ,  $W^1\Delta$ , and  $A^1\Pi$  states of the  $\text{NO}^+$  mol. were calcd. by the Lakshman and Rao method (1971) and the W. R. Jarman method (1960). The perturbations between the various states are explained from these studies. The dissociation energy for the ground state of the  $\text{NO}^+$  mol. was estd. by fitting the Hulbert-Hirschfelder function (1961) to the empirical potential energy curve. The estd. dissociation energy, 10.78 eV, agrees well with the value  $10.86 \pm 0.04$  eV suggested by A. G. Gaydon (1968). The ionization potential of the  $\text{NO}^+$  mol. is estd. to be 9.34 eV.

$$1eV = 8635,472 \text{ cm}^{-1}$$
$$\text{D}_0 = 10,78 \text{ eV} = 86345,9 \text{ cm}^{-1}$$
$$I_0 = 9,34 \text{ eV} = 75331,6 \text{ cm}^{-1}$$

C. & A. 1979. 90 N 12

$\text{NO}^+$

Omnidata 7239

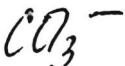
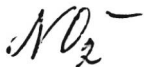
1978

envelope Smith D., et al.

J. Phys. B, Atom. and  
Mol. Phys., 1978, 11,  
(23),

4041 - 47

1978



44

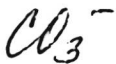
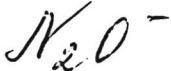
8 Б103. Термохимические данные для молекулярных отрицательных ионов из порогов диссоциации при столкновении. Tiernan Thomas O., Wu Richard L. C. Thermochemical data for molecular negative ions from collisional-dissociation thresholds. «Adv. Mass. Spectrom. Vol. 7A. Proc, 7th Int. Mass Spectrom. Conf., Florence, 1976». London, 1978, 136—142 Discuss, 142 (англ.)

С помощью tandemного масс-спектрометра исследованы ион-молек. р-ции типа  $\text{AB}^- + \text{X} \rightarrow \text{A}^- + \text{B} + \text{X}$  (1). Из зависимости сечения р-ции (1) от энергии сталкивающихся частиц найдены пороговые значения энергии, позволившие определить энергию отрыва  $\text{O}^-$  от иона  $\text{XO}_m^-$  и сродство к электрону молекул  $\text{XO}_m$  соотв. (эВ):  $\text{NO}^- 5,0 \pm 0,1$  и  $0,02 \pm 0,1$ ,  $\text{O}_2^- 4,1 \pm 0,1$  и  $0,44 \pm 0,1$ ,  $\text{NO}_2^- 4,0 \pm 0,1$  и  $2,4 \pm 0,1$ ,  $\text{N}_2\text{O}^- 0,43 \pm 0,1$  и  $0,22 \pm 0,1$ ,  $\text{CO}_3^- 2,0 \pm 0,1$  и  $3,1 \pm 0,2$ .

Б. В. Чепик

X. 1980. №8

1978



(do)

+4



C.A. 1978, 89, N12

89: 95914a Thermochemical data for molecular negative ions from collisional-dissociation thresholds. Tiernan, Thomas O.; Wu, Richard L. C. (Dep. Chem., Wright State Univ., Dayton, Ohio). *Adv. Mass Spectrom.* 1978, 7A, 136-42 (Eng). The ionic bond dissociation energies for  $\text{NO}^-$ ,  $\text{O}_2^-$ ,  $\text{NO}_2^-$ ,  $\text{N}_2\text{O}^-$ , and  $\text{CO}_3^-$  were evaluated from the data for the collisional-dissociation energy threshold. The electron affinities for the corresponding neutral mols. were calcd. The kinetic-energy thresholds were compared with the predictions of a statistical theory of the dissociation process; possible dissociation mechanisms are discussed.

*NO<sup>+</sup>*

отмтсн 8857

1979

4 Д148. Кривые потенциальной энергии для NO<sup>+</sup>.  
Potential energy curves for NO<sup>+</sup>. Albritton D. L.,  
Schmeltekopf A. L., Zare R. N. «J. Chem. Phys.»,  
1979, 71, № 8, 3271—3279 (англ.)

Методом Ридберга-Клейна-Риса построены кривые потенц. энергии для восьми низших электронных состояний NO<sup>+</sup>. В качестве исходных данных использованы колебат. энергии и вращательные постоянные, полученные из фотоэлектронных спектров высокого разрешения, опубликованных за последние годы. Для ряда более высоколежащих состояний вплоть до 24 эв сделаны менее точные оценки, основанные на результатах неэмпирич. расчетов и аналогиях с изоэлектронными молекулами N<sub>2</sub> и CO.

В. И. Барановский

*Кривые  
потенциал.  
исслед.*

*ф. 1980 № 4*

$\text{NO}^+$

статья 8857

1979

7 Б125. Кривые потенциальной энергии для  $\text{NO}^+$ .  
Albritton D. L., Schmeltekopf A. L., Zare R. N. Potential energy curves for  $\text{NO}^+$ . «J. Chem. Phys.», 1979, 71, № 8, 3271—3279 (англ.)

помечено.  
кривые  
( $E_i$ )

На основании новых результатов фотоэлектронной спектроскопии и эмпирич. расчетов в рамках модели Ридберга—Клейна—Риса исследованы потенциальные кривые электронных состояний иона  $\text{NO}^+$  с энергиями < 24 эВ. Потенциальные кривые первых восьми состояний (относительно основного состояния иона) построены с использованием молек. постоянных, определенных для этих состояний экспериментально. Потенциальные кривые вышележащих состояний строили на основании теор. расчетов и исходя из известных потенциальных кривых изоэлектронных аналогов  $\text{NO}^+$ . Для каждого из состояний приведены краткий обзор и анализ эксперим. и теор. информации, на основании которой построены потенциальные кривые. Библ. 69. И. А. Тополь

д. 1980 № 4

*No*

*Oppenheimer 8857*

*1949*

91: 219483x Potential energy curves for nitrosyl ion.  
Albritton, D. L.; Schmeltekopf, A. L.; Zare, R. N. (Environ.  
Res. Lab., NOAA, Boulder, CO 80303 USA). *J. Chem. Phys.*

1979, 71(8), 3271-9 (Eng). In recent years, high-resoln.  
photoelectron spectroscopy and ab initio calcns. have considerably  
revised and enlarged the understanding of the electronic  
structure of the NO<sup>+</sup> ion. Based on these results, new potential  
energy curves for the electronic states of NO<sup>+</sup> below 24 eV have  
been constructed and are given here. RKR potentials were calcd.  
from new mol. consta. for the 8 exptl. well-defined states. For  
the other states, the main features of the potentials were estd.  
from theor. calcns. and from isoelectronic analogies. A brief  
review is given of the information on which each potential curve  
is based.

*No refles.*

*gp-1545*

*C.A. 1979, 91, N26*

$\text{NO}^+$

1979

Eland Y.H.D.

success.

J. Chem. Phys., 1979, 70(6),  
2926 - 23.



(recs.  $\text{Z}_2^+$ ;  $\text{III}$ )

VO<sup>+</sup>

Lommel 8886

1979

Griffiths J. E., et al

Gauss  
script

VO Aufs

Spectrochim. Acta, 1979,  
A35, 1329-31.

*NO<sup>+</sup>*

*NO*

*Фотоэл. спектр*

(11) □

*2-1980. N4*

*данные 8132*

*1979*

4 Б109. Угловое распределение валентных фотоэлектронных спектров NO. Kibel M. H., Nyberg G. L. Angular distribution valence photoelectron spectra of nitric oxide. «J. Electron Spectrosc. and Relat. Phenom.», 1979, 17, № 1, 1—13 (англ.)

На спектрометре, использующем анализатор с задерживающим потенциалом, при различных углах измерены фотоэлектронные спектры NO с возбуждением источниками He-I (584A), Ne-I (736 и 744A), Ar-I (1048 и 1067A) и определены параметры асимметрии углового распределения фотоэлектронов ( $\beta$ ) для переходов на отдельные колебательные уровни электронных состояний  $X^1\Sigma^+$ ,  $a^3\Sigma^+$ ,  $b^3\Pi$ ,  $w^3\Delta$ ,  $A^1\Pi$ ,  $W^1\Delta$  иона NO<sup>+</sup>. При нахождении  $\beta$  учитывалась поправка на изотропное рассеяние электронов («J. Electron Spectrosc. Relat. Phenom.», 1979, 15, 281). Во всех случаях обнаружена сильная зависимость  $\beta$  от колебательного квантового числа  $v'$  конечного состояния. Для первой

полосы  $X^1\Sigma^+$  при возбуждении Ne-I и Ne-I относит. интенсивности колебательной структуры ( $v'=0-4$ ) хорошо согласуются с вычисленными франк-кондоновскими факторами (ФКФ) для прямой ионизации. Анализ лит. данных показал, что результаты, полученные с использованием анализаторов дисперсионного типа, хуже согласуются с ФКФ. При возбуждении Ar-I для полосы  $X^1\Sigma^+$  наблюдается колебательная структура вплоть до  $v'=9$ , а относит. интенсивности отличаются от ФКФ. Сделан вывод, что в этом случае (особенно при возбуждении с длиной волны 1048А) автоионизация вносит существенный вклад и становится определяющим механизмом при больших  $v'$ . Показано также наличие автоионизац. процесса для  $a^3\Sigma^+$  полосы при возбуждении Ne-I. Подробно обсуждается возможность интерпретации сильной зависимости  $\beta$  от  $v'$  для тех случаев, когда вкладом автоионизации можно пре-  
небречь.

М. Гофман

*NO<sup>+</sup>*

ommited 8752

10-10

*M, 11.*

92: 31605e Ionization energy values for the transitions nitric oxide(+1) ion,  $X^1\Sigma^+(v' = 0-34) \leftarrow$  nitric oxide,  $X^2\Pi(v'' = 0)$  and molecular constants of nitric oxide ground ionic state, determined by neon(Ne I) (73.6nm) photoelectron spectroscopy. Natalis, P.; Collin, J. E.; Delwiche, J.; Caprare, G.; Hubin, M. J. (Inst. Chim., Univ. Liege, B-4000 Liege, Belg.). *J. Electron Spectrosc. Relat. Phenom.* 1979, 17(6), 421-3 (Eng). High resoln. Ne(I) (73.6 nm) photoelectron spectroscopic measurements provide values of the ionization energies to the 1st 35 vibrational levels of  $\text{NO}^+$ ,  $X^1\Sigma^+$ . From these data mol. consts. were derived for the NO ground ionic state.

C.A.1980.92, NY

$\text{NO}^+$

отмеч 8752 1979

7 Б124. Значения энергий ионизации для переходов  $\text{NO}^+$ ,  $X^1\Sigma^+(v'=0-34) \leftarrow \text{NO}$ ,  $X^2\Pi(v''=0)$  и молекулярные константы окиси азота в основном ионном состоянии, определенные методом Ne(I) (73,6 нм) фотоэлектронной спектроскопии. Natalis P., Collin J. E., Delwiche J., Caprace G., Hubin M.-J. Ionization energy values for the transitions  $\text{NO}^+$ ,  $X^1\Sigma^+(v'=0-34) \leftarrow \text{NO}$ ,  $X^2\Pi(v''=0)$  and molecular constants of nitric oxide ground ionic state, determined by Ne(I) (73.6 nm) photoelectron spectroscopy. «J. Electron Spectr. and Relat. Phenom.», 1979, 17, № 6, 421—429 (англ.)

При использовании в качестве источника для возбуждения резонансной линии 73,6 нм Ne (I) разрешены члены фотоэлектронного спектра в области энергий 9—

X. 1980 N 7

17 эВ, обусловленные колебательным возбуждением  $\text{NO}^+$  ( $X^1\Sigma^+(v'=0-34)$ ) при фотовозбуждении  $\text{NO}$ ,  $X^2\Pi(v=0)$ . Точность определения энергий ионизации составляет  $\pm 0,003$  эВ ( $v'=0-27$ ) и  $\pm 0,01$  ( $v=28-34$ ), энергия ионизации при переходе на основной  $v'=0$  колебательный уровень  $\text{NO}^+$  составляет 9,264 эВ, на  $v'=34$  уровень — 16,80 эВ. Основная частота колебаний  $\text{NO}^+$ ,  $X^1\Sigma - \omega = 2370 \pm 16 \text{ см}^{-1}$ , константа ангармоничности  $\omega \cdot x = 16,6 \pm 0,6 \text{ см}^{-1}$ , рассчитанная энергия диссоциации 84 700, энергия диссоциации оценена в 83 600  $\text{см}^{-1}$ .

В. И. Лесин

NO<sup>+</sup>

1980

Yug K.

исслед.

химических. Theor. chim. acta, 1980,  
(8) 57 № 107'30

$NO^-$

(resonances)  
Korob, Ei

1980

King G.C. et al.

J. Phys.B: Atom. and  
Mol. Phys., 1980, 13, N21,  
4315-4323.



(see  $NO^-$ ; III).

*NO<sup>+</sup>*

1980

8 Б158. Колебательная структура  $\text{NO}^+X^1\Sigma^+$ , измеренная методом масс-спектрометрии с обменом зарядами. Tedder J. M., Vidaud P. H. The vibrational structure of  $\text{NO}^+(X^1\Sigma^+)$  from charge-exchange mass spectrometry. «Chem. Phys. Lett.», 1980, 76, № 2, 380—382 (англ.)

*Колебат.  
структур.*

оттиск 10657

Масс-спектрометрическим методом измерены сечения обмена зарядами для реакций типа  $X^+ + \text{NO} \rightarrow \text{NO}^+ + X$  в газовой фазе. Исследованы р-ции 33 ионов  $X$  с потенциалами ионизации, изменяющимися в пределах 9,12—10,87 эВ и кинетич. энергией 10 эВ с молекулами  $\text{NO}$ . Изучена зависимость абс. сечений обмена зарядами от энергии рекомбинации положит. ион-электрон. Отмечено, что полученная кривая сходна с измеренными ранее фотоэлектронными спектрами  $\text{NO}$ . Максимумы в области 9,26; 9,58; 9,82; 10,15 и 10,4 эВ отнесены к колебательным уровням  $v=0, 1, 2, 3$  и 4 соотв. иона  $\text{NO}^+$  в основном состоянии  $X^1\Sigma^+$ . Интенсивности пиков качественно согласуются с факторами Франка—Кондона, рассчитанными для  $\text{NO}^+$ . Заключено, что использование подходящих перв. ионов с точно известными потенциалами ионизации позволяет методом заряд-обменной масс-спектрометрии получать информацию о колебательной структуре втор. ионов.

Х. 1981/2/8

С. Б. Осин

*NO<sup>+</sup>*

OT TUCK 10651 1980

94: 90742m The vibrational structure of nitric oxide(1+) ion ( $X^1\Sigma^+$ ) from charge-exchange mass spectrometry. Tedder, J. M.; Vidaud, P. H. (Dep. Chem., Univ. St. Andrews, Fife, Engl. KY16 9ST). *Chem. Phys. Lett.* 1980, 76(2), 380-2 (Eng). Charge-exchange mass spectrometry was used to detect the 1st 5 vibrational levels of the electronic ground-state ion  $NO^+$  ( $X^1\Sigma^+$ ). The abs. charge-exchange cross sections between thermal NO gas and 33 pos. ions of 10 eV kinetic energy are given.

*Коллаж  
Уральск*

C.A.1981.94.112

$\text{NO}^+$

Омск 13.06 1981

4 Д642. Лазерная фотофрагментарная спектроскопия  $\text{NO}^+$ . Ч. I. Предиссоциация состояния  $2^3\Pi$ . Laser photofragment spectroscopy of  $\text{NO}^+$ . I. Predissociation of the  $2^3\Pi$  state. Cosby R. C., Helm H. «J. Chem. Phys.», 1981, 75, № 8, 3882—3893 (англ.)

Показано, что ионы  $\text{NO}^+$ , образующиеся при электронном ударе  $\text{NO}$ , под действием излучения перестраиваемого лазера (6600—5650 Å) предиссоциируют с образованием  $\text{O}^+(^4S^0)$  и  $\text{N}(^4S^0)$ . Спектральная зависимость эффективности образования  $\text{O}^+(^4S)$  сильно структурна. Идентифицированы переходы с трех колебательных уровней долгоживущего электронного состояния  $\text{NO}^+$  на 20 колебательных уровней предиссоциирующего состояния. Предположительное отнесение переходов есть  $2^3\Pi(v=0-19) \leftarrow b'^3\Sigma-(v''=8-10)$ . Слабосвязанное состояние  $2^3\Pi$  расположено на 0,698—0,925 эВ выше

предиссо-  
циации  
состояния  
 $2^3\Pi$ .

ф. 1982, 18, N4.

низшего диссоциационного предела для  $\text{NO}^+$  и адиабатически коррелирует с  $\text{N}^+(^3P) + \text{O}(^3P)$ . Преддиссоциационное время жизни для всех вращательных уровней состояний  $v'=0—8$  больше 1,6 нсек. Обсуждены также возмущения состояния  $b^{13}\Sigma$ ,  $v=9$ . Библ. 42. В. С. Иванов

NO<sup>+</sup>

Lomnicka 11506

1981

Laarzenzi B. J.

pacres  
(80)

J. Chem. Phys., 1981, 74(3)  
1840-51.

No<sup>t</sup>

[Commun 12805]

1981.

Linn S.H., et al.

(D)

J. Chem. Phys., 1981, 74  
(6), 3342 - 3347

$\text{NO}^+$

Lommel 12924

1981

Niwa Y., et al.,

A.P.

Int. J. Mass. Spectrom.  
and Ion. Phys., 1981, 40,  
287-93.

NO<sup>+</sup>

1981

Rao T. V., et al.

Ces. Rocce. Acta Chim. Acad  
M. N.

Sci Hung 1981, 108,  
(1), 25-30.

(ces. MgO; ii)

№<sup>+</sup>

Омник 18048 1981

Ramakrishna R.T.D.,  
et al.

сер. хол.,  
парасейров  
Лемнарда  
Дусонса.

Acta chim. Acad. Sci.  
hung., 1981, 108, N1, 25-30.

$\text{NO}^+$

1982

15 Д489. Спектры комбинационного рассеяния  $\text{NO}^+$ ,  $\text{NO}_3^-$  и  $\text{N}_2\text{O}_4$ , изолированных в матрице  $\text{Ne}$ . Raman spectroscopy on matrix-isolated  $\text{NO}^+$ ,  $\text{NO}_3^-$  and  $\text{N}_2\text{O}_4$  in  $\text{Ne}$ . Bolduan F., Jodl H. J. «Chem. Phys. Lett.», 1982, 85, № 3, 283—286 (англ.)

При 9 К с помощью  $\text{Ag}^+$ -лазера исследованы спектры комб. рас. в области 200—2000  $\text{cm}^{-1}$  тонких пленок (40 мкм), полученных осаждением смеси  $\text{Ne}$  и  $\text{NO}_2$  (конц-ия  $\text{NO}_2$  3—5 мол.%) на охлаждаемую подложку из полированной меди. В условиях, использованных при осаждении, газ  $\text{NO}_2$  содержит в основном мономерные молекулы, а доля димерных молекул  $\text{N}_2\text{O}_4$  невелика. Анализ спектров комб. рас. пленок показывает, что в процессе осаждения основная часть  $\text{NO}_2$  димеризуется, причем в спектрах отчетливо проявляется существование двух конформаций  $\text{N}_2\text{O}_4$ . Установлено, что отжиг пленок при 50 К приводит к существенному изменению

спектр

в

матрице

17

(42)

ф. 1982, 18, N5.

спектров комб. рас. и появлению новых линий. Эти новые линии отнесены к колебаниям ионов  $\text{NO}^+$  и  $\text{NO}^-$ , образующихся при диссоциации молекул  $\text{N}_2\text{O}_4$ . Отмечено, что при изоляции  $\text{NO}_2$  в низкотемпературных матрицах  $\text{Ar}$ ,  $\text{Kr}$  или  $\text{He}$  димеризация не происходит. Высказано предположение, что димеризация  $\text{NO}_2$  при осаждении, а также диссоциация молекул  $\text{N}_2\text{O}_4$  при стужке, могут быть объяснены при учете конкретной структуры и размеров межатомных полостей, возникающих в матрицах твердого  $\text{Ne}$ . Библ. 16. Э. М. Казакова

$\text{NO}^+$

1982.

$\text{NO}$

Ghodgaonkar A. C.,  
Ramani K.

Pacrem

Do;

Acta phys. pol., 1982,  
A61, N1-2, 151-154.

(c.u.  $\text{O}_2^+ ; \underline{\text{II}}$ )

$\text{NO}^+$

Оttиск 14223 1982

| 11 Д224. Исследование диссоциативной ионизации  
окиси азота электронным ударом. Диссоциативные ка-  
налы с образованием  $\text{NO}^+$  и  $\text{N}_2^+$ . A dissociative electro-  
ionization study of nitrous oxide. The  $\text{NO}^+$  and  $\text{N}_2^+$  dis-  
sociation channels. Olivier J. L., Locht R., Momi-  
gny J. «Chem. Phys.», 1982, 68, № 1—2, 201—211  
(англ.)

Жарин  
Полевченко

Методом электронного удара с анализом кинетич. энергии и масс-спектрометрич. анализом продуктов исследован распад молекул  $\text{N}_2\text{O}$  на ионы  $\text{NO}^+$  и  $\text{N}_2^+$ . Измерялись энергии появления обоих ионов как ф-ции кинетич. энергии продуктов. Найдено, что в обоих каналах распад происходит путем преддиссоциации различных электронных состояний иона  $\text{N}_2\text{O}^+$ , образующегося в результате электронного удара. В первом канале существует только один диссоциативный предел, соответствующий образованию  $\text{NO}^+$  и  $\text{N}$  в основных электронных состояниях, коррелирующих с  ${}^4\Sigma^-$ -состоянием ис-



оп. 1982, 18, N 11

ходного иона. Образующиеся  $\text{NO}^+$ -ионы находятся преимущественно в высоко возбужденных колебательных состояниях. В канале распада на  $\text{N}_2^+ + \text{O}$  наблюдается несколько диссоциативных пределов, и доминирующей в механизме распада является преддиссоциация возбужденных  $A^2\Sigma^+$ -,  $B^2\Pi$ -,  $C^2\Sigma^+$ -состояний  $\text{N}_2\text{O}^+$  и автоионизационных состояний  $\text{N}_2\text{O}$ . Для  $C^2\Sigma^+$ -состояния наблюдается два канала распада. При электронных энергиях  $> 21,2$  эВ дважды возбужденные электронные конфигурации  $\text{N}_2\text{O}^+$  играют важную роль в механизме распада.

А. А. Зембеков

NO<sup>+</sup>

(Omneek 1971) 1982

Singh P.D., et al.

J. Quart. Spectrosc.

декинор  
Дерякин  
Котегова.

Radiat Transfer

1982, 27(4), 471-479



(cu.OH<sup>+</sup>; II)

$\text{NO}^+$

dm.

15463  
15589

1982

ЗД475. Спектр иона  $\text{NO}^+$  в миллиметровом и субмиллиметровом диапазонах. Millimeter and submillimeter spectrum of  $\text{NO}^+$ . Bowman Wayne C., Herbst Eric, De Lucia Frank C. «J. Chem. Phys.», 1982, 77, № 8, 4261—4262 (англ.)

Получен микроволн. спектр иона  $\text{NO}^+$ , образованного в разряде через смесь  $\text{NO}$  с аргоном. Идентифицирована сверхтонкая структура линий вращательных переходов с  $J=1 \rightarrow 2$  и  $2 \rightarrow 3$  вблизи 238 и 357 ГГц, соответственно, основного электронно-колебательного состояния. Определены значения вращательной постоянной ( $B_0 = 59597,132$  МГц), центробежной постоянной ( $D_0 = -0,171$  МГц) и постоянной квадрупольной связи ядра азота ( $eqQ = -6,76$  МГц).

М. Р. Алиев

оп. 1983, 18, № 3

*NO<sup>+</sup>*

*Om. 15463  
15589*

*1982*

6 Б148. Миллиметровый и субмиллиметровый спектр  
*NO<sup>+</sup>. Millimeter and submillimeter spectrum of NO<sup>+</sup>.*  
*Bowman Wayne C., Herbst Eric, De Lucia*  
*Frank C. «J. Chem. Phys.», 1982, 77, № 8, 4261—*  
*4262 (англ.)*

Измерены чисто вращательные переходы  $I=1 \rightarrow 2$  и  $2 \rightarrow 3$   $\text{NO}^+$  в МВ и субмиллиметровой области. Ионы  $\text{NO}^+$  получали при пропускании смеси  $\text{NO}/\text{Ar}$  (в отношении 5 : 1) *робщ.* ~неск. мм) через высоковольтную проточную разрядную ячейку. Получены значения (в мГц) след. молек. параметров  $\text{NO}^+$ :  $B_0 = 59597,132$ ,  $D_L = 0,171$ ,  $\epsilon qQ = -6,76$ .  
B. M. Kovba

*M·n;*

*X. 1983, 19, 116*

$\text{NO}^+$

Ommenck 15463 1982  
Ommenck 15589

97: 190610x Millimeter and submillimeter spectrum of nitric oxide ( $\text{NO}^+$ ). Bowman, Wayne C.; Herbst, Eric; De Lucia, Frank C. (Dep. Phys., Duke Univ., Durham, NC 27706 USA). *J. Chem. Phys.* 1982, 77(8), 4261-2 (Eng). The pure rotational absorption spectrum of  $\text{NO}^+$  was obtained by mm and submm microwave spectroscopy. A tracing of the  $J = 1 \rightarrow 2$  transitions of  $\text{NO}^+$  at 235,381-238,386 MHz clearly shows the quadrupole structure due to the N nucleus. A surprisingly small Doppler shift of 20 kHz was measured. The spectral consts.  $B_0$ ,  $D_0$ , and  $egQ$  were obtained as 59,597.132(16), 0.171(1), and -6.76(10) MHz, resp.

48 crekmp

C.A. 1982, 97, w22

*NO<sup>+</sup>*

*1983*

З д87 ДЕП. Расчет факторов Франка—Кондона и колебательных энергий для некоторых электронных состояний иона NO<sup>+</sup>. Блинкова В. Г., Попова Т. Н.; Ред. ж. «Изв. вузов. Физ.». Томск, 1983. 22 с. Библиогр. З назв. (Рукопись деп. в ВИНИТИ 13 дек. 1983 г., № 6738—83 Деп.)

Рассчитаны колебательные энергии до предела диссоциации для восьми электронных состояний иона NO<sup>+</sup>:

$X^1\Sigma^+$ ,  $a^3\Sigma^+$ ,  $b^3\Pi$ ,  $W^3\Delta$ ,  $b^{13}\Sigma$ ,  $A^1\Sigma^-$ ,  $W^1\Delta$ ,  $A^1\Pi$  и факторы Франка—Кондона для переходов с этих уровней в основное состояние  $X^1\Sigma^+$ . Для описания электронных состояний использовались полуэмпирические трехпараметрич. ф-ции потенц. энергии, выбранные разработанным авторами методом. Расчет проводился на ЭВМ БЭСМ-4 по составленной авторами программе.

Автореферат

*Енергияность  
перехода*

*сб. 1984, 18, N3*

$\text{NO}^+$

1983

10 Д550. Измерение распределения по кинетическим энергиям фотофрагментов, образующихся при лазерной фотопредиссоциации ионов  $\text{N}_2\text{O}^+$ . Measurement of the fragment kinetic energy distribution in laser photopredisociation of  $\text{N}_2\text{O}^+$ . Lermé J., Abed S., Holt R. A., Larzilliére M., Sagge M. «Chem. Phys. Lett.», 1983, 96, № 4, 403—406 (англ.)

С использованием электростатич. энергоанализатора и установки, предназначенной для лазерной спектроскопии быстрых ионных пучков, получено распределение по кинетич. энергиям осколков  $\text{NO}^+$ , образующихся в процессе предиссоциации ионов  $\text{N}_2\text{O}^+$  ( $\tilde{A}$ ). Селективное возбуждение ионов  $\text{N}_2\text{O}^+$  ( $\tilde{A}$ ) в различные колебательно-вращательные состояния осуществляется с помощью  $\text{Kr}^+$ -лазера. Установлено, что преобладающее большинство фотофрагментов  $\text{NO}^+$  образуется в состоянии  $V=4$  при распаде первичного иона в состояниях  $\tilde{A}^2\Sigma^+(100)$  и  $\tilde{A}^2\Pi(b) (110)$ . Библ. 24.

М. Т.

90. 1983, 18, N10

$\text{NO}^+$

10m. 16190

1982

12 Б23. Неэмпирические расчеты вероятностей излучательных переходов в основном состоянии  $X^1\Sigma^+$  иона  $\text{NO}^+$ . Ab initio calculations of radiative transition probabilities in the  $X^1\Sigma^+$  ground state of the  $\text{NO}^+$  ion. Werner Hans-Joachim, Rosmus Pavel. «J. Mol. Spectrosc.», 1982, 96, № 2, 362—367 (англ.)

Многоконфигурационным методом ССП (МК ССП) рассчитана потенциальная кривая и дипольный момент основного состояния  $X^1\Sigma^+$  иона  $\text{NO}^+$  при 19 значениях межъядерного расстояния  $R$  от 1,2 до 10 ат. ед. Вычисл. значения спектроскопич. постоянных (в скобках эксперим. значения) составили:  $R_e = 1,061$  (1,063) Å,  $B_e = 2,005$  (1,997)  $\text{см}^{-1}$ ,  $\alpha_e = 0,018$  (0,0188)  $\text{см}^{-1}$ ,  $\omega_e = 2415$  (2376,7)  $\text{см}^{-1}$ ,  $\omega_{exe} = 16$  (16,25)  $\text{см}^{-1}$ ,  $D_0 = 10,17$  (10,85) эВ. С учетом рассчитанных потенциальной кривой и  $R$ -зависимости дипольного момента вычислены матричные элементы дипольных переходов между колебательными состояниями с  $\Delta v = 0, 1, 2, 3$  до  $v = 25$ .

М.Н.

Х. 1983, 19, N 12

Эти величины использованы далее для расчета коэф. Эйнштейна спонтанного излучения. Вычисл. значения радиац. времен жизни  $\text{NO}^+$  изменяются от 91 мс для  $v=1$  до 6,8 мс для  $v=25$ . В результате сопоставления теор. и эксперим. коэф. Эйнштейна  $A_v^{v+1}$  с учетом того, что точность вычисления теор. величин  $A_v^{v+1}$  составляет ~20%, сделан вывод о завышении эксперим. величин  $A_v^{v+1}$  для  $v=1, 2$ .

И. А. Тополь

п\_51  
 прим

$\text{NO}^+$

Om. 16190

1982

7 Д450. Расчеты ab initio вероятностей радиационных переходов в основном состоянии  $X^1\Sigma^+$  иона  $\text{NO}^+$ . Ab initio calculations of radiative transition probabilities in the  $X^1\Sigma^+$  ground state of the  $\text{NO}^+$  ion. Wegner Hans-Joachim, Rosmus Pavel. «J. Mol. Spectrosc.», 1982, 96, № 2, 362—367 (англ.)

Выполнены многоконфигурационные ССП расчеты волн. ф-ций и зависимостей потенц. энергии и дипольного момента от межъядерного расстояния для основного состояния иона  $\text{NO}^+$  и определены колебательные дипольные матричные элементы и коэф. Эйнштейна для спонтанных излучательных переходов с  $\Delta v=0-3$  и  $v'=0-25$ . Библ. 19.

А. В. Н.

9.1983, 18, N<sup>7</sup>

Not

1982

' 97: 63645n Observation of Rydberg( $C^2\Pi$ )-valence( $B^2\Pi$ ) interactions in nitric oxide by multiphoton photoelectron spectroscopy. White, Michael G.; Seaver, Mark; Chupka, William A.; Colson, Steven D. (Dep. Chem., Brookhaven Natl. Lab., Upton, NY 11973 USA). *Phys. Rev. Lett.* 1982, 49(1), 28-31 (Eng). Photoelectron spectra for the 3-photon resonant, 5-photon ionization of NO via the  $v'' = 0$  level of the  $C^2\Pi(3p\pi)$  Rydberg state show that  $\text{NO}^+$  ( $X^1\Sigma^+$ ) is formed primarily in  $v' = 0$  and  $v' \geq 3$ . The relative populations of the  $v' = 0$  to  $v' \geq 3$  levels are strongly dependent on the excited rotational level of the  $C$  state. These data are consistent with known perturbations between the nearly degenerate  $C^2\Pi, v'' = 0$  Rydberg and  $B^2\Pi, v = 7$  valence levels.

July 1982.

C. A. 1982, 97, 118.

$\text{NO}^+$

1983

102: 14190y Calculation of Franck-Condon factors and vibrational energies for some electron states of a nitrosyl ion. Blinkova, V. G.; Popova, T. N. (USSR). Deposited Doc. 1983, VINITI 6738-83, 23 pp. (Russ). Avail. VINITI. The vibrational energy levels up to dissocn. limit were calcd. for  $X^1\Sigma^+$ ,  $a^3\Sigma^+$ ,  $b^3\Pi$ ,  $W^3\Delta$ ,  $b^3\Sigma$ ,  $A^1\Sigma^-$ ,  $W^1\Delta$ , and  $A^1\Pi$  states of  $\text{NO}^+$ . The Franck-Condon factors were calcd. for transitions from 7 excited states to  $X^1\Sigma^+$ .

Фатморе  
Праска-Корегора

C. A. 1985, 102, N2.

1983

 $N^+ + O$ 

4 Б1150. Трансляционная спектроскопия фрагментов  $N^+$  и  $O^+$  столкновительно-индуцированной диссоциации ионов  $NO^+$  при 5 кэВ гелием. Translational spectroscopy of  $N^+$  and  $O^+$  fragments from 5 keV collision-induced dissociation of  $NO^+$  ions by helium. Comtet G., Fourgujet P. G. «Chem. Phys.», 1983, 81, № 1—2, 221—223 (англ.)

Представлены результаты эксперимента по исследованию распределения кинетич. энергии фрагментов  $N^+$  и  $O^+$ , возникающих при столкновительно-индуцированной диссоциации ионов  $NO^+$  с энергией 5 кэВ атомами гелия. Показано, что относит. кинетич. энергия  $O^+ + N$  распределена в диапазоне от 0 до 18 эВ и столкновительно-индуцированный переход до уровня состояния преддиссоциации имеет время от 40 до 140 ис. Энергия  $N^+ + O$  распределена в диапазоне от 0 до 11 эВ и включает в себя переходы к пяти преддиссоц. состояниям, три из к-рых с энергиями  $29 \pm 0,2$ ,  $34 \pm 0,3$ ,  $34,5 \pm 0,3$  эВ относятся к основному состоянию  $NO$ .

А. Т. Суходольский

X. 1984, 19, N 4

$\text{NO}^+$

1983

100: 42344d Molecular multiphoton-ionization-resonance-spectroscopy of nitric oxide. Mueller-Dethlefs, K.; Frey, R. (Inst. Phys. Chem., TU Muenchen, D-8046 Garching, Fed. Rep. Ger.). *Springer Ser. Opt. Sci.* 1983, 40(Laser Spectrosc. 6), 367-8 (Eng). The mol. multiphoton ionization resonance spectra of NO show 2 ionization thresholds from the  $X^2\Pi_{1/2}$  and  $^2\Pi_{3/2}$  states into the  $X^1\Sigma^+$  ( $v = 0$ ) state of the  $\text{NO}^+$  ion. The rotational structure in the spectra can partly be interpreted as rotational lines of the  $X$  state of  $\text{NO}^+$ . Addnl. lines from  $C^2\Pi$  ( $v = 2$ ) NO and autoionizing states are obsd. also.

(cneKmp)

C.A. 1984, 100, N 6

$\text{NO}^+$   
 $\text{NO}^{2+}$

1983

9 Б1071. Спектроскопия кинетических энергий  $\text{NO}^+$  и  $\text{NO}^{2+}$ . Translational-energy spectroscopy of  $\text{NO}^+$  and  $\text{NO}^{2+}$ . O'Keefe A., Illies A. J., Gilbert J. R., Powers M. T. «Chem. Phys.», 1983, 82, № 3, 471—478 (англ.)

С высоким разрешением  $\approx 0,1$  эВ измерены распределения кинетич. энергий ионов  $\text{NO}^+$  и  $\text{NO}^{2+}$ , имеющих первоначальную энергию 8 кэВ, после рассеяния на малый угол атомами Не. Ионы  $\text{NO}^+$  и  $\text{NO}^{2+}$  получали ионизацией  $\text{NO}$  электронным ударом при энергии 80—100 эВ. На основе лит. фотоэлектронных данных и результатов расчетов потенциальных кривых для различных состояний  $\text{NO}^+$  в измеренных спектрах кинетич. энергий  $\text{NO}^+$  идентифицированы линии, соотв.-щие возбуждению не только перехода из основного состояния  $X^1\Sigma^+ \rightarrow A^1\Pi$ , но и переходов между возбужденными тройными состояниями:  $b^3\Pi \leftrightarrow w^3\Delta$ ,  $b^3\Pi \leftrightarrow b'^3\Sigma^-$ ,  $a^3\Sigma^+ \leftrightarrow b'^3\Sigma^-$ . По оценке времена жизни последних составляют более 10 мкс. В спектрах ионов  $\text{NO}^{2+}$  обнаружены только два пика, отнесенные к возбуждению из основ-

9, спектр

(R)  
11

Х.1984, 19, № 9

$\text{NO}^{2+}$

ного состояния  $X^3\Sigma^+$  в состояния  $A^2\Pi$  и  $B^2\Sigma^+$ .  
О. А. Басченко

рон

$\text{NO}^+$   
 $\text{NO}_2^+$

1983

5 Д227. Исследования методом спектроскопии трансляционной энергии  $\text{NO}^+$  и  $\text{NO}_2^+$ . Translational-energy spectroscopy of  $\text{NO}^+$  and  $\text{NO}_2^+$ . O'Keefe Anthony, Illies Andreas J., Gilbert James R., Bowers Michael T. «Chem. Phys.», 1983, № 3, 471—478 (англ.)

Методом спектроскопии трансляционной энергии исследованы ионы  $\text{NO}^+$  и  $\text{NO}_2^+$ . В этом методе пучок селектированных по массе моноэнергетич. ионов испытывает столкновения с отклонением на малые углы с нейтральными частицами. Эти столкновения приводят к переходам между уровнями энергии иона или молекулы и, как следствие этого, к дискретным изменениям трансляционной энергии пучка ионов. При условии большой энергии пучка измеряемое изменение кинетич. энергии оказывается практически равным энергии индуцированного столкновением перехода в июне

оф. 1984, 18, № 5

(или в нейтральной частице). В измеренном спектре  $\text{NO}^+$  обнаружено 7 переходов, из которых один отнесен переходу  $X^1\Sigma^+ \rightarrow A^1\Pi$ , а остальные — переходам среди возбужденных триплетных состояний, имеющих достаточно большое время жизни. Спектр  $\text{NO}^{2+}$  свидетельствует о существовании двух связанных возбужденных электронных состояний  $B^2\Sigma^+$  и  $A^2\Pi$ .

А. А. Зембеков

$\text{NO}^+$

1983

Ramani K., Ghodgaonkar A. M.

M. N. J. Quant. Spectrosc. and  
Radiat. Transfer, 1983,  
29, N.Y., 379-380.  
(cur. CuH; III)

$\text{NO}^+$     Jommuck 16598/    1983

Ramani K, Bhodgaonkar  
A.M.,

M.N.,  
published

J. Chem. Phys., 1983,  
78, N5, 2374-2380.

$\text{NO}^+$

(Om. 16756)

1983

99: i2960v [The]  $r$ -centroids and Franck-Condon factors for the  $b'-X$  and  $b'-b$  band systems of the nitric oxide ( $\text{NO}^+$ ) molecule. Reddy, R. R.; Rao, T. V. R. (Coll. Eng., KSRM, Cuddapah, 516 001 India). *J. Quant. Spectrosc. Radiat. Transfer* 1983, 29(6), 563-4 (Eng). The  $r$ -centroids and Franck-Condon factors for bands of the  $b'-X$  and  $b'-b$  systems of  $\text{NO}^+$  were evaluated by using an approx. anal. method. The appearance of some of the bands is discussed in terms of Franck-Condon factors.

Pachnora  
P.L.

C.A. 1983, 89, N2

$\text{NO}^+$

1983

Om. 16756

12 Д63. Факторы Франка — Кондона и  $r$ -центроиды для систем полос  $b'—X$  и  $b'—b$  молекулы  $\text{NO}^+$ .  $r$ -Centro-  
roids and Franck-Condon factors for the  $b'—X$  and  
 $b'—b$  band systems of the  $\text{NO}^+$  molecule. Reddy R. R.,  
Rao T. V. R. «J. Quant. Spectrosc. and Radiat. Trans-  
fer», 1983, 29, № 6, 563—564 (англ.)

Аналитическим методом и методом квадратных ур-ний (Nicholls R. W. et al. 1956, A69, 253), рассчитаны  $r$ -центроиды и факторы Франка — Кондона для систем полос  $b'—X$  и  $b'—b$   $\text{NO}^+$ . Проведены качеств. оценки появления в спектре некоторых линий.

факторы

Франка — Кон-  
дона

ф. 1983, 18, N12

$\text{NO}^+$

1983

Rosmies P.

Bull. Soc. Chim. Belg., 1983,

Chekmp,  
Girod-  
maei

92, N 6-7: 16th Int. Symp.  
Free Radicals. La Louvière-

Ottignies, Sept. 12-16, 1983,

603-604.

(Cie. ArH<sup>+</sup>; III)

*NO<sup>+</sup>*

*1983*

6 Д672. ИК-хемилюминесценция колебательно-возбужденных ионов NO<sup>+</sup>. Выход продуктов в ионно-молекулярной реакции N<sup>+</sup>+O<sub>2</sub>. Infrared chemiluminescence from vibrationally excited NO<sup>+</sup>. Product branching in the N<sup>+</sup>+O<sub>2</sub> ion-molecule reaction. Smith Mark A., Bierbaum Veronica M., Leone Stephen R. «Chem. Phys. Lett.», 1983, 94, № 4, 398—403 (англ.)

Исследована ИК-хемилюминесценция в реакции N<sup>+(3P)</sup>+O<sub>2</sub>(X<sup>2Σ<sub>g</sub>-</sup>). Определены коэф. ветвления реакции и распределение продуктов по колебат. уровням. Для NO<sup>+(X<sup>3Σ<sub>g</sub>-</sup>, v=1—14) обнаружено бимодальное колебательное распределение, что указывает на возможность образования атомов O в нескольких электронных состояниях (O(<sup>3P</sup>), O(<sup>1D</sup>), O(<sup>1S</sup>)). Установлено, что в результате реакции переноса заряда образуются возбужденные атомы N(<sup>2D</sup>), которые вступают затем в реакцию с молекулами O<sub>2</sub> с образованием NO(X<sup>2Π</sup>, v=1—12). Библ. 27.</sup>

В. А. Е.

*97. 1983, 18, N6*

*стеклу*

№ 24

(№ 20234)

1984

Curtis J. M., Boyd R.K.

негативный  
процесс

J. Chem. Phys., 1984,  
81, (7), 2991 - 3001.

*NO<sup>+</sup>*

*On 20471 1984*

7 Б1170. Двуцветная фотоионизацияционная резонансная спектроскопия NO; полное разделение вращательных уровней NO<sup>+</sup> на пороге ионизации. Two-colour photoionization resonance spectroscopy of NO: complete separation of rotational levels of NO<sup>+</sup> at the ionization threshold. Müller-Dethlefs K., Sander M., Schlag E. W. «Chem. Phys. Lett.», 1984, 112, № 4, 291—294 (англ.)

При помощи двух импульсных лазеров с перестраиваемой частотой измерен спектр пороговых фотоэлектронов, образованных при резонансной четырехфотонной ионизации сверхзвукового пучка молекул NO. Регистрация спектра проводилась методом, разработанным авторами ранее (см. пред. реф.). Разрешение спектра составило  $\sim 0,15$  мэВ. Частота излучения одного из лазеров (с мощностью  $w = 1,5$  мДж) настроена на трехфотонное резонансное возбуждение перехода в промежуточное состояние NO  $C^2\Pi_r [v=0, T_y(1/2)] \leftarrow X^2\Pi_g [v=0, F_1(3/2)]$ , а частота другого ( $w = 50$  мкДж) ска-

*СЛЕМР*

*④ ⑧*

*X·1985, 19, N<sup>7</sup>*

*NO (w, n, v<sub>i</sub>)*

нировалась в диапазоне 22 335—22 375 см<sup>-1</sup>. В спектре идентифицированы хорошо разрешенные линии, соотв. переходам из состояния NO C<sup>2</sup>Π<sub>r</sub> на вращательные

уровни иона NO<sup>+</sup> <sup>1</sup>Σ<sup>+</sup> ( $v^+=0$ , J<sup>+</sup>=0, 1, 2, 3). С помощью полученных данных о низших вращательных уровнях NO<sup>+</sup> удалось непосредственно определить с высокой точностью потенциал ионизации молекулы NO: 74717,2±0,1 см<sup>-1</sup>.

О. А. Басченко

g  
(а.г.)

$\text{NO}^+$

1984

Müller-Dethlefs K.,  
Frey R., et al.

crekmp, Vae. Ul' violet Radiat.  
Ei; Phys., VUV VII. Proc. 7 Int.  
Conf., Jerusalem, Aug. 8-12  
1983. Vol. 6. Bristol; Jerusá  
lem, 1984, 449 - 457.  
(See. NO; III)

*NO<sup>+</sup>*

1984

7 Б1084. Кривые потенциальной энергии. Простой и быстрый метод построения. Potential energy curves: a simple and rapid method. Reddy R. R., Reddy A. S. R., Rao T. V. R. «J. Mol. Struct.», 1984, 110, № 3—4, Suppl.: «Theochem», 19, № 3—4, 321—325 (англ.).

Предложена модификация метода Ярмейна («Can. J. Phys.», 1960, 38, 217) для оценки классич. поворотных точек ( $r_{1,2}$ ) потенциальных кривых двухатомных молекул по спектроскопич. постоянным, согласно к-рому  $r_{1,2}(\text{прибл.}) = r_e [1 \pm x(2x+1)]$ , где  $x = f(\omega_e, \omega_{ex}, B_e, a_e, v)$ . Введены два параметра  $C_1$  и  $C_2$ , являющиеся ф-циями тех же спектроскопич. постоянных; при этом выражения для поворотных точек принимают вид  $r_{\max} = r(\text{прибл.}) + C_1(v+1/2)$ ,  $r_{\min} = r(\text{прибл.}) + C_2(v+1/2)$ . Приведены аналитич. выражения для  $x$ ,  $C_1$  и  $C_2$  и рассмотрены методы нахождения поправочных параметров  $C_1$  и  $C_2$ . Модификация метода проверена на потенциальных кривых молекул  $\text{NO}^+$ ,  $\text{VO}$ ,  $\text{Si}_2$ ,  $\text{AsO}$ ,  $\text{AsO}^+$ ,  $\text{PF}^+$ ,  $\text{CO}$  и  $\text{Bi}_2$  в основных электронных состояниях. Результаты хорошо согласуются с данными, полученными методами Ярмейна, РКРВ, Лакшмана и Рао.

В. М. Ковба

(7)

X·1985, 19, № 7

$\text{NO}^+$

1984

102: 51169u Potential energy curves: a simple and rapid method. Reddy, R. R.; Reddy, A. S. R.; Rao, T. V. R. (Dep. Phys., K.S.R.M. Coll. Eng., Cuddapah, 516001 India). THEOCHEM 1984, 19(3-4), 321-5 (Eng). The true potential energy curves for different electronic states of diat. molcs. are constructed by a simplified and modified form of the Jarman method. To check the validity of this new procedure, potential energy curves are constructed for  $\text{NO}^+$ ,  $\text{VO}$ ,  $\text{Si}_2$ ,  $\text{AsO}$ ,  $\text{AsO}^+$ ,  $\text{PF}^+$ ,  $\text{CO}$  and  $\text{Bi}_2$ . The results are in good agreement with the Jarman, RKR and Lakshman and Rao methods. (1971).

20梅赫. K. G.  
meop. pacem

$\text{VO}$ ,  $\text{Si}_2$ ,  $\text{AsO}$ ,  $\text{AsO}^+$ ,  $\text{PF}^+$ ,  
 $(+7) \text{Bi}_2$        $\text{CO}$ ,  $\text{Bi}_2$

C. A. 1985, 102, N6.

*NO<sup>+</sup>*

*1984*

19 Б1029. Неэмпирическое исследование состояний  $^3\Pi$  [иона] NO<sup>+</sup>. Ab initio investigation of the  $^3\Pi$  states of NO<sup>+</sup>. Saxon Roberta P., Tuan Deb-bie F.-t., Helm H., Liu B. «J. Chem. Phys.», 1984, 80, № 6, 2648—2653 (англ.)

Методом конфигурац. взаимодействия первого порядка (распределение только одного электрона во втор. пространстве MO) с использованием MO, оптимизированных в рамках многоконфигурац. метода ССП, рассчитаны кривые потенциальной энергии симметрии  $^3\Pi$  молек. иона NO<sup>+</sup>. Базис построен из слейтеровских АО *s*-, *p*- и *d*-типа. Особое внимание удалено 2-му состоянию данной симметрии, поскольку для него предшествующие результаты противоречивы. Найдено, что кривая  $2^3\Pi$  имеет минимум в дальнодействующей области и локальный минимум выше соотв-щего диссоциац. предела  $N^{+(^3P)} + O(^3P)$ . Данное квазисвязанное со-

*спектр,  
м.н., 81;*

*X. 1984, 19, N 19*

стояние является ответственным за наблюдаемые особенности фотоэлектронного спектра NO. Отмечена сложная картина потенциальных кривых состояний  $2^3\text{P}$ — $5^3\text{P}$  вследствие большого числа псевдопересечений; приведен анализ многоконфигурац. волновых ф-ций. Рассчитаны колебат. уровни энергии для связанных состояний.

А. В. Немухин

$\text{NO}^+$

1984

10 Д71. Неэмпирическое исследование  ${}^3\Pi$  состояний  $\text{NO}^+$ . Ab initio investigation of the  ${}^3\Pi$  states of  $\text{NO}^+$ . Saxon Roberta P., Tuap Debbie F.-t., Helm H., Liu B. «J. Chem. Phys.», 1984, 80, № 6, 2648—2653 (англ.)

Неэмпирически рассчитаны кривые потенц. энергии пяти нижних  ${}^3\Pi$  состояний иона  $\text{NO}^+$ . Расчеты проведены в первом порядке по конфигурац. взаимодействию на основе естественных орбиталей, полученных многоконфигурац. методом ССП. Результаты по двум нижним состояниям объясняют данные экспериментов по лазерной спектроскопии фотофрагментов и отдельные черты фотоэлектронного спектра NO. Состояние  ${}^2{}^3\Pi$  имеет два минимума потенц. энергии; один на больших межатомных расстояниях, который стабилен относительно распада на атомы, и второй, локальный минимум при  $R=1.2$  Å, глубиной 0.81 эВ, дающий квазистационарное состояние распадающееся на  $\text{N}^+({}^3P) + \text{O}({}^3P)$ . Это состояние, лежащее на 21,84 эВ выше основного состояния NO, ответственно за струк-

Э. М. П.

сб. 1984, 18, № 10

туру фотоэлектронного спектра NO, которая ранее интерпретировалась отнесением к  $c^3\Pi$ -состоянию. Полученные спектроскопич. параметры нижних трех состояний хорошо согласуются с литературными данными. Проводится сравнение с потенц. кривыми изоэлектронных молекул CO и N<sub>2</sub>. Отмечается сходство кривых двух нижних состояний NO<sup>+</sup>, CO и N<sub>2</sub>. Оно объясняется тем, что основной вклад в эти состояния дают при средних межатомных расстояниях одни и те же электронные конфигурации. А. А. Зембеков

*NO<sup>+</sup>*

*1985*

6 Б1216. Колебательная релаксация  $\text{NO}^+(v)$  молекулами  $\text{O}_2(^1\Delta_g)$ . Vibrational relaxation of  $\text{NO}^+(v)$  by  $\text{O}_2(^1\Delta_g)$  molecules. Dotan I., Barlow S. E., Ferguson E. E. «Chem. Phys. Lett.», 1985, 121, № 1—2, 38—40 (англ.)

Исследовано тушение колебательно-возбужденных ионов  $\text{NO}^+(v=1)$  молекулами  $\text{O}_2(^1\Delta_g)$ . Значение константы скорости тушения,  $K = (3 \pm 2) \cdot 10^{-10} \text{ см}^3 \cdot \text{с}^{-1}$ , значительно больше, чем в случае тушения  $\text{NO}^+(v)$  молекулами  $\text{O}_2$  в основном электронном состоянии ( $K < 10^{-12} \text{ см}^3 \cdot \text{с}^{-1}$ ). Как предполагается, это связано с тем, что потенциальная кривая  $\text{NO}^+(^1\Sigma) + \text{O}_2(^1\Delta)$ носит более отталкивающий характер, чем  $\text{NO}^+(^1\Sigma) + \text{O}_2(^3\Sigma)$ .

В. М. Ковба

~~NO<sup>+</sup>~~ O<sub>2</sub>



X. 1986, 19, N6.

$\text{NO}^+$

1985

Kaufmann K., Nager C,  
et al.

(Ei, w.r.) Chem. Phys., 1985, 95,  
N3, 385 - 390.

(e.u. NO;  $\ddot{\text{O}}$ )

$\text{NO}^+$

1985

Kimman J., Lovolleé M.,  
et al.

u. n.

J. Chem. Phys., 1985,  
97, N 1, 137 - 151.

( $\bullet$   $\text{NO}$ ;  $\text{III}$ )

$\text{NO}^+$

1985

102: 87027k Translational energy spectroscopy of nitrosyl ( $\text{NO}^+$ ) ions formed by charge transfer from argon(1+). O'Keefe, Anthony; Derai, Renee; Bowers, Michael T. (Dep. Chem., Univ. California, Santa Barbara, CA 93106 USA). *Chem. Phys. Lett.* 1985, 113(1), 93-8 (Eng). Translational energy spectroscopy (TES) of  $\text{NO}^+$  ions formed by  $\text{Ar}^+$  charge exchange was studied. The 2 features obsd. in the spectrum were assigned to transitions from the  $v'' = 0$  and possibly  $v'' = 1$  and 2 levels of the  $a^3\Sigma^+$  state to the low vibrational levels of the  $w^3\Delta$  and  $b^1\Sigma^-$  states. Comparison with previous TES spectra of  $\text{NO}^+$  formed by electron impact is reported and demonstrates the high selectivity of the charge transfer reaction in populating the 1st excited state of  $\text{NO}^+$ .

C.A. 1985, 102, N10

$\text{NO}^+$

1985

24 Б1208. Применение пороговой фотоэлектронной спектроскопии высокого разрешения к окиси азота и бензолу. High-resolution laser threshold photoelectron spectroscopy of nitric oxide and benzene. Müller-Dethlefs K., Sander M., Chewter L. A. «Laser Spectrosc. VII. Proc. 7th Int. Conf., Hawaii, June 24—28, 1985». Berlin e. a., 1985, 118—121 (англ.)

Предложенный авторами метод лазерной ФЭС сверхвысокого разрешения ( $\approx 2 \text{ см}^{-1}$ ), основанный на регистрации фотоэлектронов с нулевой кинетич. энергией и названный фотоионизац. резонансной спектроскопией (K. Müller—Dethlefs и др. «Z. Naturf.» 1984, 39a, 291), использован для изучения ТС спектров фотоионизации  $\text{NO}$  (I) и бензола (II). Разрешена вращат. структура переходов  $(\text{NO}^+), X^1\Sigma^+(v^+ = 0, I^+) \leftarrow (\text{NO}) C^2\Pi, [v=0, T_y(1/2), N=1]$  и переходов с терма  $S_1(v=1), I' = (1(2))$  II в основное состояние катион-радикала II.

В. И. Фаустов

X. 1986, 19, N 24

No<sup>+</sup> OM 23480/a" 1985

Sundholm D., Pygkko P.,  
et al.

meop.  
parcim. Mol. Phys.; 1985; 56,  
N 6, MN-1418.

$\text{NO}^{+2}$

1985

Samson J.A.R.,  
Masuoka T., et al.

J. Chem. Phys., 1985,  
83, N 11, 5531-5535.

(see  $\text{NO}^+$ ;  $\underline{\text{II}}$ )

*NO<sup>+</sup>*

1985

9 Б1121. Сечения диссоциативной и двухкратной фотоионизации NO от порога до 120 А. Dissociative and double photoionization cross sections of NO from threshold to 120 Å. Samson J. A. R., Masuoka T., Pareek P. N. «J. Chem. Phys.», 1985, 83, № 11, 5531—5535 (англ.). Место хранения ГПНТБ СССР

С возбуждением синхротронным излучением, резонансными линиями He-I, He-II, а также искровым разрядом в Ar исследованы относит. значения парциальных сечений  $\sigma$  образования ионов  $\text{NO}^+$ ,  $\text{O}^+$ ,  $\text{N}^+$  и  $\text{NO}^{2+}$  при фотоионизации молекул NO. Измерения проведены в обл. длин волн ионизирующего излучения от 12 до 61,4 нм. Полученные величины  $\sigma$  переведены в абр. шкалу с помощью лит. данных по фотопоглощению. Определен порог двухкратной фотоионизации NO  $39,4 \pm 0,12$  эВ. Обнаружено резкое увеличение выхода ионов, но не  $\text{O}^+$ , вблизи порогов переходов в состоянии  $\text{NO}^+ C^3\Pi$  (21,72 эВ) и  $B'^1\Sigma^+$  (22,73 эВ), что объяснено предиссоциацией последних на  $\text{N}^+ (^3P)$  и  $\text{O} (^3P)$ .

*III-11.*

(+)

*X.1987, 19, № 9*

О. А. Басченко

*NO<sup>+2</sup>*

$\text{NO}^+$

1985

102: 67678v The nonempirical calculation of second-order molecular properties by means of effective states. II. Effective TDCHF spectra for nitrosyl ion ( $\text{NO}^+$ ), carbon monoxide, carbon dioxide and acetylene. Visser, Foppe; Wormer, Paul E. S. (Inst. Theor. Chemistry, Univ. Nijmegen, Toernooiveld, 6525 ED Nijmegen, Neth.). *Chem. Phys.* 1985, 92(1), 129-40 (Eng). Time-dependent coupled Hartree-Fock (TDCHF) calcns. were performed in large bases for the linear mols.  $\text{NO}^+$ ,  $\text{CO}$ ,  $\text{CO}_2$  and  $\text{C}_2\text{H}_2$ . Some first- and second-order properties are presented, in particular the isotropic dispersion interaction coeffs.  $C_6^{000}$ ,  $C_8^{000}$  and  $C_{10}^{000}$  for all possible van der Waals dimers consisting of these monomers. These coeffs., and also the corresponding long-range anisotropic interaction coeffs., can be calcd. easily for any of these dimers using the effective TDCHF multipole spectra presented. Formulas to this end are given.

olefin  
racem

(3) ~~17~~



c.A.1985, 102, N8

$\text{NO}^{++}$

1986

105: 142658f Discovery of an emission in oxonitrogen(2+)  
( $\text{NO}^{++}$ ). Besnard, M. J.; Hellner, L.; Malinovich, Y.; Dujardin, G.  
(Lab. Photophys. Mol., Univ. Paris-Sud, 91405 Orsay, Fr.). *J. Chem.*  
*Phys.* 1986, 85(3), 1316-21 (Eng). Doubly charged  $\text{NO}^{2+}$  ions were  
produced by double photoionization of neutral NO mols. with the  
synchrotron radiation of variable energy of 35-68 eV. Two stable  
states of  $\text{NO}^{2+}$  were obsd. in the double photoionization spectrum  
with energies of 38.6 and 40.0 eV. An emission from  $\text{NO}^{2+}$  was  
discovered by using a new photoion-photon of fluorescence coincidence  
(PIFCO) expt. The fluorescence efficiency was measured as a  
function of the excitation energy, indicating that the emitting state,  
whose onset energy was obsd. at 42.5 eV, is a stable or slowly  
predissociating state of  $\text{NO}^{2+}$ . On the basis of the comparison with  
calcd. energies, the 3 stable states of  $\text{NO}^{2+}$  with energies at 38.6, 40.0,  
and 42.5 eV were assigned to, resp., the  $X^2\Sigma^+$ ,  $A^2\Pi$ , and  $B^2\Sigma^+$   
electronic states. The detected emission was ascribed to a  $B^2\Sigma^+ \rightarrow$   
 $X^2\Sigma^+$  emission around 3170 Å.

Chalk, M.  
 $X^2\Sigma^+$ ,  $A^2\Pi$ ,  
 $B^2\Sigma^+$   
 $(B^2\Sigma^+ - X^2\Sigma^+)$

C.A. 1986, 105, N 16

*NO<sup>2+</sup>*

*1986*

8 Б1036. Неэмпирическое исследование низколежащих состояний  $^2\Sigma^+$  и  $^2\Pi$   $\text{NO}^{2+}$ . Ab initio investigation of low-lying  $^2\Sigma^+$  and  $^2\Pi$  states of  $\text{NO}^{2+}$ . Cooper David L. «Chem. Phys. Lett.», 1986, 132, № 4—5, 377—382 (англ.)

Методом конфигурац. взаимодействия рассчитаны потенциальные кривые трех низших состояний  $^2\Sigma^+$  и трех низших состояний  $^2\Pi$  иона  $\text{NO}^{2+}$ . МО получены в расчете методом ССП в полном активном пространстве. Использован базис ф-ций слейтеровского типа, включавший 26, 14 и 6 ф-ций  $\sigma$ ,  $\pi$  и  $\delta$  типа соотв. на каждом центре. Все потенциальные кривые являются отталкивательными при больших межъядерных расстояниях. На потенциальных кривых состояний  $X^2\Sigma^+$ ,  $B^2\Sigma^+$ ,  $C^2\Sigma^+$ ,  $A^2\Pi$  и  $D^2\Pi$  имеются минимумы, отделенные от отталкиват. части кривой потенциальным барьером, лежащим выше диссоциац. предела (на 4,7 и 6,0 эВ для состояний  $X$  и  $A$ ). Для основного состояния высота барьера составила 3,3 эВ. Рассчитаны колебат. уровни квазисвязанных состояний и на их основе определены спектроскопич. постоянные.

А. А. Сафонов

*IV. 1987, 19, N 8*

*NO<sup>2+</sup>*

*1986*

4 Д104. Неэмпирическое изучение низколежащих состояний  $^2\Sigma$  и  $^2\Pi$   $\text{NO}^{2+}$ . Ab initio investigation of low-lying  $^2\Sigma^+$  and  $^2\Pi$  states of  $\text{NO}^{2+}$ . Cooper David L. «Chem. Phys. Lett.», 1986, 132, № 4—5, 377—382 (англ.)

Расчет состояний двухзарядных молекулярных ионов проводился с целью интерпретации эксперим. данных, полученных с помощью техники совпадений фотоион — фотоион. Получены кривые потенциальных энергий для состояний  $^2\Sigma^+$  ( $X^2\Sigma^+$ ,  $B^2\Sigma^+$ ,  $C^2\Sigma^+$  и  $^2\Pi(A^2\Pi$ ,  $D^2\Pi$ ,  $3^2\Pi)$   $\text{NO}^{2+}$  с помощью техники CAS SCF/Cl. Энергии рассчитывались более чем в 30 точках при межатомных расстояниях в интервале  $(1,6\text{---}40)a_0$ . Состояния  $^2\Sigma^+$  и состояния  $^2\Pi(A^2\Pi$  и  $^2\Pi)$  имеют минимумы. Напр., минимум состояния  $X^2\Sigma$  при  $1,11\text{\AA}$  лежит более чем на 3,3 эВ ниже максимума при  $1,7\text{\AA}$ . В этом минимуме обнаруживаются метастабильные колебательные уровни. Для первых 6 уровней  $\omega_e = 1957\text{ см}^{-1}$ ,  $\omega_ex = 21\text{ см}^{-1}$ .

Г. К.

*о. 1987, 18, № 4*

$\text{NO}^{2+}$

1986

Om. 25483

106: 90406w Ab initio investigation of low-lying  $^2\Sigma$  and  $^2\text{II}$  states of oxonitrogen(2+) ( $\text{NO}^{2+}$ ). Cooper, David L. (Dep. Inorg. Phys. Ind. Chem., Univ. Liverpool, Liverpool, UK L69 3BX). *Chem. Phys. Lett.* 1986, 132(4-5), 377-82 (Eng). Exploratory calcs. were carried out for the 3 lowest  $^2\Sigma^+$  and  $^2\text{II}$  states of  $\text{NO}^{2+}$  using full-valence MC SCF plus 1st-order CI techniques. Potential-energy curves are reported for more than 30 internuclear distances between 1.6 and 40  $a_0$ . These are discussed in terms of the extensive exptl. investigations of this ion, including the recent observation of an emission. Many of the adiabatic states are characterized by potential wells lying above their asymptotic limits, supporting several quasibound vibrational levels.

ab initio  
pacien  
Huzchuk  
JN COOMBE

C.A.1987, 106, N12

№<sup>дт</sup>

[Om. 24697]

1986

Matsuoka T.,

препеч-  
соглас.

J. Chem. Phys., 1986,  
84, N10, 5520 - 5526.

$NO^+$

(PM-24697)

1986

$NO^{2+}$

Masieoka T.,

Negriacco-  
Isleauque

J. Chem. Phys., 1986,  
84, N 10, 5520-5526

$\text{NO}^+$

1986

( $\tilde{\ell}$ )

104: 177185f. Radiative lifetimes and kinetic studies of metastable nitric oxide( $1+$ )( $a^3\Sigma^+$ ) and molecular oxygen( $1+$ )( $a^4\Pi_u$ ). O'Keefe, Anthony; McDonald, J. R. (Chem. Div., Nav. Res. Lab., Washington, DC 20375-5000 USA); *Chem. Phys.* 1986, 103(2-3), 425-36 (Eng). The lowest energy metastable electronic states of the NO and O cations were studied using Fourier transform mass spectrometry. Using very low neutral reactant pressures and ion trapping periods of up to several seconds, the radiative relaxation rate of the metastable ion becomes competitive with its reaction rate. In this fashion both kinetic information and the radiative lifetime of the metastable state are obtained. The measured rate consts. for the reactions of  $\text{NO}^+(a^3\Sigma^+)$  with  $\text{CO}_2$  [ $k = (1.0 \pm 0.2) \times 10^{-3} \text{ cm}^3/\text{s}$ ] and of  $\text{O}_2^+(a^4\Pi_u)$  with Ar [ $k = (4.9 \pm 1.5) \times 10^{-10} \text{ cm}^3/\text{s}$ ] are in agreement with earlier results. The measured lifetimes of the  $\text{NO}^+$  metastable ( $\tau = 1.45 \text{ s}$ ) and the  $\text{O}_2^+$  metastable ( $\tau = 0.22 \text{ s}$ ) are discussed using a 4-state spin-orbit coupling model which predicts metastable radiative lifetimes which agree with the exptl. values.

④

c.A. 1986, 104, N20



$\text{O}_2^+(\tilde{\ell})$

$\text{NO}^+$

1986

Ruščić Branco,

J. Chem. Phys., 1986,  
85, N<sup>o</sup> 7, 3776-3784.

(all  $\bullet$   $\text{N}_2^+;$   $\underline{\text{II}}$ )

*NO<sup>+</sup>*

1986

18 Б4443. Доказательство методом фотоэлектронной спектроскопии фотодиссоциации димера оксида азота в сверхзвуковой струе. Photoelectron spectroscopic evidence for photodissociation of the nitrogen oxide dimer in supersonic jet. Sato Kenji, Achiba Yohji, Kimura Katsumi. «Chem. Phys. Lett.», 1986, 126, № 3—4, 306—310 (англ.)

При помощи времяпролетного анализатора энергий свободных электронов (разрешение 0,15 эВ) измерены энергии фотоэлектронов, возникающих при фотоионизации (ФИ) светом 193; 199,8; 204,2; 208,8; 217,8; 223,1 и 228,7 нм димерных молекул  $(NO)_2$  в сверхзвуковой струе NO, истекающей в вакуум. Одновременно регистрировали масс-спектры продуктов ФИ  $(NO)_2$ , при помощи квадрупольного масс-спектрометра. В этих измерениях показано, что ФИ  $(NO)_2$  сопровождается образованием только ионов  $NO^+$ , оны  $(NO)_2^+$  не обна-

*X. 1986, 19, N 18.*

ружены. Механизм образования  $\text{NO}^+$  таков. Сначала  $(\text{NO})_2$  поглощает один фотон с образованием возбужденной молекулы  $\text{NO}(A^2 \Sigma^+)$ , к-рая ионизуется при поглощении еще одного фотона лазерного излучения. Порог образования  $\text{NO}^+$  из  $(\text{NO})_2$  лежит между 217,8 и 223,1 нм, что должно соответствовать порогу образования  $\text{NO}(A^2 \Sigma^+)$  при однофотонной фотодиссоциации  $(\text{NO})_2$ .

В. Е. Скурат

$\text{NO}^+$

CM. 24181

1986

| 105: 69482n Electron energy-loss studies of nitric oxide.  
Stubbs, Richard J.; York, Trevor A.; Comer, John (Dep. Phys.,  
Univ. Manchester, Manchester, UK M13 9PL). *Chem. Phys.* 1986,  
106(1), 161-70 (Eng). An electron spectrometer incorporating a  
position-sensitive detector and differential pumping was used to  
obtain electron energy-loss spectra of NO. Between 4 and 10.5 eV a  
study of the Rydberg states converging on the ground state of  $\text{NO}^+$   
and of the valence states, identified many previously obsd. transitions  
and a no. of new ones. A comprehensive survey was made of the  
higher Rydberg region between 10.5 and 19 eV. This identified for  
the 1st time a large no. of electron-dipole-forbidden transitions to  
Rydberg states converging on the higher levels of  $\text{NO}^+$ .

(Puglisi - COCM.)

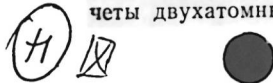
c.a.1986; 105, N8

$\text{NO}^+$

1986

§ 5 Д123. Ядерный квадрупольный момент азота, определенный из сочетания полностью численных и использующих большой базис расчетов  $\text{NO}^+$  и  $\text{N}_2$ . Nuclear quadrupole moment of nitrogen from combined fully numerical and discrete basis-set calculations on  $\text{NO}^+$  and  $\text{N}_2$ . Sundholm Dage, Pyykkö Pekka, Laaksonen Leif, Sadlej Andrzej J. «Chem. Phys.», 1986, 101, № 2, 219—225 (англ.)

Предложенный авторами ранее метод определения квадрупольных моментов ядер на основе использования как чисто численных, так и метода ЛКАО с большим базисным набором, использован для определения квадрупольного момента ядра азота. С этой целью проведены достаточно точные численные и аналитич. расчеты двухатомных молекул  $\text{NO}^+$  и  $\text{N}_2$ . Е. О. Воронков



cb. 1986, 18, N 5

NO<sup>+</sup> Om. 23029 1986

neopen-  
nacem Sundholm Ø., Pyykkö P.;  
Laaksonen L., et al;

Chem. Phys., 1986,  
101, N2, 219-225.

*No dt*

*1986*

8 Б1030. Теоретическое и экспериментальное исследование двузарядного катиона оксида азота. A theoretical and experimental investigation of the dication of nitric oxide. Wetmore R. W., Boyd R. K. «J. Phys. Chem.», 1986, 90, № 23, 6091—6101 (англ.)

В области межъядерных расстояний от 1 до 5 Å рассчитаны потенциальные кривые дублетных и квартетных состояний симметрии  $\Sigma^+$ ,  $\Sigma^-$ ,  $\Pi$ ,  $\Delta$ ,  $\Phi$  двузарядного катиона  $\text{NO}^{2+}$ . Волновые ф-ции построены в приближении конфигурац. взаимодействия с использованием базисов  $(9s5p2d)/[3s2p1d]$ . Найдено, что из всех рассчитанных 66 состояний только два — низшие состояния  ${}^2\Sigma^+$  и  ${}^2\Pi$  — являются квазисвязанными. Для них рассчитаны колебат. уровни энергии и времена жизни. Приведены также нек-рые новые результаты эксперим. исследований, включающих данные по процессам ионизации электронным ударом, оже-спектроскопии, спектроскопии двойной перезарядки, спектроскопии потерь поступат. энергии и др. Отмечены обл. взаимного дополнения теорет. и эксперим. исследований.

*М.Н.*

*X. 1987, 19, N 8*

*NO<sup>d+</sup>*

*1987*

74 Л509. Оптический эмиссионный спектр дикатиона  $\text{NO}^{2+}$ . Optical emission spectrum of the  $\text{NO}^{2+}$  dication. Cossart D., Bonneau M., Robbe J. M. «J. Mol. Spectrosc.», 1987, 125, № 2, 413—427 (англ.)

Обсуждены теоретич. работы, предсказывающие возможность наблюдения спектра флуоресценции двухзарядного катиона  $\text{NO}^{2+}$ . Описаны эксперименты с электрич. разрядом в чистом NO при низких давлениях в кювете с горячим катодом и ограничением пространства разряда магн. полем. В спектре разряда выделена полоса флуоресценции при 256,3 нм. Ее анализ позволяет приписать обнаруженную полосу переходу  $B^2\Sigma^+ - X^2\Sigma^+$  (0, 0) двухзарядного иона  $\text{NO}^{2+}$ .

Е. П. Смирнов

*оф. 1988, 18, NЧ*

$\text{NO}^{2+}$

1987

№ 7 Б1229. Оптический спектр испускания двухзарядного катиона  $\text{NO}^{2+}$ . Optical emission spectrum of the  $\text{NO}^{2+}$  dication. Cossart D., Bonneau M., Robbe J. M. «J. Mol. Spectrosc.», 1987, 125, № 2, 413—427 (англ.)

Проведено эксперим. и теор. исследование двухзарядного катиона  $\text{NO}^{2+}$ . Измерены спектры испускания разряда низкого давл. через чистую моноокись азота в источнике с гор. катодом и магн. ловушкой. Дано описание источника. В спектре наблюдалась новая полоса в обл. 256,3 нм 0—0 перехода  $B^2\Sigma^+ - X^2\Sigma^+$   $\text{NO}^{2+}$ . Выполнен анализ вращат. структуры полосы и получены след. молек. постоянные (в  $\text{см}^{-1}$ ):  $v_0 = 38995,06$ ,  $B_0 = 1,879$ ,  $B'_0 = 1,892$ ,  $D'_0 = 6,9 \cdot 10^{-6}$ ,  $D''_0 = 6,3 \cdot 10^{-6}$ ,  $R'_0 = 1,0963 \text{ \AA}$ ,  $R''_0 = 1,0926 \text{ \AA}$ . Выполнен неэмпирич. расчет участков потенциальных кривых катиона в состояниях  $X^2\Sigma^+$ ,  $A^2\Pi_i$ ,  $B^2\Sigma^+$ ,  $C^2\Sigma^+$ . Значе-

оптический  
спектр  
испускания

Х. 1988, 19, № 7

ния  $T_e$  (в  $\text{см}^{-1}$ ) и  $R_e$  (в Å) равны соотв. 0,11000; 42 000; 75 000 и 1,11; 1,22; 1,22; 1,24. Для состояния  $A^2\Pi$  рассчитан параметр спин-орбитального расщепления  $A = -126 \text{ см}^{-1}$ . Результаты сопоставлены с данными выполненных ранее неэмпирич. и полуэмпирич. расчетов катиона и молек. постоянными изоэлектронных двухатомных систем ( $\text{BeF}$ ,  $\text{BO}$ ,  $\text{CO}^+$ ,  $\text{CN}$ ,  $\text{N}_2^+$ ).

В. М. Ковба

$\text{NO}^{2+}$

1987

107: 208004q Optical emission spectrum of the nitric oxide dication. Cossart, D.; Bonneau, M.; Robbe, J. M. (Lab. Photophys. Mol., Univ. Paris-Sud, 91405 Orsay, Fr.). *J. Mol Spectrosc.* 1987, 125(2), 413-27 (Eng). A new emission band at 2563 Å obtained from a low-pressure, hot cathode and magnetically confined elec. discharge through pure NO vapor was recorded and rotationally analyzed. The available exptl. data from photoion-fluorescence, photon coincidence and translational energy loss spectroscopy, in conjunction with ab initio calcn., allowed assignment of the new band to the  $\text{B}^2\Sigma^+-\text{X}^2\Sigma^+$  (0, 0) transition of  $\text{NO}^{2+}$ .

$(\beta^2\Sigma^+ - \chi^2\Sigma^+)$

C.A. 1987, 107, N 22

$\text{NO}^+$

1987

Cummings P. L.,  
Baeskay G.B., et al.

et al.

J. Chem. Phys., 1987,

86, N 12, 6908-6917.

(see  $\bullet$   $\text{N}_2$ ;  $\text{--}^{III}$ )

NO<sup>dt</sup>

Om. 27141

1987

107: 141498h Comment on "Ab initio investigation of low-  
 ${}^1\Sigma^+$  and  ${}^3\Pi$  states of oxonitrogen(2+)(NO<sup>2+</sup>)". Fournier,  
March, R. E. (Univ. Paris-Sud, 91405 Orsay, Fr.). *Chem. Lett.* 1987,  
137(6), 596-8 (Eng). A polemic. Energies of the  ${}^1\Sigma^+$  states of the NO<sup>2+</sup> were detd. exptl. by the technique of charge transfer, and are compared with previous results (Cooper, *ibid.*, 1986, 377) of full-valence MC SCF plus first-order techniques. The good agreement obtained permits an assignment of some of the peaks in the exptl. spectrum, and confirms the accuracy of these calcns.

Heppell boy.  
COOPER.

C.A. 1987, 107, n 16

*NO<sup>2+</sup>*

*1987*

17 Б1141. Квазисвязанные возбужденные состояния в двухзарядных двухатомных ионах. Случай NO<sup>2+</sup>. Quasibound excited states in doubly charged diatomic ions: NO<sup>2+</sup> case. Hellner L., Besnard M. J., Duja-din G., Aarts J. «15th Int. Conf. Phys. Electron. and Atom. Collis., Brighton, 1987». Belfast, 1987, 57 (англ.)

На разработанной авторами установке («J. Chem. Phys.», 1986, 85, 1316), реализующей метод фотоион-фотоионных совпадений, идентифицированы переходы в двухзарядных ионах  $\text{N}_2^{2+}$  ( $D^1\Sigma_u^+ \rightarrow X^1\Sigma_g^+$ ) и  $\text{NO}^{2+}$  ( $B^2\Sigma^+ \rightarrow X^2\Sigma^+$ ,  $A^2\Pi \rightarrow X^2\Sigma^+$ ), возбуждаемые в молекуле перестраиваемым синхротронным излучением с энергией 35—70 эВ. Переход  $A^2\Pi \rightarrow X^2\Sigma^+$  NO<sup>2+</sup> (610—900 нм) наблюдался впервые. Пороговая энергия его возбуждения составляет  $40 \pm 0,4$  эВ, энергия состояния  $A^2\Pi$  относительно основного электронного состояния  $X^2\Sigma^+ = 1,4 \pm 0,5$  эВ.

Б. М. Ковба

*Х. 1988, 19, N 17*

$\text{NO}^{2+}$

(O.M. 27938)

1987

Jonathan P., Herman Z.,  
et al.,

MARVEL  
KEMPSON  
COOMBE

Chem. Phys. Lett.,  
1987, 141, N6, 511-514.

$\text{NO}^+$

1987

Maelagan R.G.A.R.,  
Simpson R.W.

et al.

Int. J. Quantum Chem.  
1987, 31, N3, 463-470.

(crys.  $\text{N}_2$ ; II).

*NO<sup>+</sup>*

*1987*

9 Б4340. Переходы возбужденных состояний, приводящие к образованию осколочных ионов N<sup>+</sup> при фотовозбуждении ионов NO<sup>+</sup>. Excited-state transitions giving rise to N<sup>+</sup> fragment ions when NO<sup>+</sup> ions are photoexcited. Moghaddam H. R., Hamdan M., Harris F. M., Beupon J. H. «J. Phys. B: Atom. and Mol. Phys.», 1987, 20, № 17, 4485—4491 (англ.)

Изучены спектры поступат. энергий ионов N<sup>+</sup>, возникающих при фотофрагментации (ФФ) под действием света 514,5 или 476,5 нм лазера на ионах Ar<sup>+</sup> выделенных по массе ионов NO<sup>+</sup>, полученных при электронной бомбардировке NO<sub>2</sub> или NO. Показано, что ФФ NO<sup>+</sup> происходит на N<sup>+</sup>(<sup>3</sup>P) + O(<sup>3</sup>P). Полученные спектры показывают, что ФФ обусловлена поглощением света более чем одним долгоживущим (время жизни  $\geq 3,5$  мкс) электронновозбужденным состоянием NO<sup>+</sup> с энергиями в обл. 18,9—20,2 эВ. В предположении одинофотонного поглощения света дано предположит.

*X. 1988, 19, N 9*

отождествление возможных электронных переходов, ответственных за ФФ  $\text{NO}^+$  и дающих максимумы в спектрах, указанные в скобках:  $b^3\Sigma^-$ ,  $w^3\Delta \rightarrow c^3\Pi$  (0,9 эВ);  $W^1\Delta$ ,  $A^1\Sigma^- \rightarrow 2^1\Pi$  (1,3 эВ);  $W^1\Delta$ ,  $A^1\Sigma^- \rightarrow 2^1\Pi$  (1,5 эВ);  $W^1\Delta$ ,  $A^1\Sigma^- \rightarrow 2^1\Pi$  (1,7 эВ);  $b^3\Sigma^- \rightarrow 2^3\Pi$  (0,2 эВ).  
B. E. Скурат

А. Б.

NO<sup>+</sup>

(OM. 27881) 29083) 1987

Peterson K.A., Woods R.L.,

neop.  
pacrem

J. Chem. Phys., 1987,  
87, N 8, 4409 - 4418

*NO<sup>+</sup>*

*1987*

8 Л336. Исследование окиси азота методом спектроскопии высокого разрешения фотоэлектронов с нулевой кинетической энергией. High-resolution zero-kinetic-energy photoelectron spectroscopy of nitric oxide. Sander M., Chewter L. A., Müller-Dethlefs K., Schlag E. W. «Phys. Rev. A: Gen. Phys.», 1987, 36, № 9, 4543—4546 (англ.)

Метод фотоэлектронной спектроскопии пороговых электронов применен для исследования динамики процесса фотонионизации, отвечающего поглощению в полосе  $(\text{NO}^+) X^1\Sigma^+ (v^+ = 0, N^+) \leftarrow (\text{NO}) A^2\Sigma^+ (v = 0, N_A, J_A = N + \frac{1}{2})$ . Впервые реализован метод измерения близ-

*M.N.*

*(7) NO*



*φ. 1988, 18, N 8*

ких к нулю кинетич. энергий фотоэлектронов, свободный от наложения выталкивающего электрич. поля в области ионизации. Совместно с охлаждением молекул NO в сверхзвуковой струе это позволило достигнуть энергетич. разрешения  $\sim 0,5$  мэВ ( $\sim 4$  см $^{-1}$ ). Для возбуждения использовались два перестраиваемых лазера на красителях. По эксперим. данным определен 1-й потенциал ионизации NO:  $74719 \pm 0,5$  см $^{-1}$ . Анализ зависимости формы спектра от квантовых чисел промежуточного возбужденного состояния  $A^2\Sigma^+$  позволил авторам сделать вывод о сильной зависимости углового момента перехода от величины  $N_A$ .

М. Т.

$NO^+$

lom. 26576

1987

Sears T. J.,

Библиогр.  
История  
исследов.

J. Chem. Soc. Faraday  
Trans, 1987, Pt 2, 83,  
N1, 111-126.

$\text{NO}^{\alpha+}$

(On 31925)

1988

Bessard M. G., Hel-  
mer L., et al.,

$(\pi\pi - \chi\Sigma^+)$  J. Chem. Phys. 1988,  
89 (10), 6554-5.

C.A. 1988, 109, N 26, 0239844

*NO<sup>2+</sup>*

*от 31.9.25*

*1988*

13 Б1127. Наблюдение испускания  $A^2\Pi \rightarrow X^2\Sigma^+$  в  $\text{NO}^{2+}$ . Observation of the  $A^2\Pi \rightarrow X^2\Sigma^+$  emission in  $\text{NO}^{2+}$ . / Besnard M. J., Hellner L., Dujardin G. // J. Chem. Phys.— 1988.— 89, № 10.— С. 6554—6555.— Англ.

Методом фотоион-фотонных совпадений исследован переход  $A^2\Pi \rightarrow X^2\Sigma^+$  в спектре испускания иона  $\text{NO}^{2+}$ . Линейная экстраполяция отношения числа совпадений к числу зарегистрированных ионов как функция энергии фотонов дает оценку вертикальной энергии возбуждения,  $40,4 \pm 2,0$  эВ. Это хорошо согласуется с ожидаемой энергией возбуждения для появления испускания  $A^2\Pi \rightarrow X^2\Sigma^+$  и доказывает, что заселение состояния  $A^2\Pi$   $\text{NO}^{2+}$  происходит в результате прямой двойной ионизации молекул NO в основном электронном состоянии. Обсуждена возможность наблюдения спектра диспергированной ФЛ  $A^2\Pi \rightarrow X^2\Sigma^+$   $\text{NO}^{2+}$ . В. М. Ковба

*X. 1989, N 13*

$\text{NO}^{2+}$

Ок 31925

1988

7 Л355. Наблюдение излучения  $\text{NO}^{2+}$  ( $A^2\Pi - X^2\Sigma^+$ ).  
Observation of the  $A^2\Pi - X^2\Sigma^+$  emission in  $\text{NO}^{2+}$  / Bes-  
nard M. J., Hellner L., Dujardin G. // J. Chem. Phys.—  
1988.— 89, № 10, С. 6554—6555.— Англ.

Методом фотонон-фотонных совпадений зарегистриро-  
вано излучение  $\text{NO}^{2+}$  ( $A^2\Pi - X^2\Sigma^+$ ). Показано, что со-  
стояние  $\text{NO}^{2+}$  ( $A^2\Pi$ ) заселяется, главным образом, в  
процессе прямой двойной фотоионизации. Обсуждены  
трудности, регистрации спектра флуоресценции  $\text{NO}^{2+}$   
( $A^2\Pi - X^2\Sigma^+$ ). В. С. Иванов

$(A^2\Pi - X^2\Sigma^+)$

окт. 1989, № 7

NO<sup>+</sup>

1988

Peterson Kirk A.,  
Woods R. Claude.

J. Chem. Phys. 1988, 89, n8,  
u.n. C. 4929-4944.

(cav. AlF; III)

NO<sup>+</sup>      LOM · 32470      1989

Dingle T.W., Muzinaga S.,  
et al.,

(<sup>15</sup>+) J. Comput. Chem. 1989, 10,  
N6, 753-769.

Contraction of the Well-  
Tempered Gaussian Basis

Sets: The First-Row  
Diatomic molecules.

*NO<sup>2+</sup>*

*07.31608*

*1989*

9 J1225. Первое экспериментальное наблюдение колебательно-возбужденного  $\text{NO}^2+(X^2\Sigma^+, A^2\Pi)$ . First experimental observation of vibrationally excited  $\text{NO}^2+(X^2\Sigma^+, A^2\Pi)$  / Hamdan M., Brenton A. G. // Chem. Phys. Lett.— 1989.— 155, № 3.— С. 321—324.— Англ.

Методом трансляционной спектроскопии высокого разрешения с возбуждением при столкновениях с атомами гелия исследованы электронно-колебательные переходы между нижними связанными состояниями  $X^2\Sigma^+$ ,  $A^2\Pi$  и  $B^2\Sigma^+$  молекулярного иона  $\text{NO}^2+$ . Две группы колебательных переходов со средними энергиями 0,22 и 0,17 эВ в трансляционных спектрах идентифицированы как переходы  $X^2\Sigma^+$ ,  $7 \geq v \geq 3 \leftrightarrow v=0$  и  $A^2\Pi$ ,  $6 \geq v \geq 3 \leftrightarrow v=0$ . Полученные значения энергий переходов хорошо согласуются с результатами неэмпирич. расчетов. Обсуждены различия в эффективности заселения колебат. уровней при возбуждении столкновениями с электронами и тяжелыми частицами.

*III. 1.*

Е. П. Смирнов

*9.1989, № 9*

*NO<sup>2+</sup>*

*om 31608*

*1989*

17 Б1147. Первое экспериментальное наблюдение колебательно возбужденных ионов  $\text{NO}^{2+}$  ( $X^2\Sigma^+$ ,  $A^2\Pi$ ). First experimental observation of vibrationally excited  $\text{NO}^{2+}$  ( $X^2\Sigma^+$ ,  $A^2\Pi$ ) / Hamdan M., Brenton A. G. // Chem. Phys. Lett.— 1989.— 155, № 3.— С. 321—324.— Англ.

Исследованы переходы с участием трех наиболее низколежащих связанных электронных состояний  $X^2\Sigma^+$ ,  $A^2\Pi$  и  $B^2\Sigma^+$  иона  $\text{NO}^{2+}$ . Измерены спектры поступат. энергии ионов после их неупругого рассеяния на мишени из атомов Не. Ионы  $\text{NO}^{2+}$  получались при ионизации молекул NO электронным ударом (100 эВ), затем ускорялись до энергии 6 кэВ и далее с помощью двух электростатич. анализаторов энергии определялись энергии ионов после столкновений. При столкновениях возможно протекание след. процессов:  $\text{NO}^{2+}(X^2\Sigma^+) + \text{He} \rightarrow \text{NO}^{2+}(A^2\Pi, B^2\Sigma^+) + \text{He} - \Delta E$ ,  $\text{NO}^{2+}(A^2\Pi, B^2\Sigma^+) + \text{He} \rightarrow \text{NO}^{2+}(X^2\Sigma^+) + \text{He} + \Delta E$ ,  $\text{NO}^{2+}(X, A, B) + \text{He} \rightarrow \text{NO}^{2+}(X, A, B) + \text{He}$  (в последнем случае

*III. 1*

*X. 1989, N 17*

при столкновении меняется лишь колебат. состояние иона). В спектре наблюдались 3 основных пика 1,5; 3,3 и 4,9 эВ, отнесенных к переходам  $A^2\Pi \leftarrow X^2\Sigma^+$ ,  $B^2\Sigma^+ \leftarrow A^2\Pi$  и  $B^2\Sigma^+ \leftarrow X^2\Sigma^+$ . Наблюдались также пики, связанные с переходами  $X^2\Sigma^+(v=7-2 \leftarrow v=0)$ ,  $A^2\Pi(v=3-6 \leftarrow v=0)$ ,  $X^2\Sigma^+(v=3-7 \leftarrow v=0)$ . Средние колебат. интервалы в состояниях  $X^2\Sigma^+$  и  $A^2\Pi$  составляют, соотв., 0,22 и 0,17 эВ, что хорошо согласуется с результатами неэмпирич. расчетов (соотв., 0,242 и 0,159 эВ).

Б. М. Ковба

ЮТ  
СВК  
п.п.

$NO^{d+}$

(Om 31608)

1989

110: 182237c First experimental observation of vibrationally excited oxonitrogen(2- $\Sigma^+$ ) ( $NO^{2+}X^2\Sigma^+$ ,  $A^2\Pi$ ). Hamdan, M.; Brenton, A. G. (Mass Spectrom. Res. Unit, Univ. Coll. Swansea, Swansea, UK SA2 8PP). *Chem. Phys. Lett.* 1989, 155(3), 321-4 (Eng). Transitions among the 3 lowest  $X^2\Sigma^+$ ,  $A^2\Pi$  and  $B^2\Sigma^+$  bound states of  $NO^{2+}$  were investigated by means of high-resoln. (0.08-0.35 eV FWHM) translational energy spectroscopy (TES). As well as electronic transitions between the ground and the two lowest electronic excited states, the spectra clearly show 2 distinct groups of vibrational transitions having av. vibrational spacings of 0.22 and 0.17 eV resp. The two groups of vibrational levels are assigned to transitions involving  $NO^{2+}$  ( $X^2\Sigma^+$ ,  $7 \geq v \geq 3 \leftrightarrow v = 0$ ) and ( $A^2\Pi$ ,  $6 \geq v \geq 3 \leftrightarrow v = 0$ ). The measured vibrational spacings are in accord with the values of 0.159 and 0.242 eV predicted by the latest ab initio calens.

( $X^2\Sigma^+$ ,  $A^2\Pi$ )

C.A.1989, 110, N20

NO<sup>+</sup> (Om. 33198) 1989

Kuo C.-H., Beggs C. F.,  
Kemper P.R., et al.;

Z

Chem. Phys. Lett.,  
1989, 163, N 4/5, 291 -  
296

Experimental



Measurement

of the radiative lifetime  
of NO<sup>+</sup> ( $X^1\Sigma^+$ ,  $J=1, 2$  and 3).

$\text{NO}^+$

(OM-31876)

1989

Marsden C.J., Smith B.J.,

CESR Noem.,  
ab initio  
pacrem

y. Mol. Struct. Theo-  
chem. 1989, 187, 337-  
-357.

NO<sup>-</sup> (OM. 31876) 1989

Marsden C.J., Smith B.J.,

Cd. noem.,  
ab initio  
pacrem

J. Mol. Struct. Theo-  
chem. 1989, 187, 337 -  
- 357.

NO<sup>-</sup>

1989

112: 207104p Vibrational autodetachment of NO-. Tanguay,  
Normand Albert (Brown Univ., Providence, RI USA). 1989. 131 pp.  
(Eng). Avail. Univ. Microfilms Int., Order No. DA9002307. From  
*Diss. Abstr. Int. B* 1990, 50(3), 3498.

C.A.1990, 112, N22

(all-optic)

NO -

1989

Travers M. J., Cowles D. C.  
et al.

Ae,  
M.N.

Chem. Phys. Lett. 1989.

164, N.S. C. 449-455.

( $\text{CeLi}$ .  $\bullet$   $\text{O}_2$ ;  $\frac{1}{2}\bar{1}\bar{1}$ )

$\text{NO}^+$

1989

Wong Ming Wah,  
Nobes Ross H. et al.

pacrem  
ceupyk-  
mysor  
u Do

J. Chem. Phys. 1989.

91 (5), 2971-9.

(Cer.  $\bullet$   $\text{N}_2$ ;  $\text{II}$ )

NO<sup>+</sup>

Om 33555

1990

17 Б1050. Теоретические радиационные времена жизни NO<sup>+</sup>(X<sup>1</sup>Σ<sup>+</sup>). Theoretical radiative lifetimes in NO<sup>+</sup>(X<sup>1</sup>Σ<sup>+</sup>) / Chambaud G., Rosmus P. // Chem. Phys. Lett.— 1990.— 165, № 5.— С. 429—431.— Англ.

В расширенном гауссовом базисе, включающем *f*-ф-ции, многоконфигурац. методом ССП в полном активном пространстве с послед. учетом конфигурац. вз-вия рассчитаны потенциальная кривая и ф-ция dipольного момента основного состояния молекулы NO<sup>+</sup> в области межъядерных расстояний 1,5—2,8 ат. ед., что позволило оценить времена жизни состояний с  $v=1-6$  как 88, 45, 31, 24, 20, 17 мс, соответственно.

В. И. Пупышев

X. 1990, N 17

$\text{NO}^+$

$(X^1\Sigma^+)$   
 $\tilde{\epsilon}$ , raciem

Dm 33555

1990

112: 127925s Theoretical radiative lifetimes in nitrosyl ion ( $\text{NO}^+(\text{X}^1\Sigma^+)$ ). Chambaud, Gilberte; Rosmus, Pavel (LPCR, Univ. Paris-Sud, 91405 Orsay, Fr.). *Chem. Phys. Lett.* 1990, 165(5), 429-31 (Eng). Potential energy and dipole moment function for the electronic ground state of the  $\text{NO}^+$  ion were calcd. from highly correlated CASSCF-CI electronic wave functions. The radiative lifetimes of the vibrational states are compared with 2 different exptl. measurements and previous theor. data. The CASSCF-CI lifetimes are: 88, 45, 31, 24, 20 and 17 (for  $v = 1$  to 6; all values in ms).

C.A. 1990, 112, N14

$\text{NO}^+$  [Om 34716] 1990

Fenistein S., Heninger M.,  
et al.;

Chem. Phys. Lett.

1990, 172, N1, 89-93

Radiative relaxation of  $\text{NO}^+$

(X,  $v=1-4$ )

NO-

[Om. 33760]

1990

Macalogue J., Suzor L,  
Greens et al.,

J. Am. Chem. Soc. 1990, 94,  
N 5, 1759 - 1764.

Chemical Ionization Dis-

charge of N<sub>2</sub>O for Matrix  
Infrared Spectroscopic Study  
of Isolated Anions.

$\text{NO}^-$

[vn. 35981]

1990

Jacob M.E., Thompson W.E.,  
Kondam. J. Chem. Phys. 1990, 93,  
Checkup NH, 7609-7621.

The vibrational spectra of mo-  
lecular ions isolated in solid  
neon.  $\square \text{NO}^+$ ,  $\bullet \text{NO}^-$ ,  $\circ \text{ONNO}^+$ ,

and ONNO.

1440

*NO<sup>+</sup>*  
*35 9871*  
*III*  
*(f3)*  
*X. 1991, N24*

- 24 Б1297. Колебательные спектры молекулярных ионов, изолированных в твердом неоне. IV.  $\text{NO}^+$ ,  $\text{NO}^-$ ,  $\text{ONNO}^+$  и  $\text{ONNO}^-$ . The vibrational spectra of molecular ions isolated in solid neon. IV.  $\text{NO}^+$ ,  $\text{NO}^-$ ,  $\text{ONNO}^+$ , and  $\text{ONNO}^-$  / Jacox Marilyn E., Thompson Warren E. // J. Chem. Phys.— 1990.— 93, № 11.— С. 7609—7621.— Англ.

Изучены ИК-спектры ионов NO и его димера, изолир. в матрицах из Ne при 5 К. Матрицы получали соосаждением смеси Ne : No с пучком атомов неона, возбужденных МВ-разрядом. Фотоионизация и ионизация Пеннинга приводила к стабилизации ионов NO и его димера в матрицах. К  $\text{NO}^+$  отнесена полоса 2345,2  $\text{см}^{-1}$ , к  $\text{NO}^-$  — 1369,9  $\text{см}^{-1}$ . Сильная полоса при 1619,2  $\text{см}^{-1}$  и слабая — при 2095  $\text{см}^{-1}$  отнесены к колебаниям  $v_5$  и  $v_1$  транс- $\text{ONNO}^-$ , полоса 1424,1  $\text{см}^{-1}$  отнесена к цис- $\text{ONNO}^+$ . Также наблюдались полосы транс- и цис- $\text{ONNO}$ . Сравнение газофазных частот цис- $\text{ONNO}$  и  $\text{ONNO}_2$  с соотв-щими матричными частотами, позволило сделать вывод, что матричный сдвиг для ионов димера NO меньше 1%. Гред. сообщение см. // J. Chem. Phys.— 1990.— 93.— С. 7622. Г. В. Чертихин

$\text{NO}^+$

LOM 34834

1990

Kuo Chau-Hong,  
Wyettbach T., et al.,

( $a^3\Sigma^+$ )  
 $\tau$

J. Chem. Phys., 1990,

92, N8,

4849 - 4855

Radiative

• lifetimes

of metastable  $O_2^+(\alpha^4\pi u)$   
and  $NO^+(\alpha^3\Sigma^+)$ .

*NO<sup>+</sup>*

*от 34.8.95*

*1990*

19 Б1029. Радиационные времена жизни состояния  $X^1\Sigma^+$  молекулы  $\text{NO}^+$ . Radiative lifetimes for the  $X^1\Sigma^+$  state of  $\text{NO}^+$  / Partridge Harry, Langhoff Stephen R., Bauschlicher (Jr.) Charles W. // Chem. Phys. Lett.—1990.—170, № 1.—С. 13—16.—Англ.

Получены очень точные значения радиац. времен жизни колебат. уровней с  $v=1—5$  состояния  $X^1\Sigma^+$  молекулы  $\text{NO}^+$  и изучена их чувствительность к выбору базисов как в одно-, так и в многочастичном пространствах. Одночастичные базисы строились в формализме атомных натуральных орбиталей на основе наборов сгруппир. гауссовых орбиталей, наиболее точным из к-рых был  $[13s8p6d4f2g/5s4p3d2f1g]$ . МО находились методом ССП в полном активном пространстве. Корреляция электронов учтена методами конфигурац. вз-вия с несколькими исходными конфигурациями и усредненного функционала связанных пар. Ошибка в рассчитанных значениях времен жизни не превышает 5%, что позволило авторам сделать вывод о неправильном эксперим. определении этих величин для уровней с  $v=2$  и 3.

В. Б. Павлов-Веревкин

*III. 11.*  
*Х. 1991, № 19*

NO<sup>+</sup>

10m 36 000 1990

† 10 Д113. Теоретическое изучение спектроскопии NO<sup>+</sup>. Theoretical study of the spectroscopy of NO<sup>+</sup> / Partridge Harry, Langhoff Stephen R., Bauschlicher Charles W., Jr. // J. Chem. Phys.— 1990.— 93, № 10.— С. 7179—7186.— Англ.

Спектроскопия молекулы NO<sup>+</sup> изучена с помощью метода конфигурац. взаимодействия с набором исходных конфигураций. В фотоэлектронном спектре пик при 21,7 эВ связан с (2) <sup>3</sup>П состоянием (*c*<sup>3</sup>П) и колебат. прогрессия с центром при 23,4 эВ связана с диабатич. состоянием (3) <sup>1</sup>П (*B*<sup>1</sup>П). Даны характеристика нескольким дополнительным связанным состояниям с энергиями связи большими 1 эВ. Для многих состояний приведены радиационные времена жизни. Проводится сравнение с имеющимися эксперим. данными. Работа представляет интерес в связи с широкой распространенностью этого иона в системах, содержащих N и O в процессах химии высоких энергий. Г. К.

cf. 1991, № 10

$\text{NO}^+$

(OM. 36 000)

1990

MERAPORT  
CO CMO dH.  
pacem

114: 52330z Theoretical study of the spectroscopy of the nitrosyl ion ( $\text{NO}^+$ ). Partridge, Harry; Langhoff, Stephen R.; Bauschlicher, Charles W., Jr. (Ames Res. Cent., NASA, Moffett Field, CA 94035 USA). *J. Chem. Phys.* 1990, 93(10), 7179-86 (Eng). The spectroscopy of the  $\text{NO}^+$  mol. was studied using multireference configuration-interaction calcns. The peak at 21.7 eV in the photoelectron spectrum of NO is assigned to the (2)<sup>3</sup>II state (c<sup>3</sup>II) and the vibrational progression centered at 23.1 eV is assigned to the dialatic (3)<sup>1</sup>III state (B<sup>1</sup>III). Several addnl. bound states with binding energies in excess of 1 eV are characterized in the present work. Radiative lifetimes are presented for many of the states.

C.A. 1991, 114, N6

*NO<sup>+</sup>*

от 36 000 1990.

22 Б1031. Теоретическое изучение спектроскопии NO<sup>+</sup>. Theoretical study of the spectroscopy of NO<sup>+</sup> / Partridge Harry, Langhoff Stephen R., Bauschlicher Charles W. // J. Chem. Phys.— 1990.— 93, № 10.— С. 7179—7186.— Англ.

Методом конфигурац. вз-вия с несколькими исходными конфигурациями рассчитаны адиабатич. потенциальные кривые, спектроскопич. постоянные  $r_e$ ,  $\omega_e$ ,  $T_e(\text{NO}^+)$ ,  $T_e(\text{NO})$  и моменты перехода для большого числа электронных состояний молекулы NO<sup>+</sup>. При расчете использован базис  $(13s8p6d4f)/[4s3p2d1f]$  натуральных АО. Оценены времена жизни 5 нижних колебат. уровней электронных состояний  $A^1\Pi$ ,  $2^1\Sigma^+$ ,  $2^1\Pi$ ,  $b^3\Pi$ ,  $w^3\Delta$ ,  $bc^3\Delta$ ,  $bc^3\Sigma^-$ ,  $2^3\Delta$  и  $^5\Pi$ . Результаты использованы для отнесения линий в фотоэлектронном спектре NO. Так, пик при 21,7 эВ отнесен к состоянию  $2^3\Pi$ , а колебат. прогрессия с центром при 23,1 эВ — к диабатич. состоянию  $3^1\Pi$ . Предсказано существование нескольких новых связанных электронных состояний с энергией связи больше 1 эВ. В. Б. Павлов-Веревкин

*дд.п.*

*18(4) NO*

*X.1991, N 22*

NOT (OM 35041) 1990

Scuseria G.E., Hamilton  
T.P., et al.,  
KBrux.  
pacrem J. Chem. Phys., 1990, 92,  
N1, 568-573.

An assessment for the full  
coupled cluster method in-

cluding all single, double,  
and triple excitations: The  
diatomic molecules LiH,  
 $\text{Li}_2$ , BH, LiF,  $\text{C}_2$ , BeO,  $\text{CN}^+$ ,  
 $\text{BF}$ ,  $\text{NO}^+$ , and  $\text{F}_2$ .

$\text{NO}^-$

Boehm R.C., Lohs Lawrence,<sup>1991</sup>

J. Comput. Chem. 1991,

12, N<sup>o</sup>, C. 119 - 125

(cell.



$\text{NO}_3^+$ ; II)

$\text{NO}^+$

Boehm R.C., Lohr Lawrence L.,  
1991

J. Comput. Chem. 1991,  
M.N. 12, N1, C. 119 - 125

(all.  $\text{NO}_3^+$ ,  III)

$^{15}\text{NO}^{\text{2+}}$

1991

115: 37758x Optical spectrum of the nitrogen-15 monoxide dication. Cossart, D.; Cossart-Magos, C. (Inst. Phys. Chim. Mol., Univ. Paris-Sud, 91405 Orsay, Fr.). *J. Mol. Spectrosc.* 1991, 147(2), 471-7 (Eng). A new emission band at 2653 Å has been recorded using a special low pressure, hot cathode, magnetically confined elec. discharge through  $^{15}\text{NO}$  vapor as a source. Assuming that this band belongs to the  $\text{B}^2\Sigma^+-\text{X}^2\Sigma^+(0,0)$  transition of the  $^{15}\text{NO}^{2+}$  ion, the mol. consts. deduced from the anal. agree well with those calcd. from isotopic relations applied to the corresponding values obtained for the natural species previously published.

$\text{B}^2\Sigma^+-\text{X}^2\Sigma^+$   
(0-0)

M/N

C.A. 1991, 115, N 4

$\text{NO}^+$

1991

115: 145345u Diode laser spectroscopy of the vibrational fundamental of nitrosyl ion( $1^+$ ). Ho, W. C.; Ozier, I.; Cramb, D. T.; Gerry, M. C. L. (Dep. Phys., Univ. British Columbia, Vancouver, BC Can. V6T 1Z1). *J. Mol. Spectrosc.* 1991, 149(2), 559-61 (Eng). Several vibrational transitions were measured for  $\text{NO}^+$  in a discharge using a diode laser spectrometer. The wavenumbers and mol. consts. are reported.

Konstan -  
Cramb,  
M.A.

c.A.1991, 115, n14

$\text{NO}^+$

On 35520

1991

114: 132093q The  $b^3\Pi_g \rightarrow a^3\Sigma^+$  transition of nitrosyl ion(1+) near 6000  $\text{cm}^{-1}$ . Huber, K. P.; Vervloet, M. (Herzberg Inst. Astrophys., Natl. Res. Coun. Canada, Ottawa, ON Can. K1A 0R6). *J. Mol. Spectrosc.* 1991, 146(1), 188-99 (Eng). Emission arising

from the  $b^3\Pi \rightarrow a^3\Sigma^+$  transition of  $\text{NO}^+$  was excited in collisions of NO mols. with helium metastable species. The 0-1 band near 6000  $\text{cm}^{-1}$  was recorded by Fourier transform spectrometry at an apodized resoln. of 0.05  $\text{cm}^{-1}$ . The rotational anal. reveals a perturbation of  $b^3\Pi$  ( $v = 0$ ) by  $a^3\Sigma^+$  ( $v = 6$ ) consistent with the near-coincidence of the corresponding peaks in the photoelectron spectrum. The strength of the interaction is in satisfactory agreement with a similar perturbation of  $A^1\Pi$  ( $v = 0$ ) by  $b^3\Sigma^-$  ( $v = 5$ ).

$b^3\Pi_g - a^3\Sigma^+$

M.N.

c.A.1991, 114, N14

*NO<sup>+</sup>*

*022. 35520*

*1991*

16 Б1249. Переход  $b^3\Pi_r \rightarrow a^3\Sigma^+$  NO<sup>+</sup>. вблизи 6000 см<sup>-1</sup>. The  $b^3\Pi_r \rightarrow a^3\Sigma^+$  transition of NO<sup>+</sup> near 6000 cm<sup>-1</sup> / Huber K. P., Vervloet M. // J. Mol. Spectrosc.— 1991.— 146, № 1.— С. 188—199.— Англ.

*M.N.*

В диапазоне 5650—6700 см<sup>-1</sup> измерена (фурье-спектрометр, разрешение 0,05 см<sup>-1</sup>) вращат. структура полосы 0—1 перехода  $b^3\Pi_r \rightarrow a^3\Sigma^+$  в спектре испускания иона NO<sup>+</sup>. Спектр возбуждался при столкновениях молекул NO в виде эффузионного пучка с метастабильными атомами гелия получающимися при прохождении свободной струи через коронарный разряд постоянного тока. Анализ спектра осложнялся необходимостью учитывать многочисленные возмущения вызванные вз-вием верхнего состояния  $b^3\Pi$  ( $v=0$ ) с близколежащим состоянием  $a^3\Sigma^+$  ( $v=6$ ). Значения рассчитанных молекулярных постоянных  $^{14}\text{N}^{16}\text{O}^+$  (в см<sup>-1</sup>): состояние  $a^3\Sigma^+$  ( $v=1$ ) —  $T=x$ ,  $B=1,326843$ ,  $D=6,073 \cdot 10^{-6}$ ,  $\lambda=-1,89037$ ,  $\lambda_D=8,7 \cdot 10^{-6}$ ,  $\gamma=-4,498 \cdot 10^{-3}$ ; состояние

*X. 1991, N/6*

$a^3\Sigma^+$  ( $v=6$ ) —  $T=x+5858,3$ ,  $B=1,2359$ ,  $\lambda=-1,9$ ; со-  
стояние  $b^3\Pi_r$ , ( $v=0$ ) —  $T=x+5967,3417$ ,  $A=69,6989$ ,  
 $A_D=-2,011 \cdot 10^{-4}$ ,  $B=1,640989$ ,  $D=6,050 \cdot 10^{-6}$ ,  $\lambda=$   
 $=-0,0889$ ,  $o+p+q=1,6492$ ,  $p+2q=6,96 \cdot 10^{-3}$ ,  $q=$   
 $=1,176 \cdot 10^{-4}$ . Параметры матричных элементов  $\langle b^3\Pi,$   
 $v=0 | H_{\text{возм}} | a^3\Sigma^+, v=6 \rangle$  описывающие вз-вие отдель-  
ных компонент указанных триплетов равны (в  $\text{см}^{-1}$ )  
2,688 (α) и 0,0335 (β). B. M. Kovba

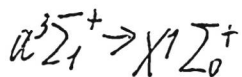


$\text{NO}^+$

1991

З Б1012. Теоретическое изучение запрещенного по спину дипольного излучательного перехода  $a^3\Sigma_1^+ \rightarrow X^1\Sigma_0^+ \text{NO}^+$ . A theoretical treatment of the  $a^3\Sigma_1^+ \rightarrow X^1\Sigma_0^+$  spin-forbidden dipole-allowed radiative transition in  $\text{NO}^+$  /Manaa M. Riad, Yarkony David R. //J. Chem. Phys.—1991.—95, № 9.—С. 6562—6566.—Англ.

Проведены неэмпирич. исследований радиац. х-к запрещенного по спину дипольного перехода  $a^3\Sigma_1^+ \rightarrow X^1\Sigma_0^+$  иона  $\text{NO}^+$ . Захват заселенности спин-орбитальными состояниями симметрии  ${}^1\pi_1$  и  ${}^3\pi_0$  учитывался в первом порядке теории возмущений, а вз-вие  $a^3\Sigma_1^+$  с близким состоянием  $A^1\pi_1$  — с помощью квазивырожденной теории возмущений. Волновые ф-ции электронных состояний рассчитаны в базисах  $(8s5p2d)$  и  $(9s6p3d)$  методом конфигурац. вз-вия на МО усредненного по состояниям многоконфигурац. метода ССП. Спин-орбитальное вз-ве описывалось



Х. 1993, № 3

точным микроскопич. гамильтонианом Брейта — Паули.  
Размерность пространства конфигураций превышала миллион. Получены спектроскопич. постоянные и дипольные моменты переходов для состояний  $A^1\Sigma^+$ ,  $a^3\Sigma^+$ ,  $b^3\pi$  и  $A^1\pi$ . Радиац. времена жизни низших колебат. уровней состояния  $a^3\Sigma_1^+$  имеют порядок 0,5 с, что согласуется с эксперим. оценкой. Модель, учитывающая влияние только одного состояния  $A^1\pi_1$ , дает качественно правильные результаты.

А. А. Бучаченко

*NO<sup>+</sup>*

*1991*

8 Д87. Теоретическое рассмотрение спин-запрещенного дипольно-разрешенного перехода  $a^3\Sigma_1^+ \rightarrow X^1\Sigma_0^+$  в  $\text{NO}^+$ . A theoretical treatment of the  $a^3\Sigma_1^+ \rightarrow X^1\Sigma_0^+$  spin-forbidden dipole-allowed radiative transition in  $\text{NO}^+$  / Mana M. R., Yarkony D. R. // J. Chem. Phys.— 1991.— 95, № 9.— С. 6562—6566.— Англ.

*ll. N.*

Неэмпирическим методом рассчитаны радиационные времена жизни для спин-запрещенного дипольно-разрешенного перехода  $a^3\Sigma_1^+ \rightarrow X^1\Sigma_0^+$  в  $\text{NO}^+$ . Этот переход оказывается возможным в результате возмущений, индуцированных спин-орбитальным взаимодействием, которое рассматривалось в приближении Брейта — Паули. Для переходов  $(a^3\Sigma^+, v) \rightarrow X^1\Sigma^+$  получены значения времен жизни: 455, 467, 478, 488 и 495 мс для  $v=0, 1, 2, 3, 4$  соответственно. Эти результаты согласуются с эксперим. значением  $\tau=530(+300, -100)$  мс.



*оп. 1992, № 8*

NO<sup>+</sup> [Om. 35498] 1991

Takahashi M., Ozeki H,  
Sawas. Kimura K.,

Chem. Phys. Lett. 1991,  
181, N2-3, 255-258.

A new 'high' - resolution

threshold photoelectron  
analyzer: observation of  
rotational structure of  
 $NO^+$  cation.

NOT

(Dn. 35347)

1991

$(X^1\Sigma^+)$  Wyttenbach T., Beggs C.F.,  
et al.,

Chem. Phys. Lett.,  
1991, 177, N3, 239-246.

$\text{NO}^+$

1991

115: 142801d Potential functions of excited states for nitrosyl ion ( $\text{NO}^+$ ). Xu, Zongrong; Rian, Zhiyue (Huaxi Med. Univ., Chengdu, Peop. Rep. China 610041). *Wuli Huaxue Xuebao* 1991, 7(3), 342-4 (Ch). A potential energy function has been derived for 10 excited states of  $\text{NO}^+$ , which can be represented as  $V(r) = -D_e(1 - (1 + \alpha(r)) \exp(\gamma(r)W(r)) + D_e + \Delta T_e)$ . The cubic force consts. evaluated from this function, are in agreement with the spectroscopic data. Therefore, this simple function can be successfully used for most of the excited states for  $\text{NO}^+$ .

no references.  
Krebsbach,  
pacem

C.A. 1991, 115, n14

$\text{NO}^+$

1992

117: 220420m Investigation of nitrogen oxide ion ( $\text{NO}^+$ ) ...  
siver fluoride ions ( $\text{SF}^+$  and  $\text{SF}^{2+}$ ) by means of translational  
energy spectroscopy. Hamdan, M. (Glaxo Res. Lab.,  
Verona, Italy). Collision Processes Ion, Positron, Electron &  
Beams Matter, Proc. Lat. Am. Sch. Phys. 1991 (Pub. 1992),  
(Eng). Edited by De Azevedo e Souza; Ana Cecilia. World  
Singapore, Singapore. The electronic states of  $\text{NO}^+$ ,  $\text{SF}^+$  and  
ions were investigated by relatively high resoln. (0.1 eV FWHM)  
translational energy spectroscopy (TES). The spectra pertaining  
to the two singly charged ions display a no. of excitation  
and de-excitation features which can be attributed to transitions between  
the ground and a no. of low lying excited electronic states. The case  
of  $\text{SF}^{2+}$  scattered by H shows no such features, however the case of  
induced dissociation of the same ion clearly indicates that such a case  
involves more than one dissociative electronic state.

(#1)

$\text{SF}^+, \text{SF}^{2+}$



C.A. 1992, 117, N22

*NO<sup>2+</sup>*

*1992*

116: 262857u Theoretical potential curves for the A<sup>2</sup>II and X<sup>2</sup>+} states of oxonitrogen(2+) (NO<sup>2+</sup>) and an experimental search for the A-X transition. Pettersson, L. G. M.; Siegbahn, P. E. M.; Brostroem, L.; Mannervik, S.; Larsson, Mats (Inst. Theor. Phys., Univ. Stockholm, S-113 46 Stockholm, Swed.). *Chem. Phys. Lett.* 1992, 191(3-4), 279-86 (Eng). Potential curves for the X<sup>2</sup>+} and A<sup>2</sup>II states of NO<sup>2+</sup> were calcd. using large ANO basis sets including g functions and CASSCF/second-order ACDF methods. On the basis of these calcns. resonant photodissocn. of NO<sup>2+</sup> via the A<sup>2</sup>II-X<sup>2</sup>+} transition is searched for by means of a collinear fast ion beam laser app. The failure to observe the A-X transition is discussed.

*X<sup>2</sup>\Sigma<sup>+</sup>, A<sup>2</sup>\Pi,  
resonans. sp-III,  
medf. patrem*

C.A. 1992, 116, N26

$\text{NO}^{2+}$

1994

Dawber G., McConkey  
A.G. et al.

crekmpo-  
ckonec J. Phys. B. 1994. 27,  
N II. C. 2191-2209.

(see  $\bullet \text{N}_2^+$ , III)

*NO<sup>+</sup>*

*1994*

120: 280794h A theoretical description of the  $b^3\Pi \rightarrow a^3\Sigma^+$  transition of NO<sup>+</sup>, Hutter, Stephan J.; Hess, Bernd A.; Marian, Christel M.; Samzow, Reinhard (Inst. Phys. Theor. Chem., Univ. Bonn, D 53115 Bonn, Germany). *J. Chem. Phys.* 1994, 100(5) 5617-25 (Eng). MR-CI methods were used to calc. the potential-energy curves for the ground state and several low-lying excited electronic states of the NO<sup>+</sup> ion. Spectroscopic parameters were obtained in good agreement with existing exptl. data. To establish a one-to-one correspondence between the exptl. known term energies of the recently detected  $b^3\Pi \rightarrow a^3\Sigma^+$  transition (K. H. Huber and M. Vervloet, 1991) and ab-initio data, it was necessary to include explicitly spin-orbit and rotational coupling. Spin-orbit matrix elements were evaluated by using the microscopic Breit-Pauli Hamiltonian. The off-diagonal coupling matrix elements,  $\langle b^3\Pi | H_{SO} | a^3\Sigma^+ \rangle$  and  $\langle b^3\Pi | L | a^3\Sigma^+ \rangle$ , were found to depend strongly on the internuclear sepn. The calcd. vibrationally averaged fine-structure parameter of the  $b^3\Pi$  state for  $v = 0$  ( $67.21\text{ cm}^{-1}$ ) was found to be in very good agreement with the value detd. exptl. ( $69.699\text{ cm}^{-1}$ ).

$b^3\Pi \rightarrow a^3\Sigma^+$   
(meop. paue)

C.A. 1994, 120, N 22

NO<sup>2t</sup>

1994

Mercouris Th., Petsalakis J.<sup>R</sup>,  
et al.,

M.N. J. Phys. B - 1994, 27, N<sup>16</sup>,  
C. 579-524.

P.A.V. N17, 1995, 1751235

*No 17*

*1995*

8 Б139. Точные неэмпирические функции потенциальной энергии для двухзарядных двухатомных молекул.  
Accurate ab initio potential energy functions for doubly charged diatomics / Bennett F. R. // J. Chem. Phys. — 1995. — 103, № 9. — С. 3613—3620. — Англ.

Неэмпирическим методом ССП МО ЛКАО в полном активном пространстве с учетом КВ по отношению к нескольким исходным конфигурациям в корреляционно-согласованных поляризованных базисах от двух- до пятиэкспонентного для валентной оболочки рассчитаны потенциальные кривые для ряда экспериментально исследованных состояний  $\text{NO}^{2+}$  и  $\text{N}_2^{2+}$ . Оценены предельные значения, отвечающие полным базисам, и получены очень точные величины спектроскопич. постоянных. Библ. Н. Л.

42.

(7)

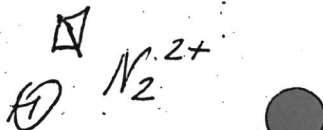
X. 1996, N 8

*NO<sup>2+</sup>*

*1995*

123: 179832f Accurate ab initio potential energy functions for doubly charged diatomics. Bennett, Frederick R. (Inst. Physikalische Chemie, Univ. Basel, CH-4056 Basel, Switz.). *J. Chem. Phys.* 1995, 103(9), 3613-20 (Eng). Potential energy functions for a set of exptl. characterized electronic states of NO<sup>2+</sup> and N<sub>2</sub><sup>2+</sup> have been calcd. using a series of correlation consistent basis sets ranging from cc-pVDZ through to cc-pV5Z. By exploiting the convergent properties of the correlation consistent basis sets, complete basis set limit approxns. of each calcd. point on the potential energy surfaces can be extrapolated in a simple fitting procedure. The resultant complete basis set approximated potential energy functions are able to yield very accurate spectroscopic consts. outperforming the pure ab initio potentials in reproducing exptl. detd. data.

*ab initio  
pacen*



C.A. 1995, 123, N14

1995

F: NO+2

P: 3

8Б139. Точные неэмпирические функции потенциальной энергии для двухзарядных двухатомных молекул. Accurate ab initio potential energy functions for doubly charged diatomics / Bennett F. R. // J. Chem. Phys. - 1995. - 103, N 9. - С. 3613-3620. - Англ.

эмпирическим методом ССП МО ЛКАО в полном активном пространстве с учетом КВ по отношению к нескольким исходным конфигурациям в корреляционно-согласованных поляризованных базисах от двух- до пятиэкспонентного для валентной оболочки рассчитаны потенциальные кривые для ряда экспериментально исследованных состояний  $\text{NO}^{2+}$  и  $\text{N}_2^{2+}$ . Оценены предельные значения, отвечающие полным базисам, и получены очень точные величины спектроскопич. постоянных. Библ. 42.

РЖХ. N 8, 1996.

*NO<sub>2</sub>*

1996

11Б132. Точное неэмпирическое исследование спектроскопических характеристик и динамики  $A^2\Pi - X^2\Sigma^+$ -системы  $NO^{2+}$ . A large-scale ab initio study on the spectroscopy and dynamics of the  $A^2\Pi - X^2\Sigma^+$  system of  $NO^{2+}$  / Bennett Frederick R. // Chem. Phys. Lett.—1996.—250, № 1.—C. 40—46.—Англ.

Неэмпирическим методом ССП в расширенных базисах и с учетом электронной корреляции в рамках различных вариантов изучены спектроскопич. характеристики и динамика  $A^2\Pi - X^2\Sigma^+$ -системы  $NO^{2+}$ . Объяснены причины неудовлетворительных результатов эксперим. спектроскопич. исследования системы и предложена схема необходимых экспериментов.

В. Л.

*X. 1997, № 1*

$\text{NO}^{2+}$

1.9.96

124: 214661u A large-scale ab initio study on the spectroscopy and dynamics of the A  $^2\Pi$ -X  $^2\Sigma^+$  system of  $\text{NO}^{2+}$ . Bennett, Frederick R. (Institut fuer Physikalische Chemie der Universitaet Basel, Klingenbergrasse 80, CH-4056 Basel, Switz.). *Chem. Phys. Lett.* 1996, 250(1), 40-6 (Eng). The results of a large scale ab initio study on the spectroscopy and dynamics of the A  $^2\Pi$ -X  $^2\Sigma^+$  system of  $\text{NO}^{2+}$  are presented. The 2-fold objectives are to provide an explanation as to why previous high-resoln. spectroscopic studies on this system have failed, and to serve as a guide for future exptl. studies of this system.

A27-X25+

C.A.1996, 124, N16

NOT

LOM · 38532

1996

Wulfov A. L.

KOREAN.  
JOURNAL,  
KOREA.

Chem . Phys . Lett .  
1996, 263, 79-83

NO -

1996

Li, Liangzhi,  
Paldus, Josef

non-  
vacuum  
mechanical  
model

J. Chem. Phys., 1996;  
104 (23), 9555-62.

F: NO+

P: 3

(of. 39787)

1999

131:176722      Rotational-resolved pulsed field ionization photoelectron stud NO+(a 3.SIGMA.+ ,v+=0-16) in the energy range of 15.6-18.2 eV.

Jarvis, G. Song, Y.; Ng, C. Y. (Chemical Science Division, Lawrence Berkeley Nationa Laboratory, Berkeley, CA 4720, USA). J. Chem. Phys., 111(5), 1937-1946 (English) 1999 The authors have obtained rotationally resolved pulsed field ionization photoelectron (PFI-PE) spectra of NO in the energy range of 15.6-18.2 eV, covering ionization transitions of NO+(a 3.SIGMA.+ ,v+=0-16,J+) .ltwarw. N 2.PI.3/2,1/2,v''=0,J''). The PFI-PE bands for NO+(a 3.SIGMA.+ ,v+=1-5,7-1 14,16) obtained in this expt. represent the 1st rotationally resolved spectroscopic

data for these states. The simulation of these PFI-PE band provides accurate mol. consts. for NO+(a 3.SIGMA.+), v+=0-5,7-10,12-14,16), including ionization energies, vibrational consts. ( $\omega_e = 1295.2 \pm 1 \text{ cm}^{-1}$ ,  $\omega_e \cdot \chi_e = 15.198 \pm 0.002 \text{ cm}^{-1}$ ), and rotational consts. ( $B_e = 1.3501 \pm 0.0070 \text{ cm}^{-1}$ ,  $\alpha_e = 0.0206 \pm 0.0001 \text{ cm}^{-1}$ ). As obs the PFI-PE study of NO+(X 1.SIGMA.+), this expt. reveals a generally incr trend for the max.  $\Delta J$  value and intensities of higher .

$\text{NO}^+$

1999

Masaru Tsuji . . .

"The Influence of Vibration Excitation of  $\text{NO}^+$   
 $(X' \Sigma: v'')$  on the Formation of  $\text{NO}^*$  by the  
 $\text{NO}^+ + \text{C}_6\text{F}_6^-$  Neutralization Reaction at  
 Thermal Energy" Bull. Chem. Soc. Jpn 72,  
 227-233 1999

Изучение  $\Delta H^\circ$  пика, оценка 4)  $\text{EA C}_6\text{F}_6$   
 $(0.52 \text{ eV})$ , колеб. расп.  $\text{NO}$  (A:  $v' = 0-2$ )  
 $\text{NO}$  (C:  $v' = 0$ )  
 $\text{NO}$  (D:  $v' = 0, 1$ )  
 к величине конц. констант  $\text{NO}$  и  $\text{NO}^+$   
 Наищет:  
 $\text{NO}^+ (X: v'' = 0) + \text{C}_6\text{F}_6^- \rightarrow \text{NO} (\text{A}: v' = 0-2) + \text{C}_6\text{F}_6$   
 $+ (2.68 - 3.26) \text{ eV}$

F: NO+

P: 3

1999

131:108516 Radiative lifetime measurement of the a 3.SIGMA.+ metastable state of NO+ using a new type of electrostatic ion trap. Wester, R.; Bhushan, K. G.; Altstein, N.; Zajfman, D.; Heber, O.; Rappaport, M. L. (Department of Particle Physics, Weizmann Institute of Science, Rehovot 76100, Israel). J. Chem. Phys., 110(24), 11830-11834 (English) 1999 A new type of ion trap is used to measure the radiative lifetime of the NO+(a 3.SIGMA.+) metastable state. The ion trap is designed to store ion beams with an energy of a few keV and is well suited for the study of metastable states. The measured value for the radiative lifetime is  $\tau = 760 \pm 30$  ms, in good agreement with the last exptl. values of Calama and Yoshino [J. Chem. Phys. 101, 9480(1994)], and with the theor. value o Kuo et al. [J. Chem. Phys. 92, 4849(1990)].

C.A. 1999, 131

$\text{NO}^+$

2001

On 4/1/26

135: 310273s Rotational-resolved pulsed field ionization-photoelectron study of  $\text{NO}^+$  ( $A'^1\Sigma^-$ ,  $v^+ = 0-17$ ) in the energy range of 17.70–20.10 eV. Song, Y.; Ng, C. Y.; Jarvis, G. K.; Dressler, R. A. (U.S. Department of Energy and Department of Chemistry, Ames Laboratory, Iowa State University, Ames, IA 50011 USA). *J. Chem. Phys.* 2001, 115(5), 2101–2108 (Eng), American Institute of Physics. Partially rotationally resolved pulsed field ionization-photoelectron (PFI-PE) spectra were obtained of NO in the energy range of 17.70–20.10 eV, covering ionization transitions of  $\text{NO}^+$  ( $A'^1\Sigma^-$ ,  $v^+ = 0-17$ ,  $J^+$ )  $\rightarrow \text{NO}$  ( $X^2\Pi_{3/2, 1/2}$ ,  $v'' = 0$ ,  $J''$ ). The PFI-PE bands for  $\text{NO}^+$  ( $A'^1\Sigma^-$ ,  $v^+ = 0-17$ ) obtained here represent the 1st spectroscopic data that allow the direct detn. of rotational consts. for these states. As in previous studies, the PFI-PE bands are simulated using the Buckingham-Orr-Sichel model as an empirical scheme to derive reliable spectroscopic consts. The simulation, together with comparison with previous He I photoelectron

CH2ClNO A' 15-  
W<sub>c</sub>, W<sub>d</sub> 49%

C-A. 2001, 135, N21

data, also provided information on intensity enhancements of PFI-PE bands. Accurate spectroscopic consts. for  $\text{NO}^+$  ( $A'^1\Sigma^-$ ,  $v^+ = 0-17$ ) obtained in the present study include ionization energies, vibrational consts. ( $\omega_e = 1272.03 \pm 1.45 \text{ cm}^{-1}$ ,  $\omega_e\chi_e = 11.924 \pm 0.188 \text{ cm}^{-1}$ , and  $\omega_e y_e = -0.059 \pm 0.007 \text{ cm}^{-1}$ ), and rotational consts. [ $B_e = 1.3562 \pm 0.0024 \text{ cm}^{-1}$ ,  $a_e = 0.01780 \pm 0.00061 \text{ cm}^{-1}$ , and  $\gamma_e = -(1.574 \pm 0.328) \times 10^{-4} \text{ cm}^{-1}$ ]. The simulation indicates that continuum photoelectron states can be formed with orbital angular momenta  $l \leq 5$ , which corresponds to the max. total angular momentum transfer of  $|\Delta J| = 13/2$ . Since the dominant rotational branches obsd. are  $\Delta J = \pm 1/2, \pm 3/2, \pm 5/2, \pm 7/2$ , and  $+9/2$ , continuum photoelectron states are predominantly produced in  $l = 0-3$  in the threshold photoionization of  $\text{NO}$  ( $X^2\Pi_{3/2,1/2}$ ) to form  $\text{NO}^+$  ( $A'^1\Sigma^-, v^+ = 0-17$ ).